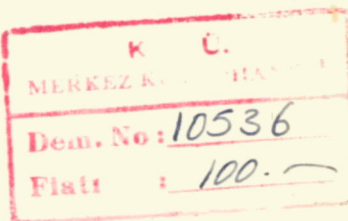


KARADENİZ ÜNİVERSİTESİ  
FEN BİLİMLERİ ENSTİTÜSÜ



JEOFİZİK MÜHENDİSLİĞİ ANABİLİM DALI  
JEOFİZİK MÜHENDİSLİĞİ YÜKSEK LİSANS PROGRAMI

TEZ NUMARASI

Genel :  
Anabilim Dalı : Jeofizik Mühendisliği  
Program : Yüksek Lisans Tezi

# GÖLLER BÖLGESİİNİN DEPREMSELLİĞİ

AHMET YILMAZTÜRK

Yönetici: Doç. Dr. Ozer KENAR

TRABZON  
Ocak 1986

## İÇİNDEKİLER

	<u>Sayfa</u>
ÖZET . . . . .	i
TEŞEKKÜR . . . . .	ii
1. GİRİŞ . . . . .	1
1.1. Depremsellik Çalışmalarının Önemi . . . . .	1
1.2. Çalışmanın Amacı ve Kapsamı . . . . .	3
2. GÖLLER BÖLGESİNİN JEOTEKTONİĞİ . . . . .	5
2.1. Bölgenin Jeolojisi . . . . .	5
2.2. Magmatizma ve Volkanizma . . . . .	8
2.3. Bölgenin Tektoniği . . . . .	9
2.4. Faylar . . . . .	
3. DEPREMSELLİK . . . . .	16
3.1. Depremsellik Kavramı . . . . .	16
3.2. Güneybatı Anadolunun Depremselliği . . . . .	18
3.3. Bölgedeki Tarihsel Depremler . . . . .	26
3.3.1. Burdur Depremleri . . . . .	29
3.3.4. Depremlerde Magnitüd-Frekans İlişkisi . . . . .	33
4. DEPREM OLUŞUM MODELLERİ . . . . .	42
4.1. Giriş . . . . .	42
4.2. Poisson Modeli . . . . .	42
4.3. Sismik Risk . . . . .	46
4.3.1. Gumbel Extrem Değerler Metodu . . . . .	51
4.3.2. Extrem Değerler Yönteminin Bölgeye Uygulanışı .	53
4.3.3. Zemin İvmesi . . . . .	61
4.3.4. Kaynak Türleri ve Aşılma Olasılığı Kavramı . .	65
4.3.4.1. Nokta Kaynak . . . . .	65
4.3.4.2. Çizgi Kaynak . . . . .	68
4.3.4.3. Alan Kaynak . . . . .	70
4.3.5. Isparta-Burdur Bölgesinin Risk Analizi . . . . .	73

	<u>Sayfa</u>
5. BÖLGENİN LEVHA TEKTONİĞİ AÇISINDAN İNCELENMESİ .	77
5.1. Tektonik Evrim . . . . .	77
5.2. Derinlik Kesitleri . . . . .	81
6. SONUÇLAR . . . . .	96
EK: ÇALIŞMADA KULLANILAN DEPREM PARAMETRELERİ . .	98
DEĞİNİLEN KAYNAKLAR . . . . .	109

## ÖZET

Bu çalışmada Isparta ve Burdur'un yer aldığı Göl - ler Bölgesi'nin ( $28^{\circ}$ E -  $32^{\circ}$ E,  $36^{\circ}$ N -  $39^{\circ}$ N) depremselliği ve sismotektoniği incelenmiştir. Çalışmanın yürütülmesinde kullanılan tarihsel ve günümüz aletsel verileri NOAA dep - rem veri kütüklerinden sağlanmıştır.

Depremselliğin bir ölçüyü olarak düşünülen episantr dağılım haritası hazırlanarak bölgenin tektoniği ile deprem dağılımlarının ilişkisi incelenmiştir. İncelenen zaman per - yodu içerisinde magnitüdü  $M \geq 4.0$  olan depremlerden bölge için frekans - magnitüd ilişkisi;

$$\log N = 6.31 - 0.85M$$

olarak bulunmuştur.

Daha sonra deprem oluşumlarının zaman dağılımları incelenmiş ve bunların Poisson modeliyle uygunluk içinde ol - duğu görülmüştür. Bu esastan hareketle bölgenin sismik riski saptanmaya çalışılmış ve bunun için yıllık ortalama değer - ler, üç değerler ve azalım ilişkilerinden yararlanılmıştır. Sismik risk analizine giren ( $M \geq 5.0$ ) veriler için;

$$\log N = 6.72 - 0.86M$$

ilişkisi bulunmuştur. Risk hesaplamalarında herbir magnitüd değeri için geri dönüş peryodları ve değişik ekonomik ömür - ler için % risk değerleri saptanmıştır. Kaynak türleri dik - kate alınarak Ege ve Kıbrıs sismik yay kuşaklarının kesişti - ği bölgede yer alan Isparta ve Burdur yöresi için ivme düzeyi aşılma olasılıkları saptanmıştır.

Son olarak, bölgenin sismotektonik durumu incele - nerek levha tektoniği ile ilişkisi açıklanmaya çalışılmış - tır. Hazırlanan derinlik kesitlerinin yorumlanması sonucun - da, Afrika levhasının Anadolu levhası altına dalımı, Antalya'nın doğusunda ve batısında farklı eğim ve hızda olduğu görülmüştür.

## TEŞEKKÜR

Bu çalışma süresince katkı ve yardımlarını esirgemeyen sayın hocam Doç. Dr. Özer Kenar'a ve yine bilgi ve görüşlerinden yararlandığım sayın hocam Doç. Dr. Ömer Alptekin'e içtenlikle teşekkür ederim.

Çalışmanın, bilgisayar çalışmaları sırasında yakın ilgi ve yardımlarını gördüğüm Jeofizik Yüksek Mühendisi sayın M. Fırat Özer'e ve Karadeniz Üniversitesi Mühendislik Mimarlık Fakültesi Jeofizik Mühendisliği Bölümünün tüm personeline teşekkürlerimi sunarım.

Karadeniz Üniversitesi Fen Bilimleri Enstitüsünün Jeofizik Mühendisliği Anabilim Dalı'nda açmış olduğu Yüksek Lisans programına devam edebilmemi sağlayan; Akdeniz Üniversitesi Isparta Mühendislik Fakültesi Jeoloji Mühendisliği Bölümü'nün eski Bölüm Başkanı sayın Yrd. Doç. Dr. Mesut Köseoğlu'na ve yeni Bölüm Başkanı sayın Doç. Dr. Azziz Ertunç'a burada teşekkür etmeyi bir borç biliyorum.

Isparta Bölgesi Devlet Su İşleri'nde görevli bulunan ve bilgi ve kişisel görüşlerinden yararlandığım Jeofizik Yüksek Mühendisi sayın Niyazi Ulusan'a ayrıca teşekkürlerimi sunarım.

## BÖLÜM 1

### GİRİŞ

#### 1.1 Depremselik Çalışmalarının Önemi

Depremlerin zaman ve uzay boyutunda incelenmesi, sismotektonik haritaların hazırlanmasına olanak sağlar. Bunun yanısıra gelecekte herhangi bir bölgede ne büyüklükte bir deprem olabileceği ve belirli büyüklükteki depremlerin tekrarlama peryodları -nın saptanması için istatistiksel olarak deprem parametrelerinin çözümüne yaklaşım sağlanır. Orneğin; bir bölgenin deprem etkinliği araştırılmak isteniyorsa, deprem olayının doğrudan ilişkili olduğu tektonik yapının aydınlatılması gereklidir.

Probleme Jeofizik olarak yaklaşım, deprem kayıtlarının değerlendirilmesi şeklindedir. Bundan dolayıdır ki deprem etkinliğinin belirlenmesi çalışmalarını "sismisite" kavramı altında toplamak mümkündür. Sismisite ise yukarıda belirtildiği gibi deprem oluşumunun zaman ve uzay içerisindeki dağılım fonksiyonları ile ilgili problemleri içerir.

Zemin hareketine Jeoloji'nin etkisi uzun zamandan beri bilinmektedir. Burada dikkat edilmesi gereken en önemli husus, yüzeydeki ivme değerinin gevşek malzemelerde, pekişmiş kayaçla -ra oranla daha fazla olacağıdır. Farklı zeminlerdeki kuvvetli deprem hareketlerinin şiddet - zemin ilişkileri Wiggins(1964) mukayeseli bir şekilde incelemiştir. Okamoto ve Mizukoshi(1967), deprem şiddetinin kırıklı ve bozmuş kayaçlarda, sağlam kayaçlarinkinden % 200 kadar fazla olduğunu saptamışlardır. Amaç; deprem olayını daha az bir hasarla atlatmak için önleme almak olduğuna göre, önceden kestirilmeye çalışılan ve beklenilen belirli bir büyüklükteki depremin olduğu ortamın jeolojik özellikleri -

dirençini aşınca kırılma veya mevcut olan kırık boyunca kayma meydana gelerek birikmiş olan enerjinin tümünün veya bir bölümünün giderilmesi sağlanır. Geçmişte herhangi bir kaynakta meydana gelmiş depremlerle bu gerilmelerin ne oranda giderildiği daha sonra meydana gelecek depremlerin oluş zamanlarını ve şiddetlerini etkileyecektir. Dolayısıyla, gelecekteki deprem olayları geçmiş depremlere bağlı olacaktır.

Poisson modelinde deprem kaynaklarının bir noktada toplanmış olduğu ve izoseistlerin dairesel olduğu kabul edilir. İzoseistlerin dairesel olması ve nokta kaynak kavramı Huygens prensibine dayanır. Gerçekte ise izoseistlerin dairesel olmayıp tamamen tektonik yapıya bağlı olarak bir kapanım gösterdiği bilinmektedir. Zamandan bağımsızlık varsayımları ise belirli bir ölçüde hataya neden olacaktır. Elastik deformasyon enerjisinin zamanla birikerek aniden açığa çıkmak suretiyle depremleri oluşturduğu yukarıda belirtildi. Ancak, deprem olayına en iyi yaklaşım Poisson modeliyle sağlandığından "sismik tehlike" ilişlerinde yaygın olarak kullanılmaktadır. Büyük depremlerde Markov ve Poisson modeli arasında önemli bir fark yoktur. Poisson modelinin büyük depremler için geçerli olduğu, fakat küçük lokal alanlar incelenliğinde verilerin bu modele uymadığı görülmüştür (Knopaff, 1964).

## 1.2 Çalışmanın Amacı ve Kapsamı

Türkiye'deki depremlerin çoğu tektonik kökenlidir. Tektonik depremler genellikle Taşküre üzerindeki levhaların sınırlarında toplanmaktadır. Güneybatı Anadolu'da oluşan depremler, Ege Anadolu ve Karadeniz levhalarının hareketiyle yakından ilişkilidir. Ege levhası güneybatıya, Anadolu levhası ise batıya doğru

nin iyi bilinmesi gereklidir. Oldukça yeni yerleşim bölgeleri için bu konu oldukça önemlidir.

Gelecekte oluşabilecek depremlerin etkinliğinin ve géri dönüş periyodunun belirlenebilmesi için geçmişte meydana gelen depremlerin oluş tarihi, episantr koordinatları, magnitüdü veya şiddeti, odak derinliği, ivme kayıtları ve kayıt edilen azalma ilişkilerinin bilinmesi gereklidir. Yapılacak çalışmanın sağlıklı olabilmesi için inceleme süresinin mümkün olduğu kadar geniş tutulması ve mevcut verilerin güvenilir olması gereklidir. Deprem parametrelerinin sağlıklı bir şekilde tesbit edilebilmesi ise aletsel çalışmalarla mümkündür. Deprem kayıt istasyonlarının yeterince sık olması, küçük magnitüdü depremleri daha duyarlı bir şekilde kayıt etmeye ve bunlarla ilgili parametreleri de gerçeğe yakın bir doğrulukla belirlemeye olanak sağlar.

Deprem oluşumunun gelecekteki etkinliğini, Poisson ve Markov modellerine dayanan yöntemleri kullanarak tahmin etmek mümkündür. Deprem oluşumunun Poisson modeline uygunluk gösterebilmesi için;

- Gelecekteki olayların, geçmişteki olaylardan istatistikî olarak bağımsız olduğu,
- Belirli bir kaynakta oluşabilecek depremin, diğer bir kaynakta meydana gelecek olan bir depremden etkilenmediği,
- Aynı zamanda ve aynı yerde iki ayrı depremin olma olasılığının yok denecek kadar az veya sıfır olduğu varsayımdan hareket edilir. Markov modeli ise Reid(1911) tarafından ortaya konulan "elastik geri tepme kuramı"nı uygulamaktadır. Bu kurama göre, yerkabuğunda meydana gelen hareketler gerilmelere neden olur. Bu hareketler sonucu meydana gelen fay doğrultusunun her iki yanında oluşan elastik deformasyonla, kayaç kütlesi içinde deformasyon enerjisi birikir. Bu enerji, kayaç kütlesinin elastik kırılma

hareket etmektedir. Diğer taraftan Ege ve Anadolu levhaları altına dalan Afrika levhasının kuzeye doğru sürekli bir basınç etkisi vardır.

Yukarıda açıklanan levha sınırlarının oluşturduğu Ege yayı ile Kıbrıs yayı Burdur civarında kesişmektedir. Bunlara bağlı olarak Burdur ve civarına uygulanan sürekli basınç etkisiyle kayaç kütlelerinde gerilmeler meydana gelmektedir. Tarsih - sel depremler ve günümüzdeki aletsel veriler incelendiğinde bu bölgede  $M = 7.4$  büyüklüğünde varan yıkıcı depremlerin olduğu görülmüür.

Bu çalışmada, Ege ve Kıbrıs yay kuşaklarının kesiştiği bölgeyi içeresine alan ve koordinatları  $28^{\circ}$  E -  $32^{\circ}$  E,  $36^{\circ}$  N -  $39^{\circ}$  N olan bir bölge seçilmiştir. Sözü edilen bölgenin depremselliği ve Afrika - Ege - Anadolu levhalarının ilişkisi inceleneciktir.

Yapılan çalışma altı bölümden oluşmaktadır. Birinci bölümde depremsellik çalışmalarının önemi vurgulanmakta, ikinci bölümde ise bölgenin Jeotektonik yapısı açıklanmaktadır. Üçüncü bölümde; depremsellik kavramı içeresine yer alan depremlerin episentr ve hiposantr dağılımları, zaman dağılımları ve magnitüd-frekans ilişkileri incelenmiştir. Dördüncü bölümde, depremlerin oluşum modelleri, kaynak türleri ve Gölle Bölgeleri'nin sismik riski saptanmıştır. Beşinci bölümde, Gölle Bölgeleri'nin levha tektoniği ile ilişkisi incelenerek, altıncı bölümde sonuçlar sunulmuştur.

## BÖLÜM 2

### GÖLLER BÖLGESİNİN JEOTEKTONİĞİ

#### 2.1 Bölgelin Jeolojisi

Bölgelin Jeolojisi, zaman stratigrafisi dikkate alı-narak açıklanacaktır. Ancak, belirli bir Jeolojik zamana bağlanamayan Menderes Masifini ayrı olarak düşünmek gereklidir.

##### A) Menderes Masifi

İncelenen bölgelin kuzeybatısında yer alan masif, yaklaşık 1000 m. kalınlıkta metamorfik şistlerle ve mermelerle yapılmış büyük bir dom biçimindedir. Masif esas itibariyle bir gözlu gnays çekirdeği ve bunun etrafında gnayslarla konsantrik olarak değişen bir yapı arzeder. Gnays gurublarının üzerinde kalın bir metamorfik sediment serisi yer almaktadır.

Daha yukarı seviyelerdeki kayaçlar, hafif ve yarı metamorfize olmuş sedimentlerdir. Bunlar arasında en önemlileri mermeler ve grafitli şistlerdir. Mermeler, bilhassa güneyde hemen hemen devamlı ve çok kalındırlar. Gnays serisinin bir tekrarı olmadığı takdirde bu serinin kalınlığı 8000 m. ye erişebilir. Menderes Masifi içerisinde yer alan kayaçların yaşı hakkında kesin veriler yoktur.

##### B) Paleozoik

Paleozoik'in en üstüne ait şist serisine, Yerkesik'in batısında Marcal dağlarındaki Mesozoik kalkerlerinin tabanında rastlanmıştır. Yine bunlara benzer kayaçlar, Göktepe'nin güneybatısında, Denizel - Permien'in içinde mevcuttur (Philippson, 1915; Onay, 1949). Menderes Masifinin güneyinde, Karadağ'da Karbonifer 500 m. kalınlıkta ve değişik fasiyestedir (Graciansky, 1967). Güneyde, Nif alüvyal ovası ile Fethiye peridotit masifinin kuzey kontaktı arasında Karbonifer, marnlı ve kumlu kalkerler halinde-

dedir. Nif ve Karadağ Paleozoik formasyonları, doğuya doğru uzanan önemli bir ünite teşkil eder. Güneydoğu'dan - kuzeybatıya doğru uzanan Sultandağlarıyla - Seydişehir - Beyşehir arasında, Akşehir güneyinde ve derin vadilerde, Efesultan, Afyon kuzeydoğu-sunda Incehisar'da, Sandıklı kuzeybatısında Batı Toroslar'ın bir kısmıyla geniş temel afırmanlarını kapsar.

Sultandağıları şist formasyonları, Ordovisien katını gosterir ve üstündeki Trias ve Jura transgresyonu ile kısmen örtülü bulunur. Bunlar, Pre - Mesozoik orojenezi ile ilgiliidir. Batı Toroslara giren bölgelerde Ordovisien ile Trias arasında bir boşluk vardır. Ordovisien ile Trias arası ya erozyon ile ortadan kalkmış veya Ordovisien'den - Trias'a kadar daima deniz üzerinde kalmıştır. Sultandağları şistleri üzerinde daima Mesozoik formasyonları görülür.

Batı Toroslar, metamorfik olmayan sedimentlerle örtülüdür. Bölgenin kuzeydoğusunda metamorfikler üzerindeki kalker serileri (pM) bazı yazarlara göre Permo - Karboniferdir. Bunlar Permien + Alt Kretase halinde olup yaklaşık  $150 \text{ km}^2$  kadar bir alanaya yayılırlar. Bu kalker serileri Akşehir Gölü kuzeyinde bir mermer masifi halindedir. Kalınlıkları 500 - 900 m. ve bazen 2000 m. ye ulaşır.

### C) Mesozoik

Paleozoik serileri üzerinde devamlı ve devamsız mostralardan halinde Mesozoik formasyonları yer alır. Kretase kalkerler Çivril'in doğusunda, Akdağ'da önemlidir.

Güneybatıdaki Fethiye bölgesinde ise Trias önem kazanır. Bu bölgede çok kalın ve masif şeklinde olan dolomitik kalker serisi Jurasici ve belki de Alt Kretase'yi kapsamaktadır. Kudemadağ ve Büyükköy Akdağ'ı teşkil eden kalkerlerin alt kısmındaki dolomitik kalkerlerle, Açı göl sahasındaki dolomitik kalkerler de Trias'a aittir. Marmaris bölgesinde Alt Mesozoik'e ait masif

kalkerler üzerinde, kalınlığı nispeten az fakat litolojisi çok çeşitli olan formasyon, Mesozoik'in diğer kalkerlerine oranla daha kolaylıkla deform olabilir. Bu nedenle orojenik hareketlerle bu seviyede birçok anormal kontaktlar yer almıştır.

Marmaris'in doğusunda Plaket Kalker serisi azalarak yeri radyolaritli kalker serisine bırakır. Denizli'nin güneydoğusunda Paleozoik'e ait şistlerin üzerinde yer alan Mesozoik kalker serileri güneye doğru devam ederek Tavas ile Acıpayam arasındaki dağların sırtlarını teşkil ederler. Acı Göl'ün güneyindeki yüksek doruklar Mesozoik kalker serisinin kalın küteleriyle yapılmıştır. Göller bölgesinde oldukça belirli ve değişik fasiyeli Trias formasyonları bulunur.

Batı Toroslar bölgesinde Mesozoik transgresyonu, Trias ile başlar ve Mesozoik'in bütün seviyelerini kapsar. Jura, Trias'ı veya açısal bir diskordansla Paleozoik'i örter. Bu seriler Trias'dan itibaren geniş bir devamlılık gösterir. Beyşehir kuzeyinde Ust Mesozoik, Sultandağları temel serilerini örter. Alt Kretase ise sıç deniz karbonatları karakterindedir.

#### D) Senozoik

Batı Toroslar'da, Dinar - Senirkent arasında tabanı teşkil eden Paleosen ve Eosen, mostralar vermektedir. Beyşehir'de alta gelen karbonatlı seviyeler Paleosen'dir. Barla Dağı'ndaki flişler de Paleosen'in ilk depolarıdır. Kırdağ'da Alt Kretase'ye ait sıç deniz karakterindeki kalkerler Paleosen'e kadar yükselir.

Köyceğiz Gölü sahasındaki Eosen, bir fliş sedimentasyonu ile başlar. Fethiye etrafında, güney sahillerindeki dağlarda ve Elmali etrafındaki dağlık arazide görülür. Eosen'in yüksek seviyelerinde Oligosen'e kadar olan sedimentler, Akdağ'ın güneyinde geniş sahaları kapsar. Elmali bölgesinde meydana gelen çok şiddetli tektonik hareketler, ilkel stratigrafik tabaka durumlarında büyük deformasyonlar meydana getirmiştir. Elmali'nin güneyindeki

Piaket kalkerleri çok kalın bir fliş serisinin tabanında bulunur.

Denizli sahasında Üst Miosen'e ait denizel bir formasyon vardır. Bu formasyon, graben şeklinde gökmüş bulunan Ege Çay vadisinin aşağı kısımlarında yer alır. Bölgede geniş bir alanı kaplayan Neojen sedimentasyonunun esas kütlesi orojenezden sonraya ait o-lup, kıvrımların ve şariyajların üzerinde transgresiftir. Bunlar özellikle Pliosen'e aittir. Acipayam'ın güneyinde çok büyük bir Neojen sahası bulunur.

Çivril'in güneyinde bulunan ve Neojen'e ait olan graben batıda metamorfik Çal Platosu ve doğuda Baklan Masifi (37.58N - 29.36E) ile sınırlandırılmıştır. Baklan'ın üzerinde kalker tabakaları, konglomeralar içine sokulmuş durumdadır. Konglomeralar, çökelmelerinden evvel esas fay boyunca yükselsmiş olan metamorfik roliyefi kapatmaktadır.

## 2.2 Magmatizma ve Volkanizma

Menderes Masifi'nde Oligosen'den sonra bir sıcaklık cephesinin yükseldiği tesbit olunmuştur (Arpat ve Bingöl, 1969, Bingöl ve diğ. 1968). Az da olsa bir sıcaklık metamorfizması bütün bölgedeki granodiyoritleri etkilemiştir. Brunn ve diğ. (1971)'ne göre Batı Toroslar bölgesindeki peridotit ve Harzburgit'ler genellikle serpantinize olmuş, doloritik dayklarla kesilmiş, ayrıca tektonik naplarla örtülmüştür. Kaaden (1959)'e göre bu bölgelerdeki Ultrabazik kayaçlar Alpin Orojenezi'nden daha eskidir. Colin ve Holzer (1962) bölgede çok defa birbirleriyle sıkı sıkıya bağlı bulunan Alt Kretase'ye mensup bazik lavlarla, Kretase - Eosen sınırında yerleşmiş olduklarını kabul ettikleri Ofiyolitlerin birbirlerinden farklı oïduklarını ve aralarındaki kontakt'ın tektonik olduğunu belirtmişlerdir.

Volkanik faaliyetler Lias'tan başlayarak Üst Neojen ve

Kuaterner'e kadar bütün şiddetıyla devam etmiştir. Bu faaliyet Kretase - Eosen'de genel olarak denizaltı faaliyetleriyle, Oligosen - Neojen'de ise yerüstü volkanizması şeklinde gelişmiştir. Afyon ve Emirdağları volkanikleri yeni erüpsiyonlardır. Bölgenin kuzeybatısında en son volkanik faaliyet Kula'da meydana gelmiş - tir.

### 2.3 Bölgenin Tektoniği

Türkiye'yi de içeresine alan Alpin Sıradağları, Cebelitarik Boğazından; kuzeyde Avrupa - Asya kıtası, güneyde Afrika - Arabistan ve Hindistan olmak üzere Endonezya'ya kadar uzanır. Avrupa'nın güneyini kuşatan büyük Alpin Sıradağları, Üst Mesozoik ve Tersier sonunda meydana gelmiştir. Bu sıradagların güney kandası Atlaslar'i, Apeninler'i, Dinarik Alpler'i, Toroslar'i ve Zagros Dağları'nı meydana getirir. Bu iki kanat arasında Orta Anadolu gibi ara masifleri yer alır.

Anadolu, dağ kuşaklarının orojenik gelişmeleri esasına dayalı olarak dört ana tektonik birliğe ayrılabilir (Ketin, 1966).

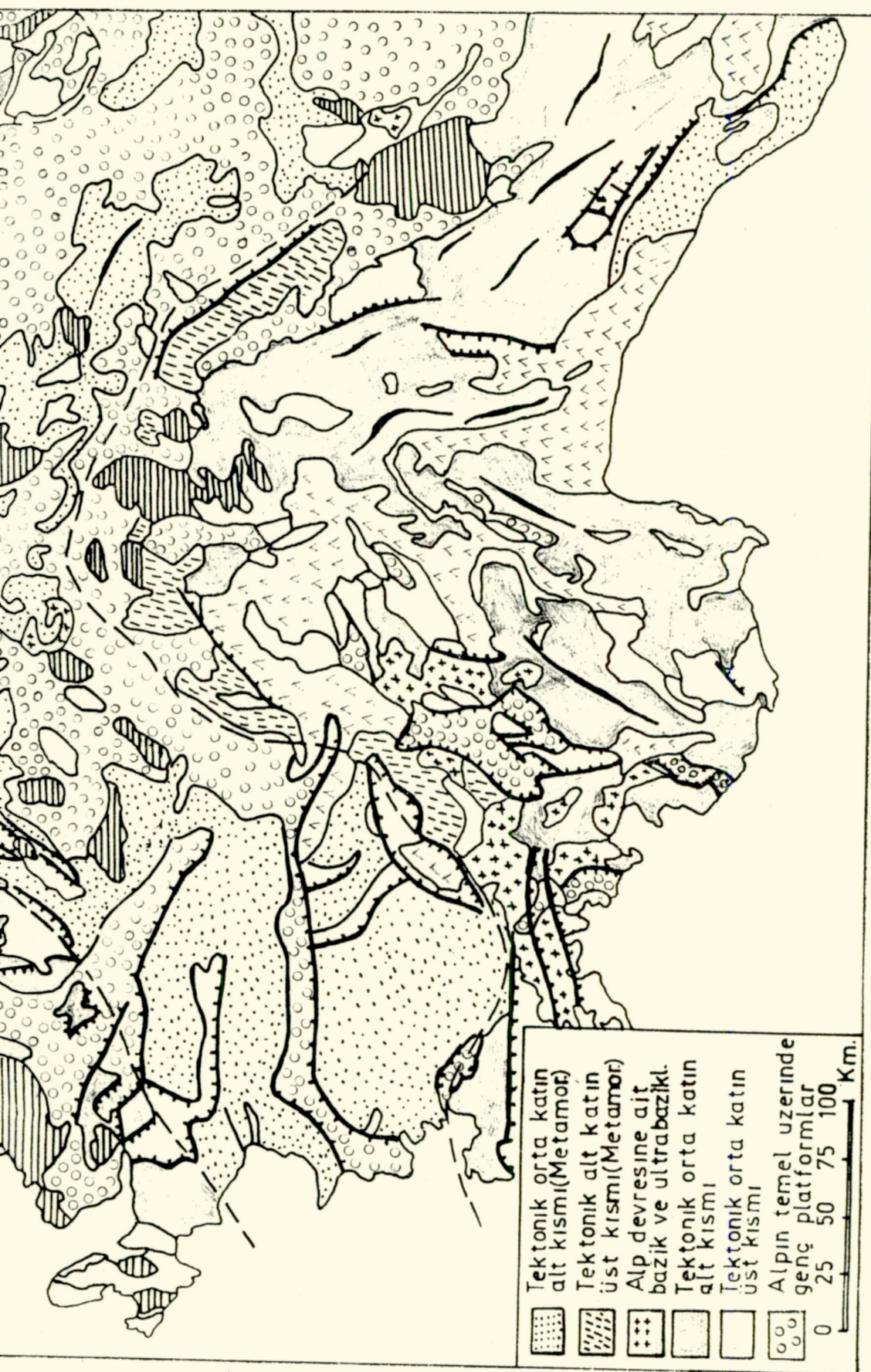
- Kuzey ve Kuzeybatı Anadolu Sıradağları (Pontidler)
- İç Anadolu Sıradağları (Anatolidler)
- Güney ve Doğu Anadolu Sıradağları (Toridler)
- Güneydoğu Anadolu Sıradağları

İncelenen bölgenin büyük bir kısmını hatta tamamını Anatolidler ve Toridler kapsar. Bu nedenle Anatolid ve Toridler'e kısaca değinildikten sonra Tali tektonik birimler açıklanmaya çalışılacaktır.

#### A) Anatolidler

Bunlar esas itibariyle Orta ve Batı Anadolu metamorfik kristalin masiflerini kapsar. Bu birlik içerisinde Üst Kretase'ye kadar olan tüm Paleozoik ve Alt Mesozoik formasyonlar az ve-

**Şekil 2.1** Bölgenin yalanlaştırılmış tektonik haritası (Ketin, 1960'dan alınmıştır).



ya çok metamorfizmaya uğramış seriler halinde bulunur. Üst Kretase formasyonları, metamorfik seriler üzerinde çoğu kez konkordan olarak bazen de aralıklı bir diskordans'la gelirler. Alt Eosen tabakaları belirgin bir açılı diskordans'la, kalın bir taban konglomerasıyla Kretase ve daha eski metamorfik serileri örterler.

Üst Eosen'den başlayarak Oligosen ve Miosen, karasal fasiyes'te gelişmiş, bu suretle İç Anadolu'nun Jips'li ve tuzlu Tersier formasyonları meydana gelmiştir. Miyo - Pliosen tabakaları genellikle yatay durumlu olmakla birlikte yer yer kırılmış ve eğilmişlerdir. Bu birim içerisinde iik şiddetli ve etkili orojenik hareket Kretase sonunda başlamıştır. Miosen'den itibaren kıvrılma olayları hemen hemen sona ermiş, orojenik gelişme tamamlanmıştır. Magmatik faaliyet ise Laramien kıvrılma safhasına bağlı olarak gelişmiştir.

Orta ve Batı Anadolu'nun metamorfik - kristalin masifleri Alpin orojenez döneminde oluşmuş - gelişmiş Alpin Sıradağları'dır. Bunlar, Laramien safhasından sonra su üzerine çıkmışlar ve Tersier sıçan denizleri içinde adalar teşkil etmişlerdir (Ketin, 1966).

## B) Toridler

Toridler (Toroslar), Iranidler tektonik birliğini de kapsar. Kambriyen'den başlayarak Miosen sonuna kadar denizel fasiyeste gelişmiş, metamorfik olmayan tortul serileri içerir. Bunlar arasında yer yer metamorfik masifler de bulunur. Toroslar bölgesinde ilk Alpin orojenik hareketler Kimmeriyen safhasıyla başlamış ve bunu yer yer Austrid safhası izlemiştir. Esas şiddetli ve yaygın orojenik hareketler Kretase sonunda, Laramiyen safhasında vukuva gelmiştir.

Alt Eosen'e ait formasyonlar bir taban konglomerasıyla daha eski formasyonlar üzerinde diskordan olarak durur. Eosen sonunda, Oligosen'de Paroksizma hareketleri etkili olmuş, dağ şerit-

lerinin büyük bir kısmı su üzerine yükselmistiştir. Miosen'den itibaren orojenik hareketlerin yerini epirojenik ve kratojenik yükselmeler almış ve Miosen sonunda Toroslar tüm olarak deniz yüzeyi üstüne çıkmıştır. Miosen'den sonra da yükselme hareketleri devam etmiş, denizel Miosen tabakaları günümüzdeki deniz seviyesinden 950 - 1000 m. yüksekklere çıkmıştır.

### C) Tali Tektonik Birlikler

Kıvrılmaya uğramış formasyonlar tektonik olarak Alt, Orta ve Üst katları meydana getirmiştir (Şekil: 2.1). Alt katın Üst kısmı olarak gösterilen Austrid ve Sub - Hersinien tektonik safhaları vasıtasiyla kıvrılmış olan Üst Kretase öncesi formasınlar bu kısma dahildir. Bu sahalarda, Üst Kretase bir taban konglomerasiyla, Alt Kretase ve daha eski seriler üzerinde diskordan olarak bulunur.

Toroslar'ın dış ve iç kavislerini teşkil eden metamorfik masifler Amanos Dağları'nda, Sultandağları üzerinde, Batı Toroslar'da, Bolkardağ ve Anamur Masifi'nde Üst Kretase transgresif olarak durmaktadır.

Orta katın Alt kısmı olarak belirtilen formasyonlar Laramiyen orojenezi ile deform olmuş sahalardır. Bu safha Türkiye dağlarının teşekküründe önemli bir rol oynar. Orta katın Üst kısmı olarak belirtilen formasyonlar, Eosen ve Oligosen esnasındaki orojenez hareketleri ile deform olmuş bölgelerdir. Tektonik Üst katı ise kıvrılma ve sürüklendirme hareketlerinin etkisinde kalmış Miosen ve Pliosen formasyonlarının bulunduğu sahaları teşkil eder. Toroslar'ın bir bütün olarak su üstüne yükselmesi ve Kenar Kırımları'nın teşekkürü bu devreye raslar.

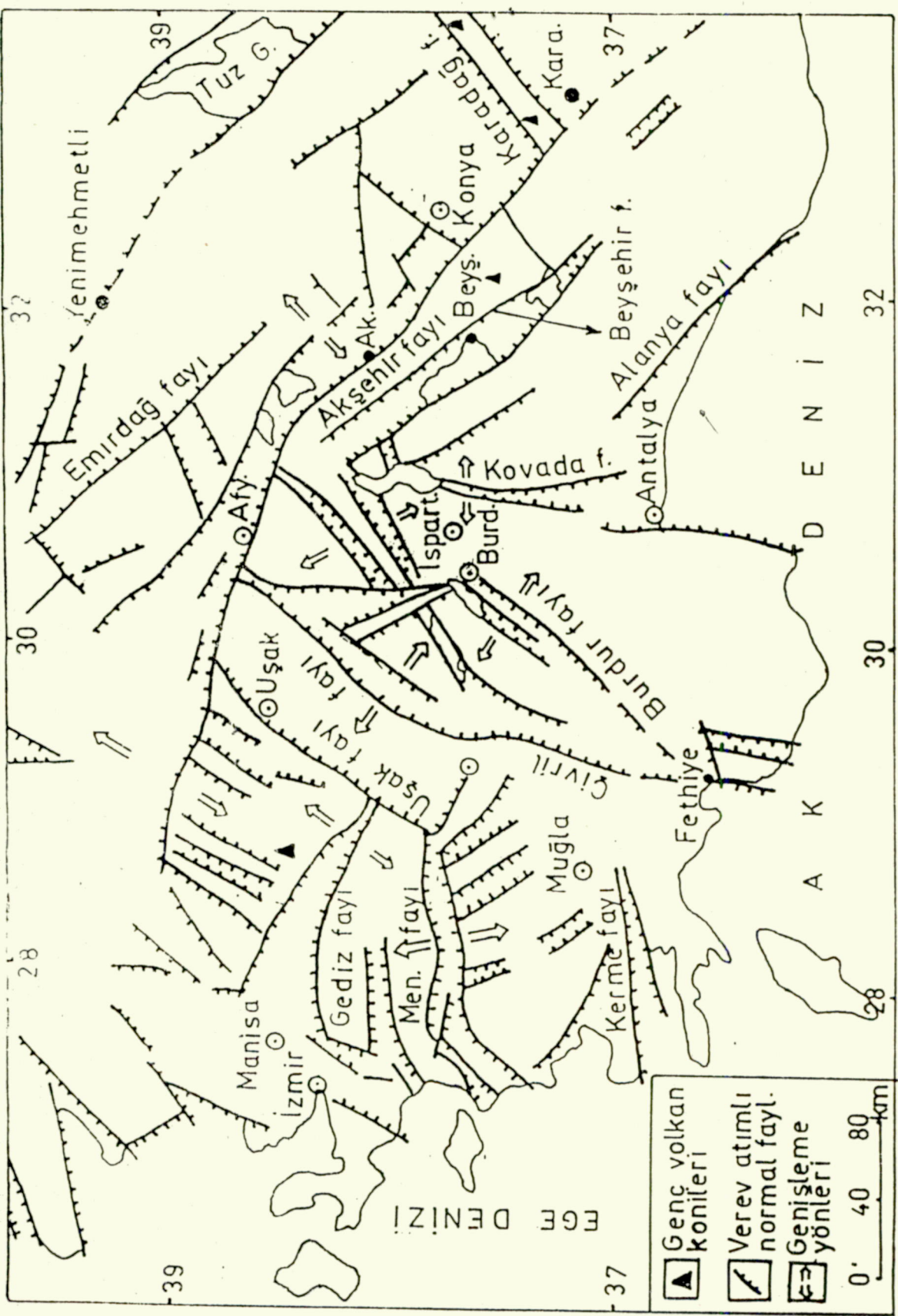
## 2.4 Faylar

Türkiye'nin Neojen esnasında kitle halinde yükselmesiyle ilgili olarak teşekkül etmiş genç faylar, bölgedeki Büyük ve Küçük Menderes vadileri ile Gediz vadisi kenarlarında, Denizli-Acipayam çevresinde ve Sultandağlarının doğu kenarlarında yer almır. Bunlar eğim atımlı normal ve ters faylardır (Ketin, 1960).

Seydişehir ve Beyşehir'in güneydoğusunda nap şeklinde bir bindirme mevcuttur. Buradaki en fazla sürükleme miktarı 30 km. tahmin edilmektedir. İtilme olayı güneybatıya Akdeniz'e doğru olmuştur. Fethiye ve Marmaris bölgesinde ise kuzeYE doğru hareketler tesbit edilmiştir.

Toroslar'da iç kısımlar kuzeYE, Orta Anadolu Masifi'ne doğru, dış kavisler ise güneye, Akdenize doğru itilmişlerdir. Bindirmelerdeki hareket miktarı yukarıda belirtildiği gibi en fazla 30 km. kadardır. Bu bakımdan, Türkiye'deki jeolojik tektonik üniteler üstüste değil, daha ziyade yan yana bulunmaktadır (Ketin, 1956).

Denizli - Sarayköy - Buldan yörelerindeki normal fay takımları D - B, K - G, KD - GB, KB - GD doğrultulu olup bunlar yeni tektonik dönemde oluşmuş tortulları daha yaşlı temel kayalarından ayırmaktadır. Büyük depremler çoğunlukla bu fay takımlarının kesişme yerlerinde oluşturmaktadır. 1963 - Tefenni ve 1971 - Burdur depremleri, Burdur grabenini sınırlayan KB - GD gidişli faylarla, KB - GD gidişli Alaşehir - Sarayköy faylarının kesişme yerinde oluşmuştur. Şekil 2.2'de görüldüğü gibi bölgedeki önemli faylar arasında; Akşehir, Tuz Gölü, Çivril, Beyşehir, Kovada, Burdur, Kermene, Büyük Menderes, Gediz, Uşak, Emirdağ, Karadağ ve Alanya fayları sayılabilir. Bunlardan Akşehir fayı; Simav - Gediz - Afyon sismik kuşağı içinde yer alan ve güneydoğuda Karaman dolayından kuzeYbatıda Simav batısına kadar uzanan 200 - 300 m. atımlı ve



Sekil: 2.2 Bölgenin yalınlaştırılmış sismo - tektonik haritası (Koçyiğit 1984'den)

$75^{\circ}$  -  $80^{\circ}$  KD eğimli bir çekim fayıdır (Atalay, 1975). Bu fay, uzanımı boyunca yer yer çok belirgin fay düzlemi arzeder.

Göl kıyı kordonlarının, göl düzeyinden 4 - 5 m. yüksekte oluşu, düşey devinimlerin bir kanıtıdır. Önemli faylar ve bunlar tarafından sınırlanan çöküntü alanları içinde akmakta olan dereler, düşey yükselenmenin bir kanıtı olarak yataklarını derine doğru kazmış olup, günümüzdeki diri faylar doğrudan doğruya A-lüvyonlarla daha yaşlı birimleri dokanağa getirmiştir. Yine çöküntü alanları içinde yer alan bazı göller, diri faylanmanın bir diğer kanıtı olarak bir kenarlarını doğrudan fay düzlemlerine yaslamışlardır. Akşehir, Beyşehir fayları ile Çivril, Açı Göl, Burdur, Karadilli, Hoyran ve Kovada fayları günümüzde diri olup, güneybatı Anadolu'da levha içi genişleme sürmektedir. Önemli genişleme yönleri K60 D, K40 B ve D - B dır.

Blok faylanmayı meydana getiren kırıklar değişik doğrultulu fakat aynı zamanda oluşmuş faylardır. Yerel olarak Orta Oligosen sonu, genel olarak Üst Miosen - Erken Pliosen'de başlayan yeni tektonik dönemde birlikte ortam çekme tektoniği rejiminin denetimine girmiş ve mekanik açıdan enbüyük gerilim ekseni - nin düşey ya da ona yakın bir konum kazanmasıyle normal faylar gelişmeye başlamıştır. Bölgedeki fay takımlarından herhangi biri diğerlerinden daha genç değildir. Ancak, aynı fay takımı içinde, horstlardan - grabenlere doğru gidildikçe genişleşme görülür.

## BÖLÜM 3

### DEPREMSELLİK

#### 3.1 Depremsellik Kavramı

Depremsellik kavramının kapsamı genişdir. Genel anlamda depremlerin zaman ve uzaydaki dağılımı olarak düşünülebilir. Depremsellik çalışmalarının bir amacı da belli bir zaman peryodu içerisinde bir bölgede deprem sonucu meydana gelebilecek olan enbüyük yer ivmesini önceden kestirebilmektir. Bunun için deprem parametreleri(şiddet, magnitüd, ivme, odak derinliği), meydana gelen depremlerin frekansı(sayısı), tektonik aktivite, sarsılan bölgenin alanı, şiddet - episentr mesafesi gibi istatistiki verilerin derlenip bir bütün olarak yorumlanması gereklidir.

İlk olarak Aristo deprem konusuyla bilimsel düzeyde uğraşarak bir sınıflandırma yapmıştır. Daha sonra(M.S 132) Çin'de, deprem hareketini gösterebilen ilk araç yapılmıştır. 1706'da John Michell, depremlerin dalga hareketleriyle ilgili olduğunu belirten bazı yaynlarda bulunmuş ve 1840'da Von Hoff, tüm dünyayı kapsayan bir deprem kataloğu yayınlamıştır. 1857'de oluşan Büyük Napoli depreminden sonra İrlanda'lı Robert Mallet, depremlerle ilgili ilk arazi çalışmasını yapmış ve bölgenin hasara ilişkin haritasını hazırlayarak, depremleri kayıt edebilmek için yeryüzünde bir takım gözlemevlerinin kurulmasını önermiştir. 1897'de Oldham, deprem kaydedicilerden alınan kayıtlar üzerindeki gözlemlere dayanarak enine ve boyuna dalgaların matematiksel kuramlarını ortaya koymustur. Daha sonra 1911'lerde Oldham ve Montessus de Ballore yaptıkları çalışmalarında; depremlerin tarihsel oluşumlarını, zaman ve uzay içerisindeki büyükliklerini belirten episentr haritaları ile depremselligi ifade etmektedir.

etmişlerdir.

Bunlardan sonra, genel anlamda depremlerin zaman ve uzay içerisindeki dağılımları olarak tanımlanabilen depremsellik kavramı birçok araştırmacı tarafından değişik yönleriyle irdelenmiştir. İlk olarak Ishimoto ve Iida(1939), depremlerde magnitüdfrekans ilişkisi konusuna değinmiştir. Benioff(1951) tarafından ortaya konulan streyn boşalımı ve buna bağlı olarak ortaya çıkan "tektonik akı" kavramı ve Bath(1956)'ın depremlerden aşağı çıkan birim alan ve zamana tekabül eden toplam sismik enerji kavramı depremselliğin bir ölçüyü olarak kullanılmıştır. Riznichenko(1959) uzay ve zaman içerisinde gözönüne alınan farklı büyüklüklerdeki depremlerin tümü olarak tanımlanan "sismik rejim" kramını ortaya atmıştır. Aki(1968) depremselliği, yer içerisinde depremleri oluşturan süreçler olarak tanımlamış ve sismograf kayıtlarından saptanabileceğini öne sürmüştür. Purcaru(1975) ise depremselliği, deprem olaylarını ve bunların etkilerini içeren sismik alanın tamamı olarak tanımlamıştır.

Depremsellik çalışmalarında tektonik aktivitenin iyi bilinmesi gereklidir. Bu bakımından, incelenen bölgedeki tarihsel depremlerin episentr dağılımı ve tektonik birimlerle olan ilişkili tespit edilmelidir. Yapılan bu çalışma alanı içerisinde giren bölgede( $28^{\circ}$ E - $32^{\circ}$ E,  $36^{\circ}$ N - $39^{\circ}$ N) genellikle sıç ve orta derinlikte depremler oluşmuştur. Bunlar, Afrika levhasının Anadolu levhası altına - manto'ya dalmasıyla ilgilidir. Dalma kuşakları zaman zaman şiddetli depremlere sahne olurlar. Levha sınırlarından başka, kıtaların çarpıştığı yerlerde depremler geniş kuşaklar içerisinde oluşurlar ve buralardaki deformasyonların karmaşık olduğu na işaret ederler(Alptekin,1973).

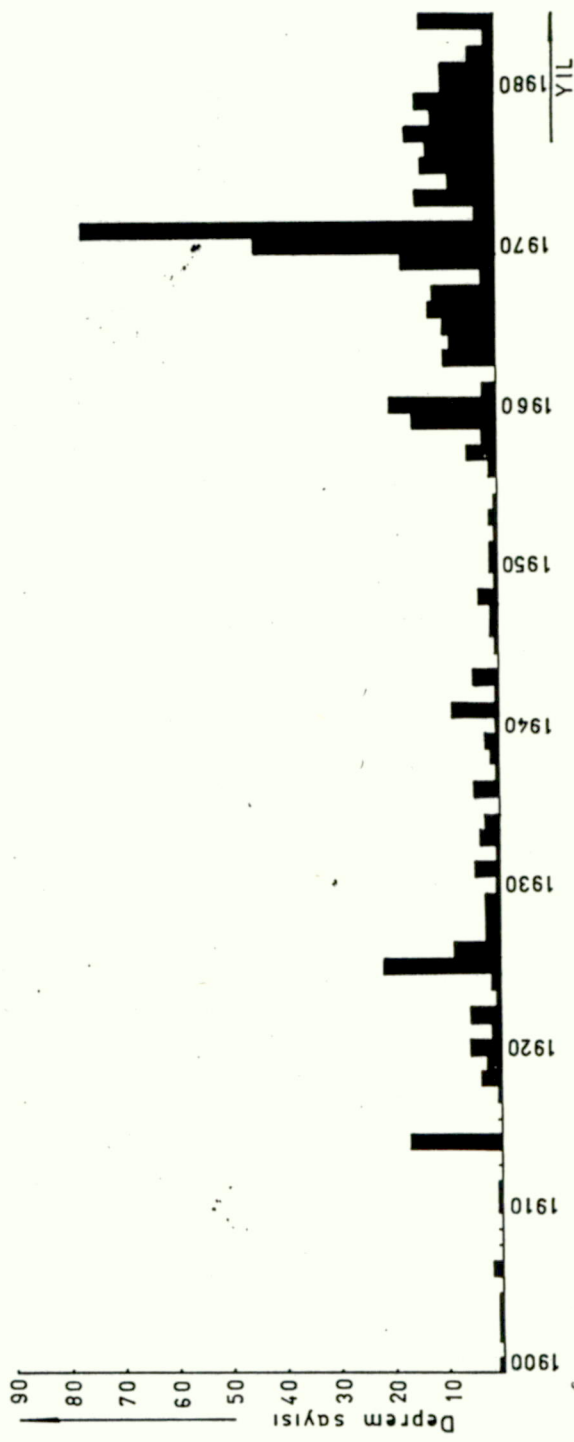
### 3.2 Güneybatı Anadolu'nun Depremselliği

Türkiye'de oluşan depremler büyük çogunlukla tektonik depremlerdir. İncelenen bölgedeki depremler de tektonik kökenli olup, Ege Denizi ve Kıbrıs sismik yay kuşaklarıyla ilgili - dir. Yay şeklindeki bu kuşaklar Burdur civarında kesişirler (Alptekin, 1978). Kesişme kavşağı olan Burdur ve civarında son senelerde yoğun bir enerji boşalımı olmuştur. Türkiye'deki deprem bölgeleri dört ana guruba ayrılabilir:

- Kuzey Anadolu Deprem Kuşağı
- Batı Anadolu Deprem Zonu
- Doğu Anadolu Deprem Zonu
- Yerel Episantr Zonları

Afyon - Akşehir çukurluğu ve Isparta - Burdur(Gölßer Bölgesi) yöreleri "Yerel Episantr Zonları" olarak bilinmektedir. Bölgenin ( $28^{\circ}$ E -  $32^{\circ}$ E,  $36^{\circ}$ N -  $39^{\circ}$ N) güneybatısındaki ve kuzeydoğusundaki deprem episantırları levha hareketlerine bağlı olarak gelişen tektonik depremlere aittir. Güneybatıdaki Fethiye ve Marmaris bölgesinde karmaşık ve deform olmuş yapı birimlerine bağlı olarak yoğun bir episantr dağılımı görülmektedir (Şekil 3.1).

Güneybatı Türkiye'de depremselliği en yüksek olan iki alan mevcuttur. Birincisi; Rodos - Fethiye - Burdur boyunca, ikincisi ise Simav - Emet - Gediz - Altıntaş - Afyon boyunca uzanır (Ergin ve diğ, 1967), Son senelerdeki sismik aktivite bu iki kuşak üzerinde yoğunlaşmaktadır (McKenzie, 1977). Bu kuşaklardan ilki kuzeydoğuya doğru Burdur - Açı Göl grabenleriyle, ikincisi ise güneydoğuya doğru olan Afyon - Akşehir grabenleriyle birleşir. Akşehir - Afyon - Gediz - Simav çöküntü alanı ve bu alanın güneybatı kenarını sınırlayan Akşehir fayı sismotektonik bakımından diridir (Ketin, 1968; Çuhadar, 1977; Koçyigit, 1980).



Şekil 3.2 Bölgede 1900 - 1985 yılları arasında oluşan depremlerin zaman içerisindeki dağılımı.

Yeni tektonik dönemin kaya birimleriyle(Ust Miosen-Pliosen yaşı karasal tortul - volkanit ardaşımı, Eski ve Yeni Kuaterner yaşı taraşa, Alüvyon konileri) daha yaşlı kaya birimlerini dokanağa getirmiş olan normal faylar, depremselliği en yüksek olan alanlardır(Lahn, 1948).

İncelenen bölge(Şekil 3.1), yaklaşık  $82070 \text{ km}^2$  lik bir alanı kapsamaktadır. Bu bölgede 85 yıl içerisinde magnitüdü 4.0'den büyük olan 523 deprem meydana gelmiştir. Bunlardan 212inin magnitüdü,  $4.0 \leq M \leq 4.5$  aralığındadır.  $M > 5.0$  olan depremlerin sayısı ise 121 olarak belirlenmiştir.

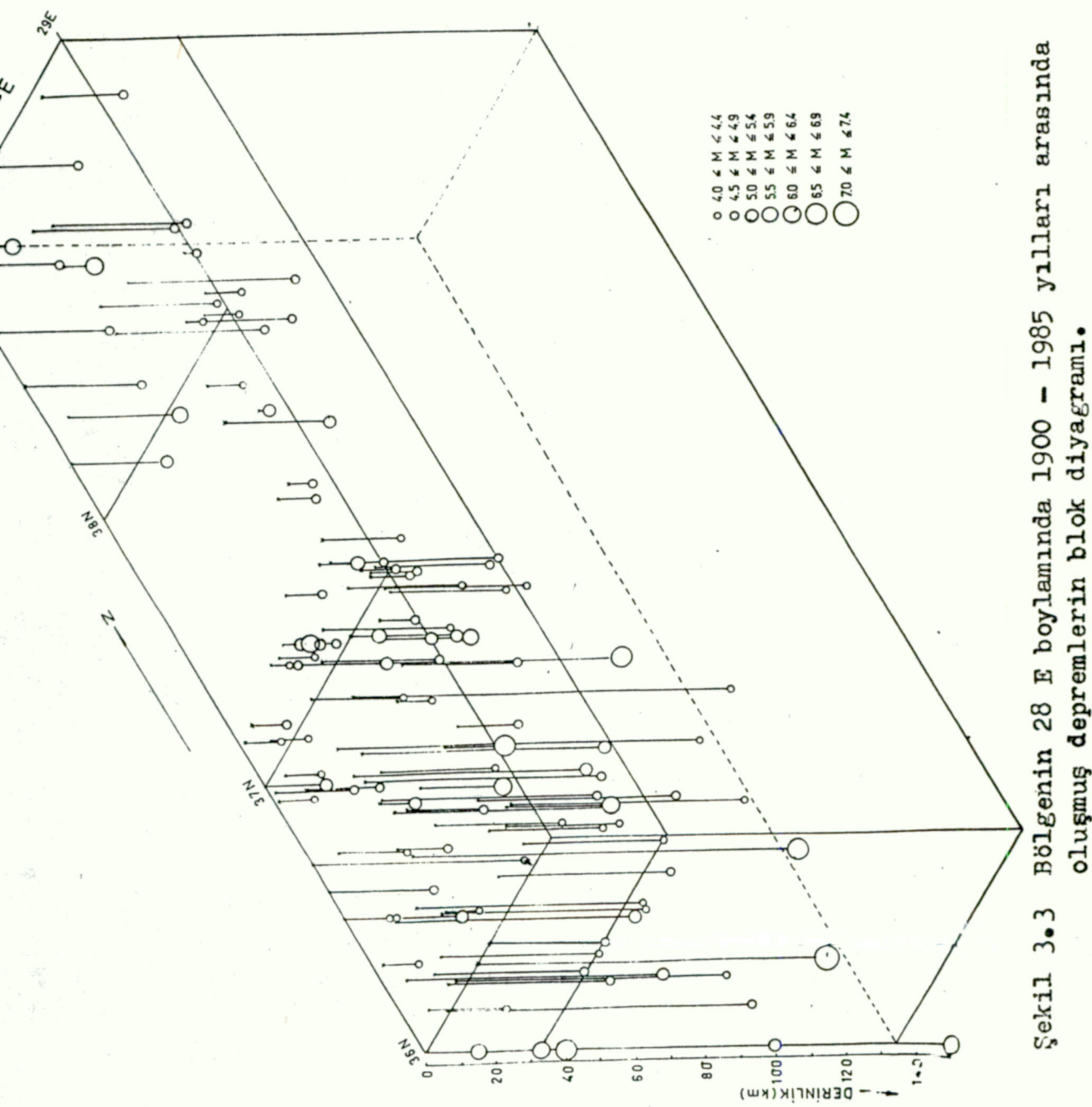
Göller Bölgesinin güneybatısında görülen yoğun epi-santr dağılımı, yerel tektonik yapının yanısıra levha tektoniğiyle de yakından ilişkilidir. Burdur ve civarında görülen dağılım, 1971 yılında meydana gelen Burdur depreminin öncü ve artçı şoklarına aittir. Bölgede, incelenen peryod(85 yıl) aralığında oluşmuş depremlerin zaman içerisindeki dağılımı Şekil 3.2'de verilmiştir. 1970 - 1971 yıllarındaki deprem sayısının maksimum olduğu görülmektedir. Bunun hemen ardından deprem sayıısı hızla azalmaktadır. Fakat, bu olayın zaman içerisindeki davranışını çok kısa sürelidir. Bunun yanısıra sözü edilen olay belli bir kaynağın davranış fonksiyonu olmayıp, tüm bölgede mevcut olan birçok sismik kaynağı dayanmaktadır. Bu nedenle, herhangi bir bölgedeki deprem oluşumlarının toplam göstergesi olan yıllık deprem sayısı kavramına bağlı olarak bir "sismik boşluk"tan bahsetmek doğru olmayacağından bahsetmek doğru olacaktır.

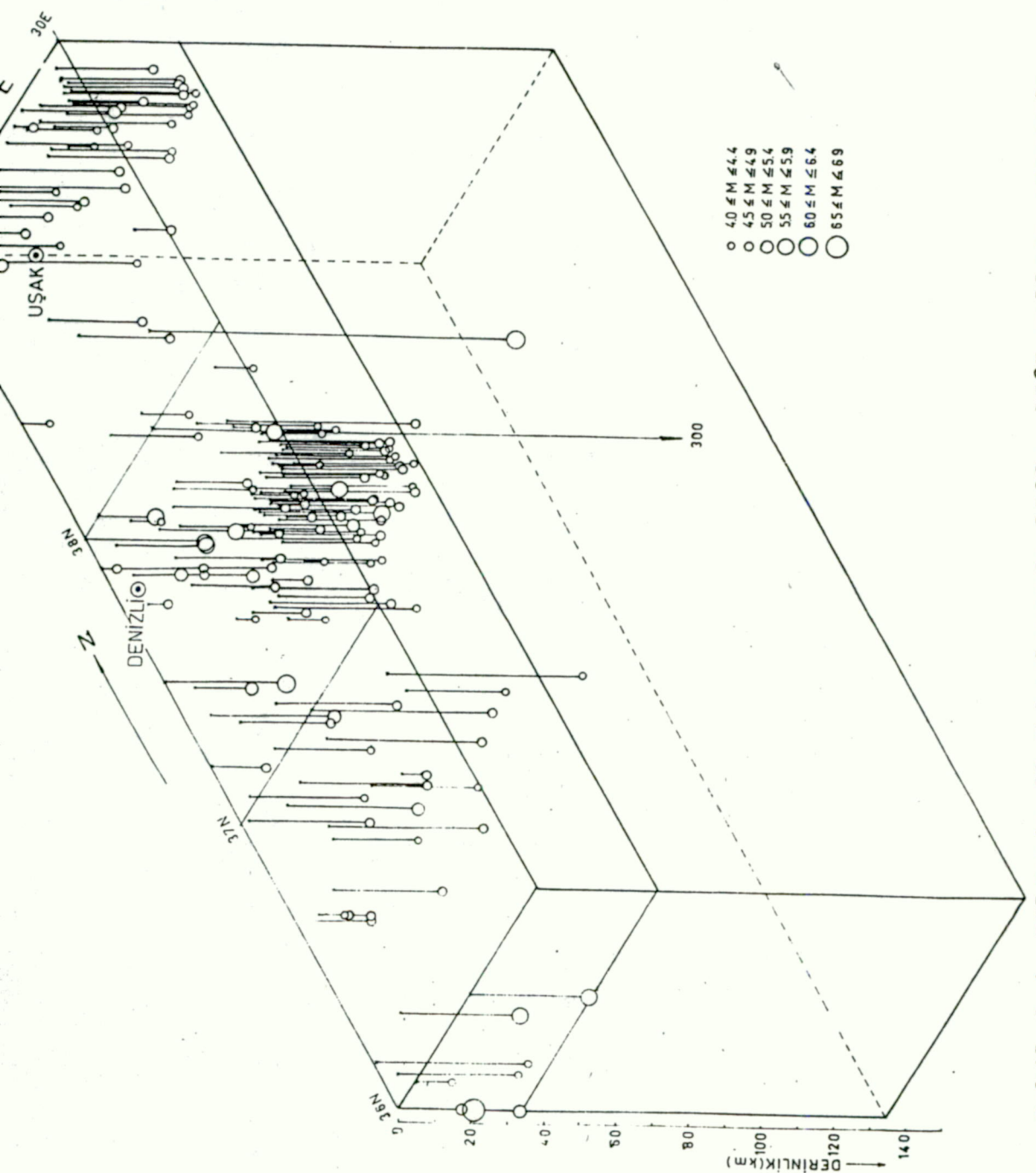
Şimdiye kadar yapılan jeolojik ve sismolojik çalışmalarla, Afrika levhasının Anadolu levhası altına daldığı sonucuna varılmıştır. Levha sınırlarında gelişen olaylar, ancak, sismolojik verilerin değerlendirilmesiyle gerçeğe yakın bir doğrulukla açıklanabilirler. Bu nedenle, bölgede inceleme süresi

İçerisinde oluşmuş depremlerin odak dağılımını göstermek üzere  $1^{\circ}$  lik boyamlar için blok diyagramlar çizilmiştir. Bölge nin güneybatısında yer alan depremlerin derinliklerine göre dağılımı,  $37^{\circ}$  N enlemi güneyinde farklı özellik gösterir. Derin depremlerin tamamen  $36^{\circ}$  N enlemi içerisinde kaldığı görülür (Şekil 3.3).  $37^{\circ}$  N enleminden itibaren kuzeye doğru sıç odaklı depremler yer almaktadır.

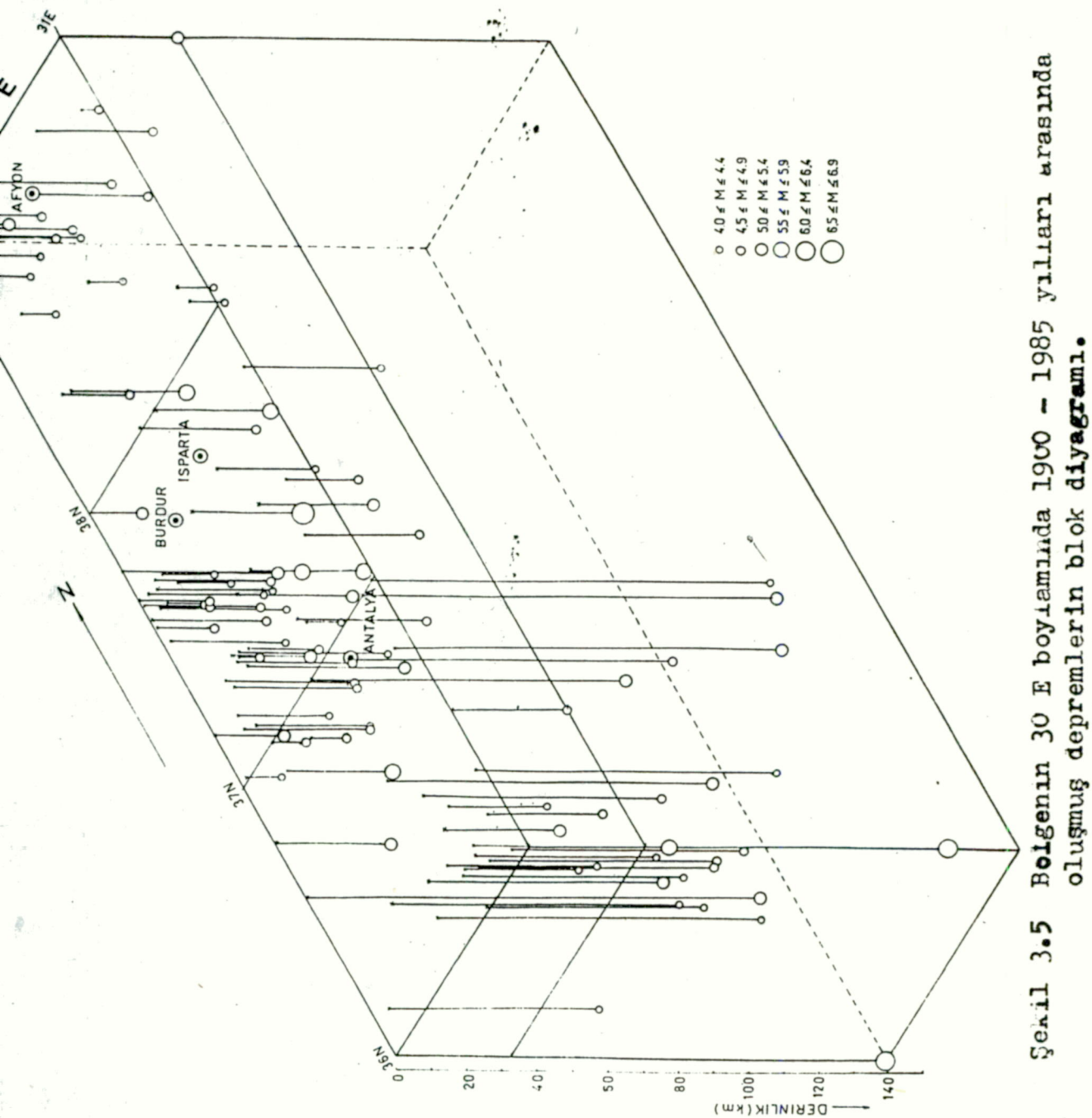
Denizli civarındaki depremler de genellikle sıç odaklıdır (Şekil 3.4). Denizli'nin güneydoğusunda yer alan yoğun episantr ve buna bağlı olarak hiposantr dağılımı, 1971'de oluşan Burdur depremiyle ilgilidir. Güneyde, Akdeniz içerisinde "sismik boşluk" olarak nitelendirilecek bir alan vardır. Burada, incelenen zaman peryodu aralığında sadece sekiz adet deprem oluşmuştur (Şekil 3.4).

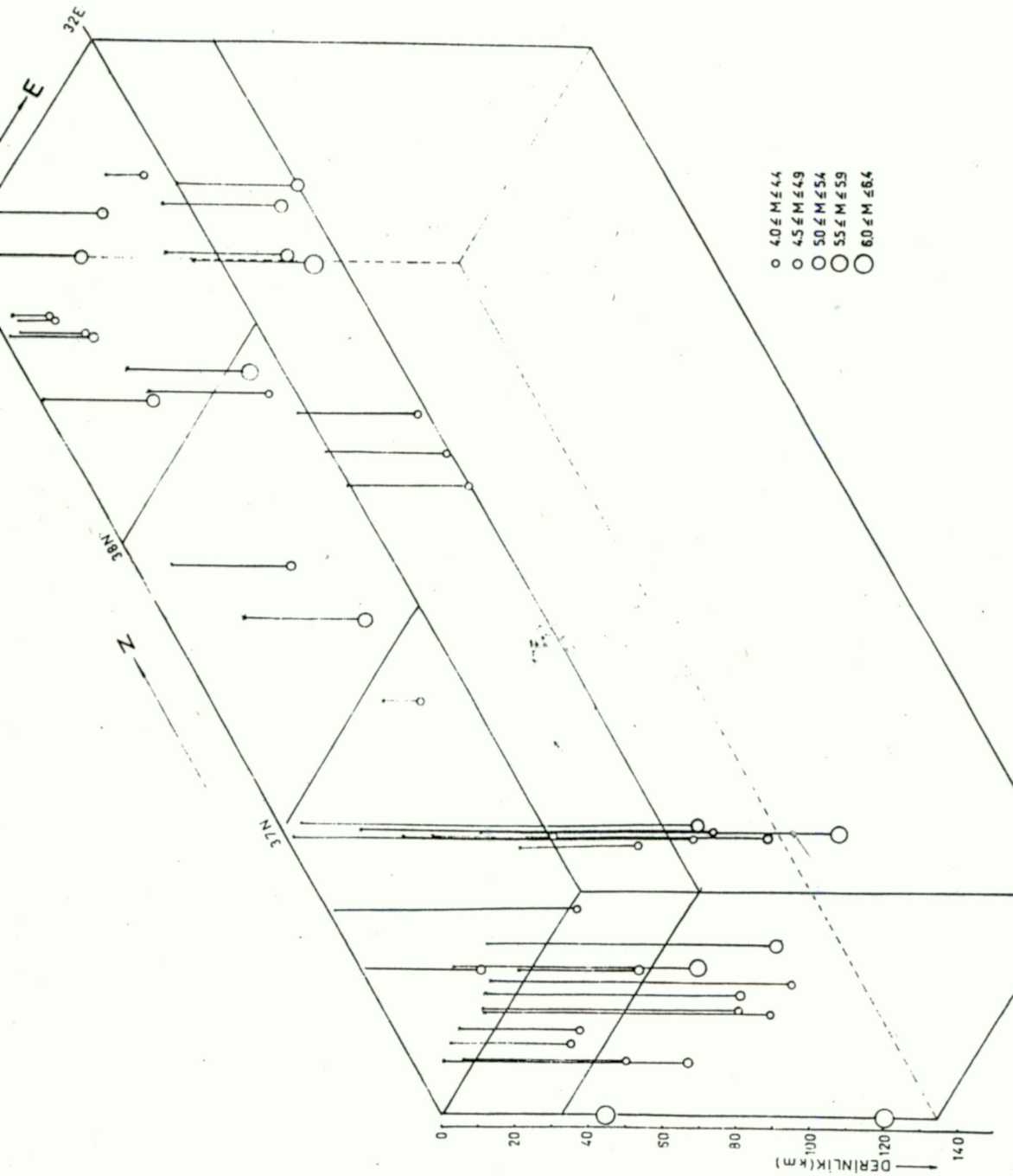
Antalya'nın güneyinde ve güneybatısında derin depremlerin olduğu görülmektedir (Şekil 3.5). Isparta ve Burdur illerinin kuzeyinde deprem oluşumu itibariyle sakin bir alan mevcuttur. Afyon civarındaki olayların tamamen Moho süreksızlığı içerisinde kaldığı görülür. Antalya'nın kuzeydoğusu ise sismik aktivite yönünden sakindır (Şekil 3.6). Güneydeki olaylar Akdeniz içerisinde olup,  $30^{\circ}$  E boyamında yer alan tektonik yapının devamı şeklindedir.  $31^{\circ}$  E boyamının kuzeyindeki oluşumların yine Moho süreksızlığı içerisinde kaldığı görülür.





**Şekil 3.4** Bölgenin 29°E boylamında 1900 – 1985 yılları arasında oluşmuş depremlerin blok diyagramı.





Şekil 3.6 Bölgenin 31 E boylamında 1900 – 1985 yılları arasında oluşmuş depremlerin blok diyagramı.

### 3.3 Bölgedeki Tarihsel Depremler

1900 yılına kadar bölgede oluşmuş tarihsel depremler Tablo(3.1)'de verilmiştir. Bu veriler NOAA veri kütüklerinden sağlanmış olup, söz konusu depremlerin açıklaması Lahn ve Pınar(1952)'in "Türkiye ve Civarındaki Depremlerin İzahlı Kataloğu"ndan yararlanılarak yapılmıştır.

İnceleme alanı içerisinde meydana gelmiş depremlerin bilinen ilki M.S 0053 depremidir. Episantri, Isparta - Dinar - Çivril kırıkları ile ilgili olan bu depremde Dinar tahrif olmuştur. Episantri Pamukkale civarında bulunduğu tahmin edilen 0060 depreminde, Pamukkale'de ağır tahribat olmuş, Denizli civarında bulunan Laodicee ve Colosai şehirleri yıkılmıştır. Hasar bölgesi Dinar'a kadar uzanmıştır.

Tablo(3.1)'de yaklaşık koordinatları verilemeyen, Antalya - Fethiye arasındaki kıyıda 0528'de sarsıntılar olmuştur. Bu sarsıntıların episantri Fethiye veya Meis kırık bölgeleri ile ilgiliidir. Daha sonra 1481'de oluşan dört adet deprem, Rodos depremleri olarak bilinir. Episantri Pamukkale kırıkları ile ilgili olan 1702 depreminde, Pamukkale ve civarında ağır hasar meydana gelmiştir. Yine Tablo(3.1)'de koordinatları bulunmayan 12 Temmuz 1842 depreminde, Isparta ve Burdur şiddetlice sarsılmıştır. Episantri Rodos ile Fethiye arasındaki denizaltı çukurluğunda bulunduğu tahmin edilen 1851 depreminde Fethiye ve Rodos sarsılmıştır.

1852'de Fethiye ve Çeşme şiddetli, 1855'de Fethiye, 1858'de ise Antalya - Kaş arası sarsılmıştır. 1861 - 1863 arasında Isparta ve civarında birçok hafif depremler meydana gelmiştir. 1862'de Marmaris'te, 1864'de Fethiye'de şiddetli sarsılmalar olmuştur. Bu depremin episantrının Meis'te olduğu dü-

• 10.1007/s00158-012-0861-1

the first time in the history of the world. The first (the old) is called  
the "old man" and the second (the new) is called the "new man".

“The first thing we do, let's kill all the lawyers.” — King Lear

the first time in the history of the world, the whole of the human race has been gathered together in one place.

19. The following is a list of the names of the members of the Board of Directors of the Company.

19. The following is a list of the names of the members of the Board of Directors.

and the first time I have seen it, I am compelled to say that it is a very good one.

For more information about the CAA, visit [www.caadp.org](http://www.caadp.org) or call 800-222-3322.

the following day, and the author was able to make a sketch of the scene.

2. *Phytolacca* (L.) *lanceolata* L. (syn. *P. acinosa* L.).—A small shrub, 1-2 m. tall, with slender, erect branches; leaves lanceolate, 10-15 cm. long, 2-3 cm. wide, acute at apex, petioles 1-2 cm. long; flowers white, in terminal cymes.

For more information about the program, contact the Office of the Vice President for Research and Graduate Studies.

TABLO 3.1

Bölgede oluşmuş tarihsel depremler(x)

YIL	AY	GÜN	SA	ENLEM	BOYLAM	I
0053	-	-	-	38000N	30000E	9
0060	-	-	-	37800N	29100E	X
0138	-	-	-	36000N	28000E	9
0155	-	-	-	36500N	28500E	X
0183	-	-	-	36000N	28000E	X
0197	-	-	-	36000N	28000E	8
0222	-	-	-	36500N	28000E	X
0505	-	-	-	36000N	28000E	9
1481	03	15	-	36000N	28000E	X
1481	05	03	03	36000N	28000E	9
1481	05	12	-	36000N	28000E	9
1481	10	03	-	36000N	28000E	X
1702	-	-	-	37900N	29200E	9
1795	-	-	-	38800N	30500E	9
1851	02	28	15	36500N	28800E	X
1852	10	19	03	36600N	29100E	7
1862	05	24	-	36800N	28300E	7
1862	10	16	-	38800N	30500E	9
1863	04	22	20	36500N	28000E	-
1865	01	13	-	36000N	28000E	7
1868	04	20	-	36000N	28000E	-
1871	06	07	-	36800N	28300E	7
1874	11	16	06	36000N	28000E	9
1875	05	03	-	38100N	30200E	X
1875	05	05	-	38100N	30200E	X
1875	05	11	-	38700N	29400E	9
1876	05	13	06	38800N	30500E	X
1886	11	06	-	38300N	29300E	7
1887	08	06	-	38100N	28200E	7
1887	10	-	-	38200N	28000E	7
1896	06	26	-	36900N	28100E	7
1896	10	27	-	36500N	28000E	9
1897	05	-	-	36700N	28600E	7
1899	09	20	-	37800N	28100E	X

x Bölgede oluşmuş tarihsel depremlere ait parametreler NOAA veri kütüklerinden sağlanmış olup, açıklamaları Lahn ve Pınar(1952)'den yararlanılarak yapılmıştır.

şünülmektedir. Episantri Kermə körfezinde olan 1869 depreminde, Kerme körfezine bağlı bölgede tahribat olmuş, Ula, Muğla ve Marmaris'te hafif hasar meydana gelmiştir.

Rodos ve Fethiye'nin şiddetlice sarsıldığı 22.2.1870 depreminde, Akdeniz kıyı şeritinde toprak yükselmeleri meydana gelmiştir. Bu depremin, büyük Akdeniz depreminin bir öncü hareketi olduğu düşünülmektedir. Episantri Sporat adalarında olduğu düşünülen 1872 Haziran depreminde bütün güneybatı Anadolu sarsılmış, Marmaris'te hafif hasarlar meydana gelmiştir. Uşak - Dinar - Burdur kırık bölgesi ile ilgili ve episantrının Dinar ve civarında(muhtemelen Çapalı gölü) olduğu düşünülen 1875(3,5 Mayıs) depreminde, Çapalı - Dinar - Çivril bölgesinde büyük hasar, Uşak ve Afyon'da hafif hasar meydana gelmiş, 1300 kişi ölmüştür. Ayrıca, toprakta yarıklar oluşmuş, sıcak su fışkirmaları olmuştur. Bu depremin replikleri Temmuz'a kadar devam etmiştir. 1875 (11 Mayıs)'de meydana gelen deprem ise Dinar depreminin bir repliği olup, Uşak'ta hasar yapmıştır.

1876 depremi, Burdur ve civarında meydana gelmiştir. 1886(Nisan ayında)'da Denizli'de oldukça şiddetli, Ekim'de ise Köyceğiz ve Marmaris civarında hafif hasar meydana gelmiştir. En fazla hasar Gökçedağ'da tesbit edilmiştir, Bu depremin devamı niteliğinde olan Kasım depremi, Denizli ve Uşak'ta hasar meydana getirmiş ve geniş bir bölgede hissedilmiştir. 1887 Ağustos'unda Muğla - Köyceğiz, Çine, Denizli, Menemen, Gördes, Kula, Alaşehir şiddetlice sarsılmış ve bunun devamında birçok replik hareketleri meydana gelmiştir. Daha sonra(Kasım'da) Muğla ve Çeşme şiddetlice sarsılmıştır.

1889(4 - 16 Ocak)'da Isparta sarsılmış ve bunun devamı niteliğinde 1890'da sarsıntı devam etmiştir. 1896 Haziran depreminde, Marmaris ve Kerme körfezi civarında hasar meydana gelmiştir. Bu deprem, Fethiye - İstanbul ve İzmir'de hissedilmiştir.

1897(Mayıs) depreminde, Marmara, Urla, Muğla, Köyceğiz, Fethiye ve Rodos sarsılmıştır. 1899(Eylül) depreminde, Buldan'da ağır hasar, Denizli ve Tire'de hasar, Uşak'ta hafif hasar meydana gelmiş ve bütün Ege bölgesinde şiddetli bir şekilde hissedilmiştir. 1899 (Aralık)'da Denizli'de birkaç sarsıntı olmuş ve hafif hasar meydana gelmiştir.

### 3.3.1 Burdur Depremleri(\*)

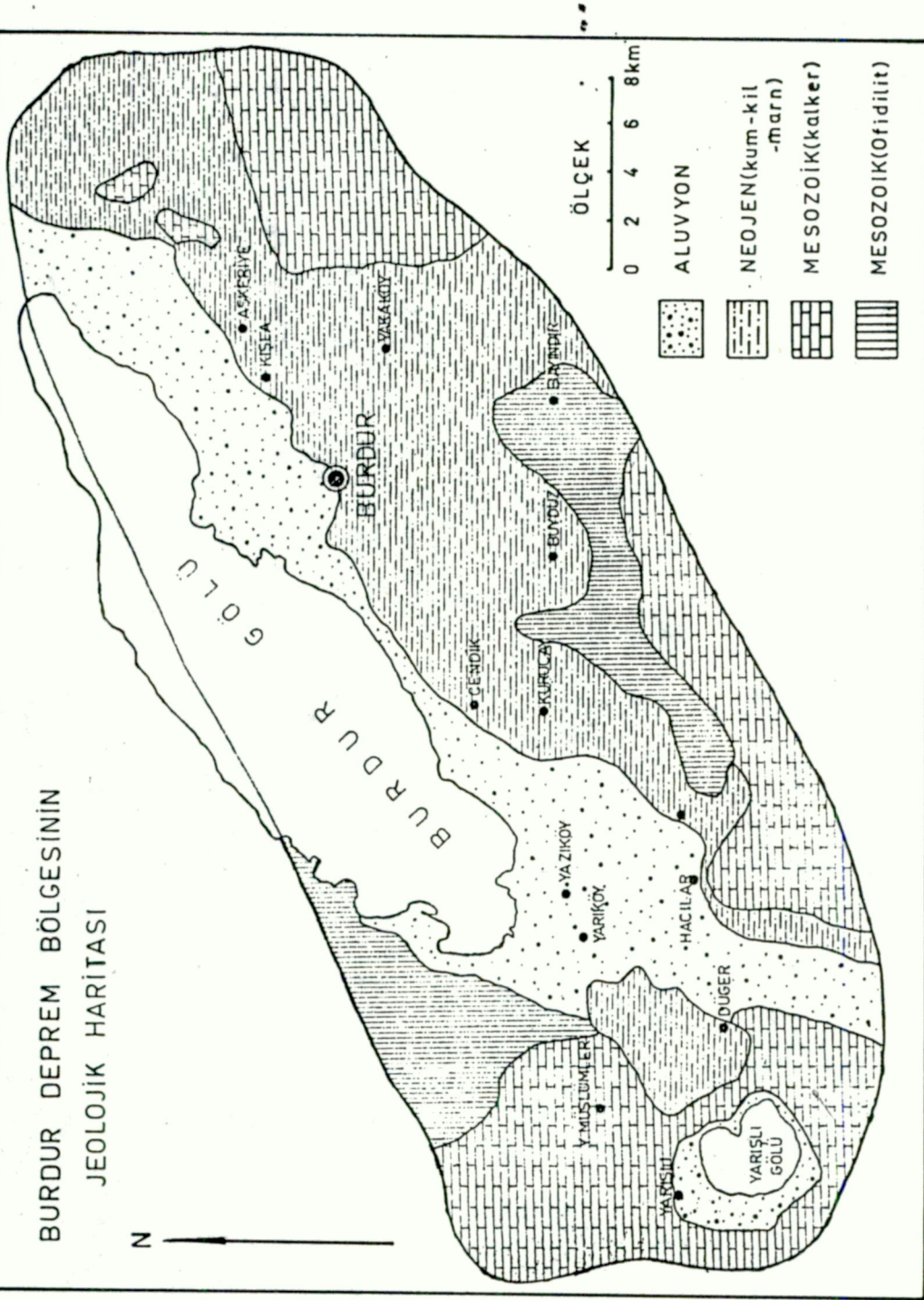
Isparta - Dinar - Çivril - Uşak kırık hat sistemi ile bu sistemin güneybatı uzantısı içerisinde Burdur yer almaktadır. Burdur bölgesinde en yaşlı kayaç olarak Mesozoik'ē ait Ultrabazik kayaçlar yer almaktadır(Şekil 3.7). Bunlar, Jura - Üst Kretase yaşlıdır. Burdur bölgesinde eski masif yoktur. Genel olarak Alp orojene sistemine dahildir.

Burdur bölgesinde bariz bir fay'a raslanılmamasına karşın, Yeşilova yolu üzerinde Mesozoik'e ait kalkerlerin yer yer 10 - 15 m'lik dik şev'ler yaptığı, bunun topografyadaki devamının korniş şeklinde görülmesi Mesozoik'in faylı olabileceğini doğrulamaktadır. 3.10.1914 depreminde açılan fay, 12.5.1971 depremi için çizilen izoseist haritasında ABCD harfleri ile gösterilmişdir(Şekil 3.9). Bu, Burdur'un güneybatısından Rodos hattına doğru uzanan ana faya yaklaşık olarak paralel düşmektedir. 3.10.1914 depreminden( $I_0 = IX$ ), Burdur ve Burdur ovasında, Isparta ve civarında, Dinar'da ağır hasarlar meydana gelmiş birçok kişi ölmüştür. Burdur gölü güneyinde SW - NE doğrultulu ve yaklaşık 40 km. uzunluğunda bir yarık meydana gelmiştir.

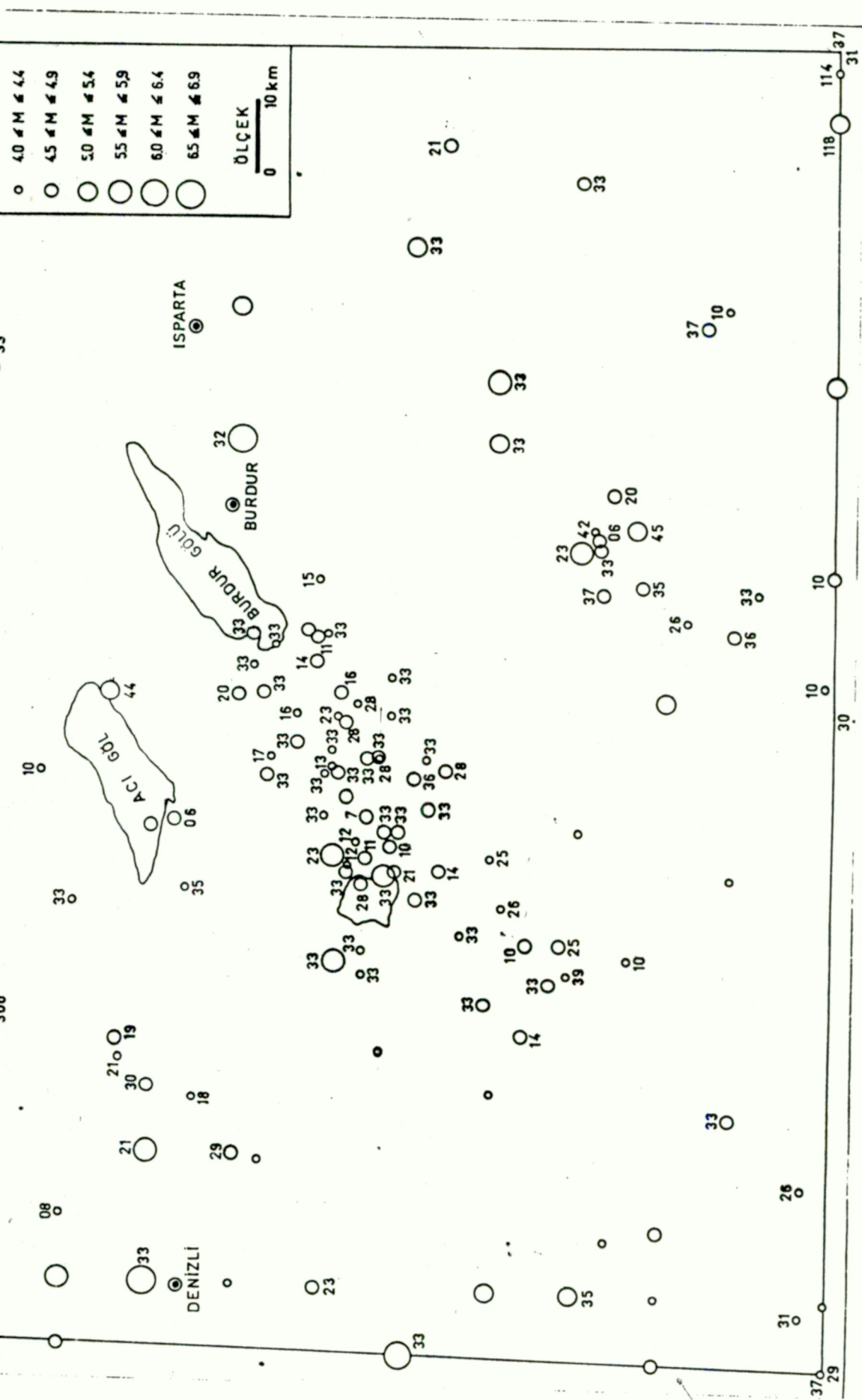
\* 3.10.1914 ve 12.5.1971 Burdur depremlerine ait bilgiler T.C İmar ve İskan Bakanlığı - Afet İşleri Genel Müdürlüğü'nün "Burdur Deprem Raporu "(1971)'ndan alınmıştır.

BURDUR DEPREM BÖLGESİNİN  
JEOLOJİK HARİTASI

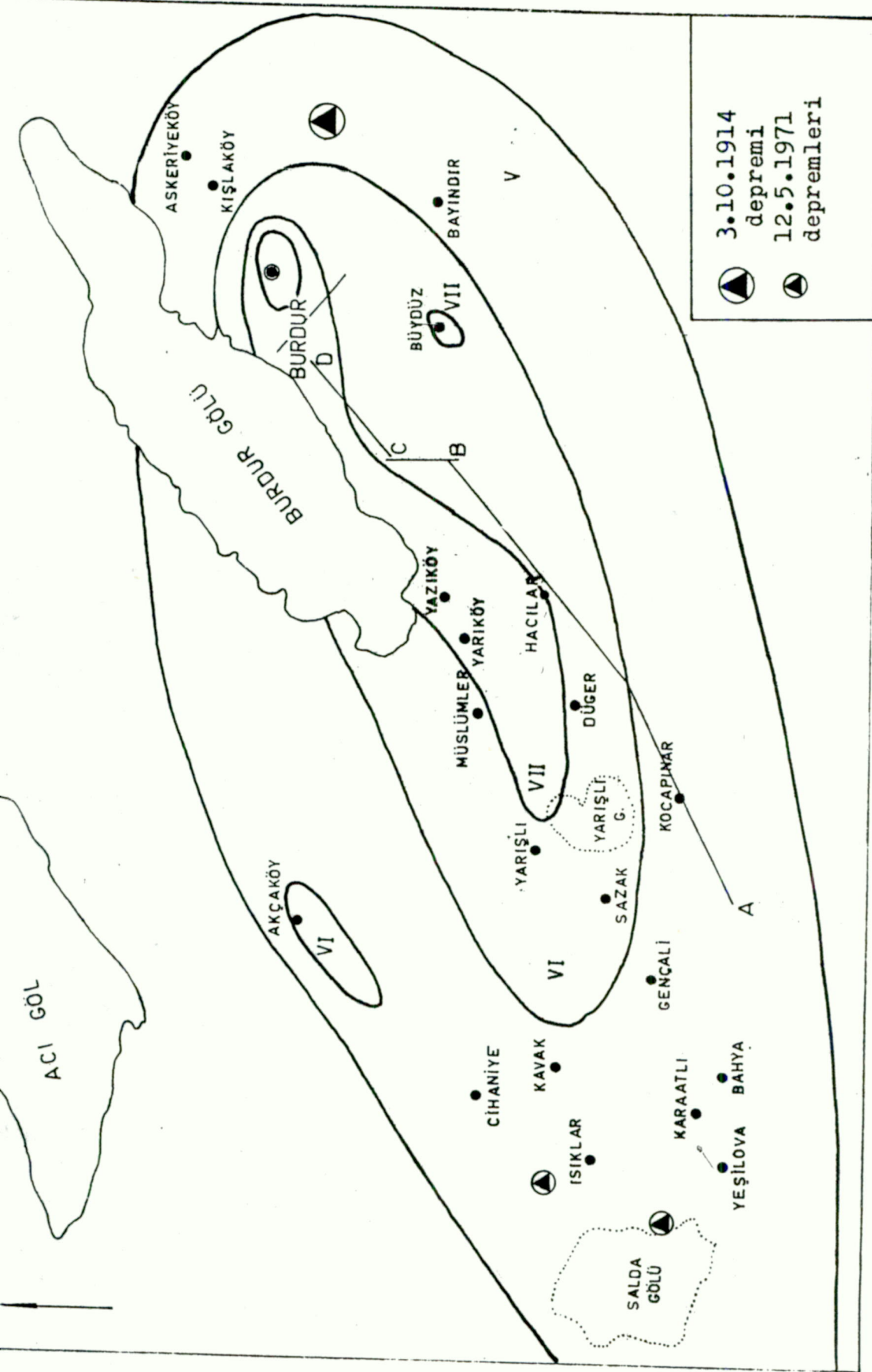
N



**Şekil 3.7** Burdur ve civarının jeolojik haritası.



Burdur civarında 1900 - 1985 yılları arasında oluşmuş depremlerin episentr haritası (Episentr noktaları üzerinde görülen rakamlar odak derinlikleridir).



**Sekil 3.9** Burdur depremi izoseist haritası(12.5.1971).  
(ABCD ile gösterilen kırık hat, 3.10.1914'de oluşmuştur)

12.5.1971 depreminde, ana şok'un meydana getirdiği maksimum şiddet  $I_o = VIII$ (MSK) olarak saptanmıştır. Bu şiddetin kapsadığı alan ise  $a = 1$  km,  $b = 2$  km olan elips şeklinde bir sahadır. Bu sahanın alanı takriben  $6.3 \text{ km}^2$  dir. Maksimum şiddet alanı Burdur ilini kapsamakta, doğu ve kuzeydoğuya gidildikçe şiddet değeri ani olarak ve küçük alanlar içinde azalmaktadır. Batı ve güneybatı yönlerde şiddet dağılımı farklıdır. VII(MSK) şiddetini kapsayan ve kapalı yüzeyi sınırlayan izoseist eğrisi doğuda VIII şiddet alanına yaklaşmakta, batıya doğru ise önce güneybatı yönde ve Hacılar Köyü güneyine, buradan batıya doğru geniş bir kavis çizerek Yarışlı Köyü doğusundan ve açığı Müslümler Köyü güneyinden geçip kuzeydoğuya takriben Burdur gölüne Kavuşmaktadır. Şiddet değerinin, Burdur doğusunda ve kuzeyinde 15-20 km sonra aniden azalarak batı ve güneybatı yönde devam etmesinin nedeni; Hacılar, Yarışlı ve Yazı köylerinin teşkil ettiği alanlardaki Alüvyon zemin ile ilgilidir. Burdur ilinde  $I_o = VIII$  için tesbit edilen maksimum zemin ivmesi:

$$\log a = \frac{I_o}{3} - \frac{1}{2} \quad (3.1)$$

bağıntısından,  $a = 146.8 \text{ cm/sn}^2 \approx 0.15 \text{ g}$  bulunur.

### 3.4 Depremlerde Magnitüd - Frekans İlişkisi

Depremlerin magnitüd - frekans ilişkisi ilk olarak Ishimoto ve Iida(1939) tarafından ortaya konulmuştur. Bu sismologlar, Japonya'nın Kwanto bölgesinde meydana gelen depremlere ait sismogramlardaki maksimum genliklerin frekanslarını incelemişlerdir. Daha sonra Gutenberg ve Richter(1954), tüm dünyada meydana gelmiş büyük depremlerin magnitüd ve frekans dağılımını incelediler. Bunlardan başka, değişik araştıracılar tarafından

muhtelif sahalarda ayrıntılı olarak bölgesel incelemeler yapılmıştır. Belirli bir sahada meydana gelmiş depremlerin magnitüd değerlerinin üstünde olusabilecek depremlerin frekan dağılımı basit bir ilişkiyle gösterilebilir (Richter, 1958).

$$\text{Log}N = a - bM \quad (3.2)$$

Burada  $N$ ,  $M_0$  değerine eşit veya daha büyük magnitüd şoklarının sayısı,  $a$  ve  $b$  ise katsayılardır.  $\text{Log}N$  ifadesi 10 tabanına göredir. Kullanılan  $N$  değeri, frekansların kümülatif sayısıdır.  $a$  katsayısının değeri gözlem periyoduna, gözönüne alınan sahanın büyüklüğüne ve sismik aktivitenin seviyesine bağlıdır.  $b$  katsayısı ise küçükten büyüğe doğru magnitüd gurublarının daki deprem sayılarının oranına bağlıdır.

Depremlerin magnitüd - frekans ilişkilerinin istatistiksel olarak hesaplanmaları Utsu (1965) tarafından ayrıntılı olarak yapılmıştır. Utsu'ya göre  $b$  değeri aşağıdaki şekilde empirik olarak elde edilebilir.

$$b = \frac{0.4343 \cdot m}{M_i - m M_{\min}} \quad (3.3)$$

(3.3) bağıntısındaki  $m$ , toplam deprem sayısıdır.  $M_{\min}$  ise gözönüne alınan enküçük magnitüd değeridir. (3.2) bağıntısındaki  $a$  parametresi, bölgeden bölgeye önemli ölçüde değişir. Yine aynı bağıntıdaki  $b$ 'nin değişimi ise çok degildir.  $b$  katsayısının değerleri genellikle 0.5 - 1.5 arasında değişir. Fakat, bunun çoğu kez 0.7 - 1.0 arasında kaldığı Isacks ve Oliver (1964) tarafından ortaya konulmuştur. Simdiye kadar  $b$  parametresi değişik sismologlar tarafından tetkik edilmiştir. Bunların bazlarına

göre bu parametre sabit ve  $b=b=1$ 'e eşittir. Ancak, araştırmacılar hesaplamalar için farklı veri ve farklı metod kullandıklarında farklı değerler elde etmişlerdir. Buna birlikte birçoğunun düşüncesine göre  $b$  değerleri bölgeden bölgeye, odak derinliğiyle, gerilme şartları ve depremin oluşumundaki kaya hacminin heterojenitesine bağlıdır.

Riznichenko(1950), Bune(1961) ve diğer birkaçı dünya üzerinde Uniform  $b$  değerleri ilişkisini araştırmışlardır. Diğer taraftan Gutenberg ve Richter(1954), Miyamura(1962), Everden(1970) ve diğerleri  $b$ 'nin değerlerindeki bölgesel değişimeyi göstermişler ve bunun muhtemelen tektonik yapıyla ilgili olduğunun üzerinde durmuşlardır. Odak derinliğinin artmasıyla  $b$ 'de bir azalma olduğu Karnik(1969), Papazachos ve diğ(1967), Brazee(1969) ve diğ. tarafından tesbit edilmiştir. Mogi(1962 a, 1967 b), gevrek - kırılabilir bir kayaç numunesini laboratuar'da inceleyerek  $b$  değerlerini tesbit etmiştir. Mogi bu çalışmasında  $b$  değerinin kayaç numunesinin mekanik heterojenitesine bağlı olduğunu ve heterojenitenin artmasıyla arttığını görmüştür. Bu esastan haretle, sıkı depremlere ait  $b$  değerlerinin, yerkabuğunun mekaniksel yapısıyla ilişkili olduğu sonucuna varmıştır. Daha sonra Mogi(1967 b),  $b$  değerlerinin yerkabuğunun yapısına karşı çok duyarlı olamayabileğini, birçok bölgede dar bir alan için  $b$  değerinin 0.6 - 1.0 e düşüğünü ve yerkabuğunun mekanik yapısının bölgeden bölgeye, bazı volkaniklerde ve çokca kırılmış bölgelerde onemli bir şekilde değişebileceğini göstermiştir.

Scholz(1968),  $b$ 'nin kayaç numunesi içerisinde bulunan gerilmenin, kırılma anındaki gerilme yüzdesine bağlı olduğunu gösterdi. Bolgeden bölgeye olan karşılıklı tırmalarda ve  $b$ 'nın tayininde birçok belirsizlikler vardır(Ailen ve diğ, 1965). Depremlerin sayısı ve magnitüd ölçmelerine ait rasgele hatalar aşağı - yukarı aynıdır. Magnitüd ölçmelerindeki belirsizlikler ba-

zen bir birimin birkaç onda biri kadardır. Deprem sayısı ve magnitüdlerdeki bu rasgele hataların sebebi, gözlenmiş verilerin çiziminde noktaların saçılmış olmasıdır. Sistematik hatalar kolaylıkla tesbit edilemezler. Böylece farklı magnitüd ölçeklerinin kullanılması büyük hatalara sebep olur. Geniş bölgelerde sistematik hataların önemli olabilmesi nedeniyle böyle bir bölgeye ait verilerle bir magnitüd ölçüği hazırlamak uygun değildir.

Gutenberg - Richter bağıntısı olarak bilinen (3.2) denklemi geneellikle bütün magnitüd değerleri için doğrusal değildir. Bu nedenle  $\log N$ 'nın doğrusal olduğu bir magnitüd aralığının tannıyanması gereklidir. Alt sınır olan  $M_0$ , gözönüne alınan bölgedeki gürültü seviyesine bağlı olup, gürültü seviyesinin yüksek olması çok duyarlı sismogramların kullanılmasını engeller. Büyük depremlere ait veriler az olduğundan, büyük depremler için bağıntı belirsizdir.

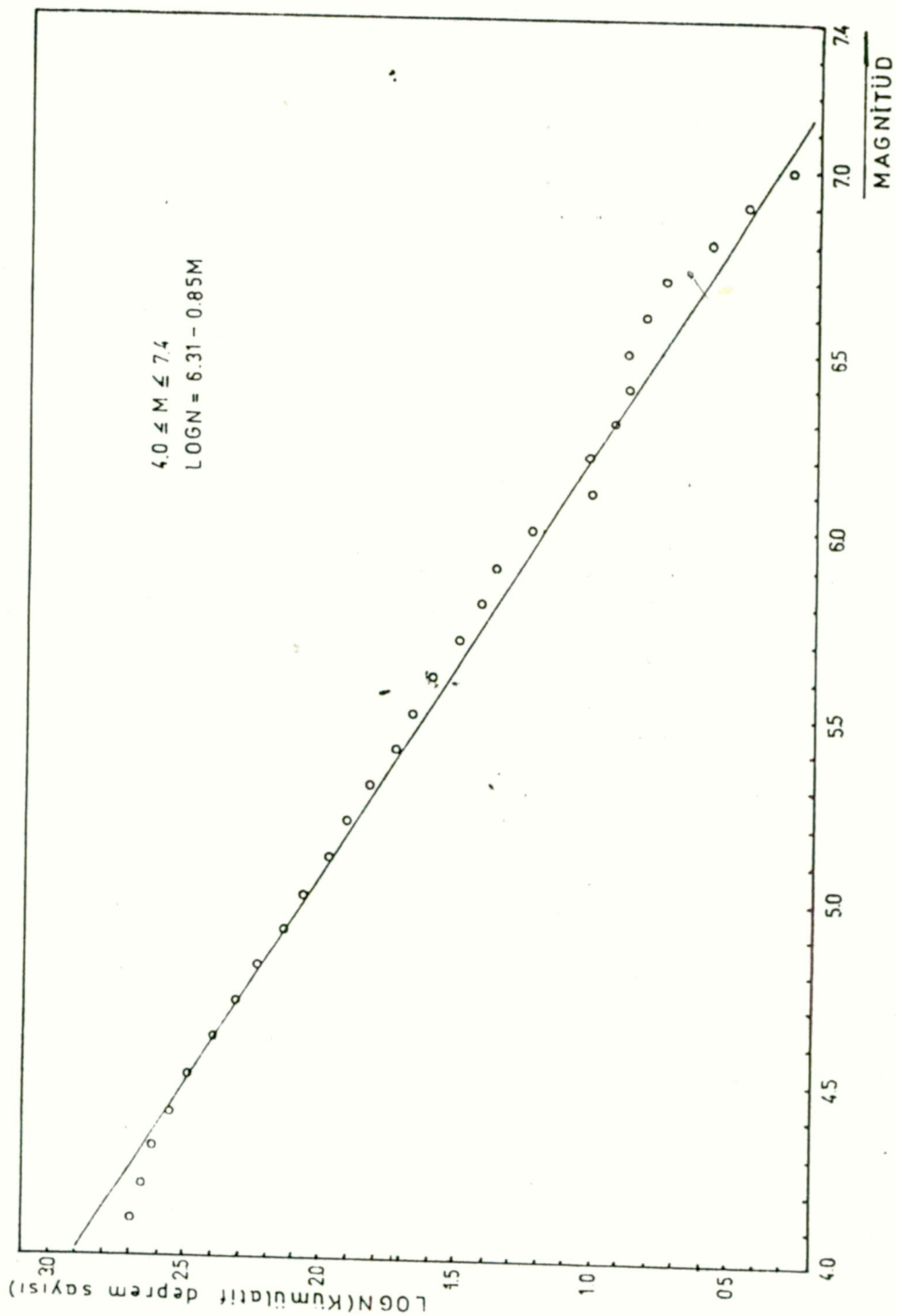
İncelenen bölge için magnitüd alt sınırı  $M_0 = 4.0$ , üst sınır ise  $M_1 = 7.4$  alınmıştır. (3.2) bağıntısındaki parametrelerin değerleri kullanılan magnitüd aralığının büyüklüğüne bağlı olarak değişir.  $\Delta M = 0.1$  alındığında bölge için  $a = 6.31$ , ve  $b = 0.85$  bulunmuştur (Şekil 3.10).  $\Delta M$  aralığı arttığında,  $a$  ve  $b$  değerlerinde bir düşme olduğu ve saçılmalarda azaldığı görülür (Şekil 3.11). Verilerin az olması,  $M = 6.1$  değerinden itibaren önemli ölçüde saçılmalara neden olmuştur (Şekil 3.10 ve 3.12).  $4.0 \leq M \leq 4.9$  aralığındaki olaylar yıkıcı olmayan küçük depremlere dahil olduğundan sismik risk hesabında kullanılmayacaktır. Bu nedenle,  $M \geq 5.0$  olan depremler için ayrı bir magnitüd - frekans ilişkisi tesbit edilmiştir (Şekil 3.12 ve 3.13). Burada,  $a$  ve  $b$  parametrelerinin magnitüd büyüklüğüne bağlı olarak yükseldiği görüldür.

Bölgedeki enerji boşalımı daha ziyade  $M < 5.0$  olan depremlerie olmaktadır. Dolayısıyla enerji boşalımı olayınınince -

TABLO 3.2

Bölgede 1900 - 1985 yılları arasında oluşmuş depremlerin magnitüdlerine göre dağılımı ( $M = 0.1$ )

$\Delta M$	N	Küm.N	Log(Küm.N)	$\Delta M \cdot \log(\text{Küm.N})$	$\Delta M^2$
4.0	26	523	2.718501689	10.87400676	16.00
4.1	39	497	2.696356389	11.05506119	16.81
4.2	36	458	2.660865478	11.17563500	17.64
4.3	56	422	2.625312451	11.28884354	18.49
4.4	55	366	2.563481085	11.27931678	19.36
4.5	54	311	2.492760389	11.21742175	20.25
4.6	45	257	2.409933123	11.08569237	21.16
4.7	36	212	2.326335861	10.93377855	22.09
4.8	33	176	2.245512668	10.77846081	23.04
4.9	22	143	2.155336037	10.56114658	24.01
5.0	22	121	2.082785370	10.41392685	25.00
5.1	14	99	1.995635195	10.17773949	26.01
5.2	17	85	1.929418926	10.03297841	27.04
5.3	12	68	1.832508913	9.71229723	28.09
5.4	8	56	1.748188027	9.44021534	29.16
5.5	7	48	1.681241237	9.24682680	30.25
5.6	8	41	1.612783857	9.03158959	31.36
5.7	6	33	1.518513940	8.65552945	32.49
5.8	3	27	1.431363764	8.30190983	33.64
5.9	6	24	1.380211242	8.14324632	34.81
6.0	7	18	1.255272505	7.53163503	36.00
6.1		11	1.041392685	6.35249537	37.21
6.2	2	11	1.041392685	6.45663464	38.44
6.3	1	9	0.954242509	6.01172780	39.49
6.4		8	0.903089987	5.77977591	40.96
6.5	1	8	0.903089987	5.87008491	42.25
6.6	1	7	0.845098040	5.57764706	43.56
6.7	2	6	0.778151250	5.21361337	44.89
6.8	1	4	0.602059991	4.09400794	46.24
6.9	1	3	0.477121254	3.29213665	47.61
7.0	1	2	0.301029995	2.10720997	49.00
7.1		1			50.41
7.2		1			51.84
7.3		1			53.29
7.4	1	1			54.76



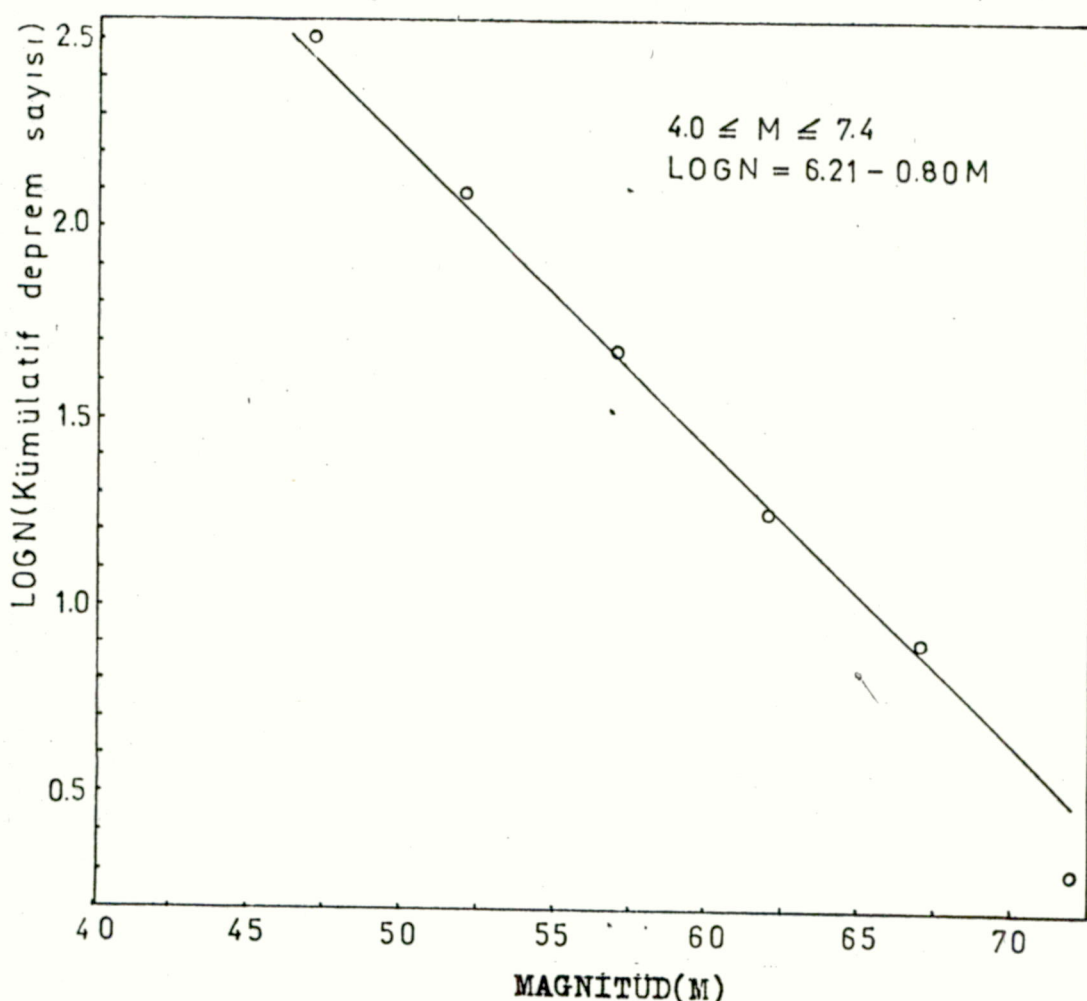
Şekil 3.10 Bölgede 1900 – 1985 yılları arasında oluşmuş depremlerin magnitüd – frekans ilişkisi ( $\Delta M = 0.1$ )

TABLO 3.3

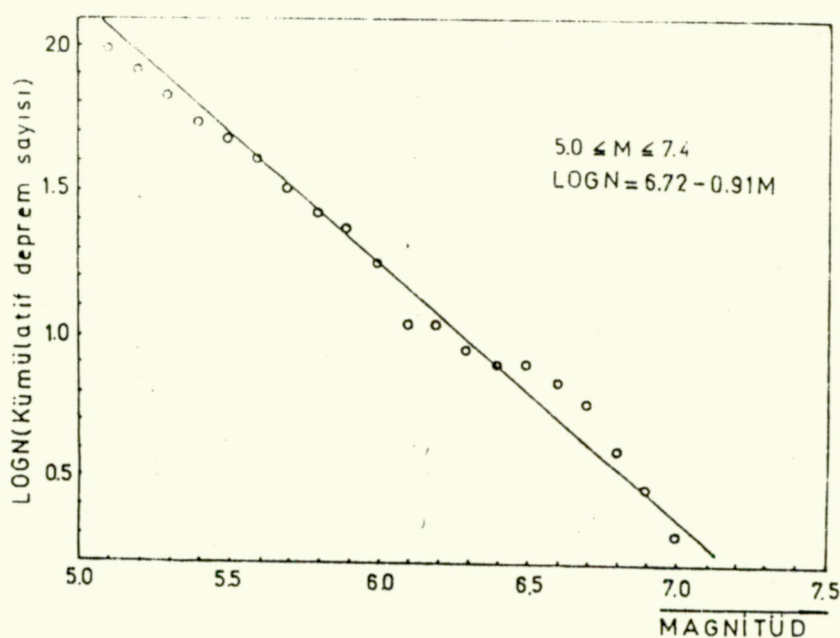
39

Bölgede 1900 - 1985 yılları arasında oluşmuş depremlerin magnitüdlerine göre dağılımı ( $\Delta M = 0.5$ ).

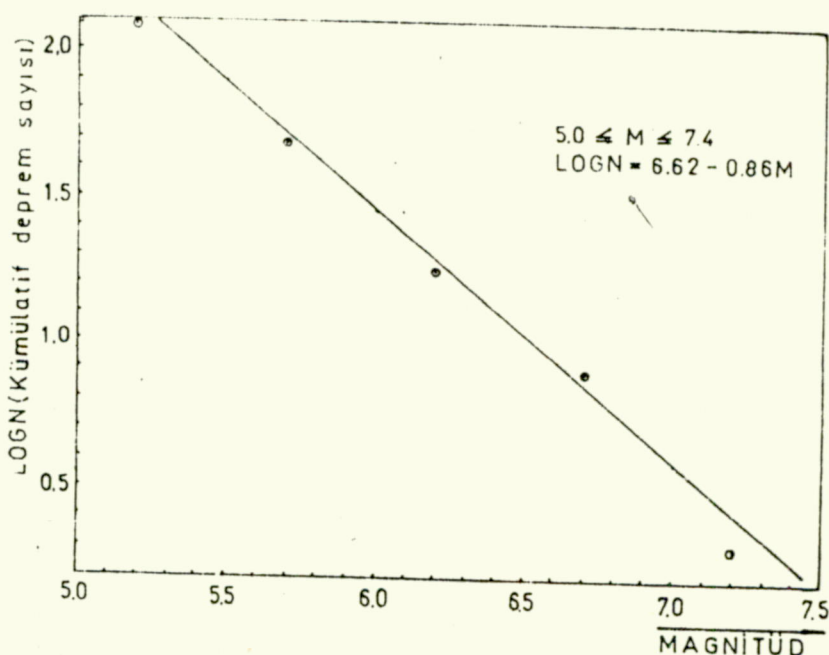
$\Delta M$	$M_{\text{ort}}$	N	Küm.N	$\log(Küm.N)$	$\Delta M \log(Küm.N)$	$M_{\text{ort}}^2$
4.0 - 4.4	4.2	212	523	2.7185016	11.4177070	17.64
4.5 - 4.9	4.7	190	311	2.4927603	11.7159738	22.09
5.0 - 5.4	5.2	73	121	2.0827853	10.8304839	27.04
5.5 - 5.9	5.7	30	48	1.6812412	9.5830750	32.49
6.0 - 6.4	6.2	10	18	1.2552725	7.7826895	38.44
6.5 - 6.9	6.7	6	8	0.9030899	6.0507029	44.89
7.0 - 7.4	7.2	2	2	0.3010299	2.1674159	51.84



Şekil 3.11 Tablo 3.3'de verilen kümülatif frekanslar - dan elde edilen magnitüd frekans ilişkisi.



Sekil 3.12 Bölgede 1900 - 1985 yılları arasında oluşmuş depremlerin magnitüd - frekans ilişkisi(  $M = 0.1$ )



Sekil 3.13 Bölgede 1900 - 1985 yılları arasında oluşmuş depremlerin magnitüd - frekans ilişkisi.

lenmesinde bu depremler önemli olacaktır. Enerji dağılım fonksiyonu Şekil 3.2'de görülen kümülatif deprem sayısıyla aynı karakterde olacağı aşikardır. Bölgede 85 yıl içerisinde oluşan depremlerde enbüyük magnitüd değeri  $M = 7.4$  dür. Bu, büyük Akdeniz depremi olarak bilinmektedir. Şekil 3.10 ve Şekil 3.12 incelendiğinde, tesbit edilen magnitüd - frekans ilişkisinin  $M = 7.4$  değerini temsil etmediği görülür. Fakat, Şekil 3.11 ve Şekil 3.13 dikkate alındığında enbüyük magnitüd değerinin aşıldığı görülür.  $\Delta M = 0.1$  alındığında, Tablo 3.2 den E.K.K.Y ile elde edilen a ve b parametrelerinin oranı mevcut verilerin enbüyük magnitüd değeriyle uyum gösterdiginden bölge için kullanılabilecek olan ve Şekil 3.10'da grafiği görülen;

$$\text{Log}N = 6.31 - 0.85 M \quad (3.4)$$

bağıntısı elde edilmiştir. T peryodu(85 yıl) içerisinde meydana gelen depremlerin magnitüd ortalaması aşağıdaki bağıntıdan hesaplanabilir.

$$\bar{M} = \frac{\sum M_i N_i}{\sum N_i} \quad (3.5)$$

Burada  $M_i$ ,  $M$  değerleri;  $N_i$  ise her  $M$  değerine karşılık olan frekanslardır. (3.5) bağıntısından  $\bar{M} = 4.67$  olarak bulunur. Eğer magnitüd dizisinin ağırlıklı aritmetik ortalaması bulmak istenirse;

$$\bar{M}_{\text{ağ}} = \frac{\sum M_{\text{ort}} N_i w_i}{\sum N_i w_i} \quad (3.6)$$

bağıntısı kullanılır. Buradaki  $w_i$ 'ler, herbir guruba verilen ağırlığı gösterir. (3.6) bağıntısından  $\bar{M}_{\text{ağ}} = 4.99$  bulunur.

## BÖLÜM 4

### DEPREM OLUŞUM MODELLERİ

#### 4.1 Giriş

Depremlerin oluşumu, zaman içinde rasgele(random) ve birbirlerinden bağımsızdır. Yani bir yerde ne zaman ve ne büyüklikte bir deprem olacağını kestirebilmek bugünkü bilgilerimizle çok güçtür. Ancak, geçmişteki olayları veri olarak alıp ileride meydana gelebilecek depremlerin istatistiksel olarak tahmini yapılabilir. Bunun için başlıca iki model kullanılmaktadır. 1) Poisson modeli; 2) Markov modeli. Burada, çalışma bölgemizin özellikleri de gözönüne bulundurularak Poisson modeli kullanılmıştır. Bu model aşağıda kısaca özetlenmektedir.

#### 4.2 Poisson Modeli

Deprem oluşumlarının birbirinden tamamen bağımsız olduğu düşünülsünse, oluş ihtimalinin Poisson dağılımıyla verileceği ortaya konulmuştur. Poisson dağılımında olayların tamamen rastlantı sonucu olduğu, iki veya daha fazla olayın aynı anda gerçekleşme olasılığının sıfır olduğu ve bir oluşumun gerçekleşme olasılığının her bir  $\delta t$  zaman aralığı için aynı olduğu kabul edilir. Buna göre  $\delta t$  zaman aralığında  $M$  magnitüdünden büyük  $n$  tane deprem olma olasılığı;

$$P(n, \delta t) = e^{-\lambda \delta t} (\lambda \delta t)^n / n! \quad (4.1)$$

bağıntısı ile verilir. Burada  $\lambda$ , birim zaman süresinde oluşan deprem sayısıdır. Buna göre depremlerin yıllık sayılarının gerçek dağılımı hesaplanabilir. Bu hesaplama sonucu elde edilen verilerle, teorik poisson dağılımı karşılaştırılabilir.  $\delta t = 1$

TABLO 4.1

43

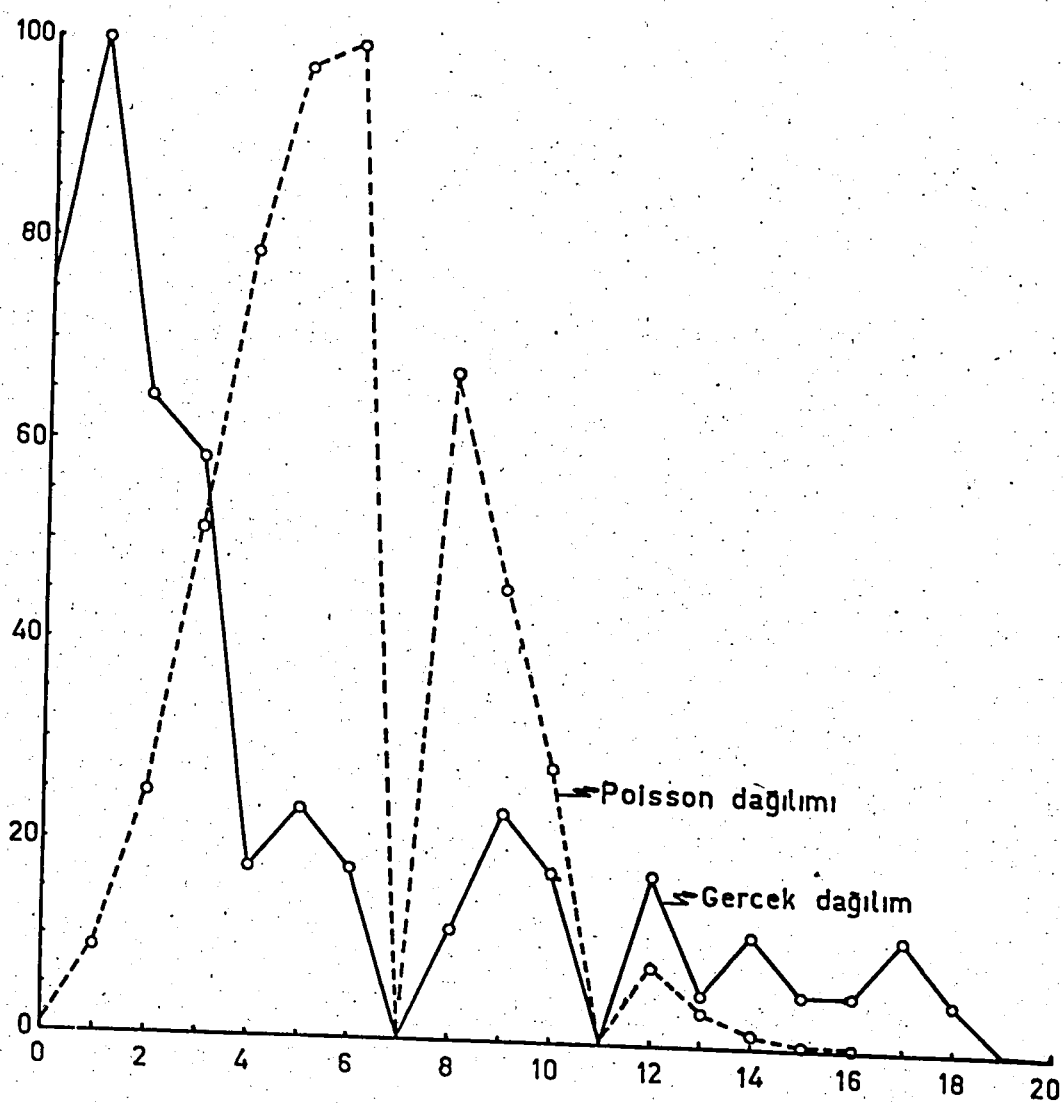
Bölgede 1900- 1985 yılları arasında oluşmuş deprem -  
lerin gerçek ve Poisson dağılımları.

Yıl	olus sayısı	n <sub>r</sub>	Gerçek		Poisson	
			P <sub>r</sub>	%P <sub>r</sub>	P <sub>r</sub>	%P <sub>r</sub>
1900	1	0	0.152	0.760	0.0021	0.013
1901	-	1	0.200	1.000	0.0130	0.081
1902	1	2	0.129	0.645	0.0402	0.250
1903	1	3	0.117	0.585	0.0827	0.515
1904	1	4	0.035	0.175	0.1271	0.792
1905	-	5	0.047	0.235	0.1564	0.975
1906	2	6	0.035	0.175	0.1603	1.000
1907	-	7	-	-	-	-
1908	-	8	0.023	0.115	0.1082	0.674
1909	-	9	0.047	0.235	0.0739	0.461
1910	1	10	0.035	0.175	0.0455	0.283
1911	1	11	-	-	-	-
1912	-	12	0.035	0.175	0.0130	0.081
1913	-	13	0.011	0.055	0.0061	0.038
1914	17	14	0.023	0.115	0.0027	0.016
1915	-	15	0.011	0.055	0.0011	0.006
1916	-	16	0.011	0.055	0.0004	0.003
1917	1	17	0.023	0.115	0.0001	0.000
1918	4	18	0.011	0.055	0.0000	-
1919	3	19	-	-	-	-
1920	6	20	0.011	0.055	-	-
1921	2	21	-	-	-	-
1922	6	22	-	-	-	-
1923	1	23	-	-	-	-
1924	2	24	-	-	-	-
1925	22	25	0.011	0.055	-	-
1926	9	26	-	-	-	-
1927	3	27	-	-	-	-
1928	3	28	-	-	-	-
1929	3	29	-	-	-	-
1930	1	30	-	-	-	-
1931	5	31	-	-	-	-
1932	1	32	-	-	-	-
1933	4	33	-	-	-	-
1934	3	34	-	-	-	-
1935	-	35	-	-	-	-
1936	5	36	-	-	-	-
1937	1	37	-	-	-	-
1938	2	38	-	-	-	-
1939	3	39	-	-	-	-
1940	1	40	-	-	-	-
1941	9	41	-	-	-	-

TABLO 4.1

(Devamı)

Yıl	olus sayısı	r	n <sub>r</sub>	Gerçek		Poisson	
				P <sub>r</sub>	%P <sub>r</sub>	P <sub>r</sub>	%P <sub>r</sub>
1942	1	42	-	-	-	-	-
1943	5	43	-	-	-	-	-
1944	-	44	-	-	-	-	-
1945	1	45	-	-	-	-	-
1946	2	46	-	-	-	-	-
1947	2	47	-	-	-	-	-
1948	3	48	-	-	-	-	-
1949	1	49	-	-	-	-	-
1950	2	50	-	-	-	-	-
1951	2	51	-	-	-	-	-
1952	1	52	-	-	-	-	-
1953	2	53	-	-	-	-	-
1954	1	54	-	-	-	-	-
1955	-	55	-	-	-	-	-
1956	2	56	-	-	-	-	-
1957	6	57	-	-	-	-	-
1958	3	58	-	-	-	-	-
1959	16	59	-	-	-	-	-
1960	20	60	-	-	-	-	-
1961	3	61	-	-	-	-	-
1962	-	62	-	-	-	-	-
1963	9	63	-	-	-	-	-
1964	8	64	-	-	-	-	-
1965	10	65	-	-	-	-	-
1966	12	66	-	-	-	-	-
1967	12	67	-	-	-	-	-
1968	3	68	-	-	-	-	-
1969	18	69	-	-	-	-	-
1970	45	70	1	0.011	0.055	-	-
1971	77	71	1	0.011	0.055	-	-
1972	4	72	-	-	-	-	-
1973	14	73	-	-	-	-	-
1974	8	74	-	-	-	-	-
1975	9	75	-	-	-	-	-
1976	13	76	-	-	-	-	-
1977	17	77	-	-	-	-	-
1978	12	78	-	-	-	-	-
1979	15	79	-	-	-	-	-
1980	10	80	-	-	-	-	-
1981	10	81	-	-	-	-	-
1982	5	82	-	-	-	-	-
1983	2	83	-	-	-	-	-
1984	14	84	-	-	-	-	-



Şekil 4.1 Bölgede 1900 - 1985 yılları arasında oluşmuş depremlerin Tablo 4.1'e göre çizilen gerçek ve Poisson dağılımları.

için Poisson dağılımını;

$$P(n, l) = e^{-\lambda} (\lambda)^n / n! \quad (4.2)$$

şeklini alır. Gerçek dağılım ise,

$$P(n) = n_i / \sum n_i \quad (4.3)$$

ile verilir. Buradaki  $n_i$ ,  $i$  sayıdaki depremin yıllık oluşumu - dur. İnceleme bölgesinde  $T$  zaman peryodu(85yıl) içerisinde o - luşmuş depremlerin zaman dağılımları Tablo 4.1'de verilmiştir. Bu verilerin gerçek ve Poisson dağılımları Şekil 4.1'de görüldüğü gibidir.

Poisson modelinde, deprem oluşumlarının birbirinden bağımsız olduğu yukarıda belirtildi. Gerçekte ise enerji yavaş yavaş yavaş yığıılır ve aniden boşalır. Oncu veya artçı şokların ana şok'tan bağımsız olduğu düşünülemez. Bunun yanısıra büyük depremlerin zaman dağılımları birbirinden bağımsız sayılabilir. Bu nedenle, Poisson modelinin büyük depremler için geçerli olduğu, fakat küçük lokal alanlar gözönüne alındığında verilerin azlığı dolayısıyla Poisson modeline uymadıkları görülür(Knopoff, 1964). Deprem oluşumları periyodik kuvvetlerin etkisinde olmayıp, gelişigüzel olarak ortaya çıkarlar. Dolayısıyle, zaman ekseni boyunca herhangi bir  $\delta t$  aralığı için bir oluşum gerçekleşme olasılığı tamamen aynı değildir.

#### 4.3 Sismik Risk

Sismik Risk çalışmalarının esas amacı, geçmiş depremlerin coğrafi dağılımları ile jeolojik ve tektonik birliklerin incelenerek yeni kurulacak yerleşim alanları etrafında tehlike yaratabilecek deprem kaynaklarının saptanmasıdır. Bunun için;

- Deprem kaynağı olabilecek sismo - tektonik yörelerin tayini,
- Kaynak türlerinin belirlenmesi,
- Her sismo - tektonik bölgenin sismik aktivite tarih - çesinin belirlenmesi,
- Bir depremin episentrindaki yer ivmesinin, yerleşim alanının bulunduğu yere gelinceye kadar kaybedeceği değerin saptanması,
- Yerleşim alanı ve civarının jeolojik karakteri, tesbit edilmelidir. Bu çalışma alanı içerisinde giren kaynaklar - rın farklı türde ve dağınık olması nedeniyle önce tüm bölge iç - cin genel bir hesaplama yapılacak, daha sonraki aşamada çeşitli kaynak türleri inceleneciktir.

Depremlerin zaman dağılımları (4.1) bağıntısına göre  $e^{-\lambda t}$  gibi negatif üstel bir ifadeyle gösterilebilir. Depremlerin normal ve kümülatif frekanslarından hesaplanan bağıntılar - dan, "sismik risk" hesabında yararlanılabilir. Bölüm 3'de verilen ve Gutenberg - Richter bağıntısı olarak bilinen;

$$\text{Log}N = a - bM$$

ifadesi,

$$N(M) = 10^{a - bM} \quad (4.4)$$

Şeklinde yazılabilir. Bunun, incelenen zaman peryoduna(T) bö - lünmesiyle;

$$N(M)/T = 10^{a - bM}/T \quad (4.5)$$

elde edilir. Bu ifadenin her iki tarafının logaritması alınır - sa,

$$\text{Log}(N(M)/T) = a - bM - \text{Log}T \quad (4.6)$$

olur. Buradan,

$$N(M) = 10^{a - bM - \log T} \quad (4.7)$$

bulunur. Bu son bağıntıda,  $a_1 = a - \log T$  yazılırsa,

$$N(M) = 10^{a_1 - bM} \quad (4.8)$$

Şeklini alır. Buradan bulunan  $N(M)$  değeri  $M_0$  değerinden büyük veya ona eşit olan depremlerin yıllık ortalama oluş sayısıdır. Depremlerin negatif üstel olan bu zaman dağılımlarının 1'den olan farkı sismik riski verecektir.

$$R = 1 - e^{-N(M)T} \quad (4.9)$$

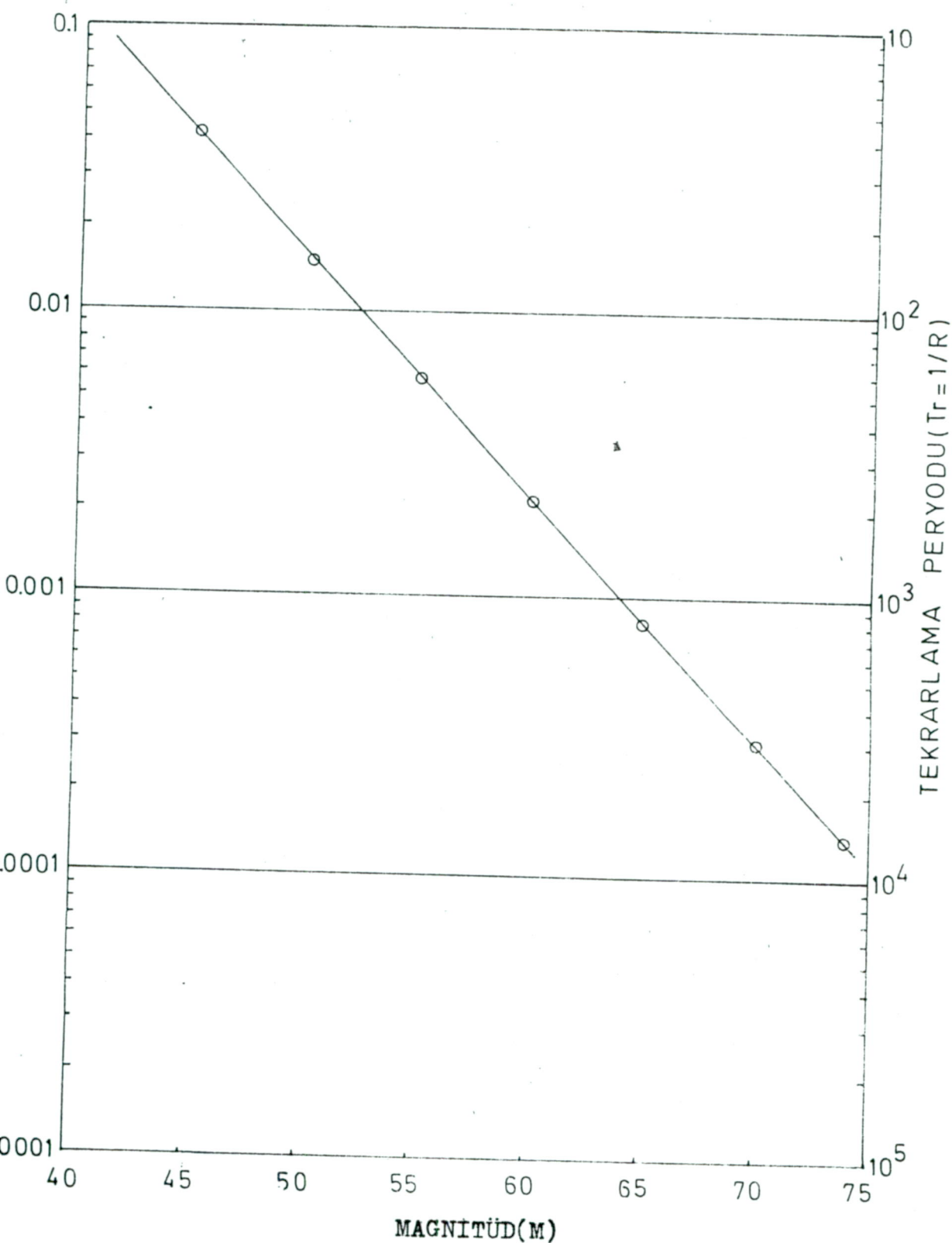
Çalışma bölgemiz için elde edilen ve Şekil 3.10'de verilen a ve b parametreleri kullanıldığında,  $a_1 = 4.38$  bulunur. (4.8) bağıntısındaki  $M$ 'nin değişik değerleri için elde edilen  $N(M)$  ve % risk hesaplamaları Tablo 4.2'de verilmiştir. (4.9) bağıntısında herbir magnitüd değeri için yıllık ortalama deprem sayısı ve T değerleri kullanılarak hesaplanan ve Tablo 4.2'de sunulan verilerin grafiği Şekil 4.2'de görülmektedir. (4.8) bağıntısından elde edilen  $N(M)$  değeri T zaman peryodu içindir. Hesaplamalarda bunun yıllık değere indirgenmesi gereklidir. Burada hesaplanan % sismik risk değerleri, kaynak türü ayırmaksızın böğenin tümünü kapsamaktadır. Bölgedeki değişik kaynak turierini tek tek ele alıp incelemeden önce genel bir yorum için "Gumbel extrem değerler metodu"na kısaca değinilecektir.

TABLO 4.2

Bölgelerde 1900 - 1985 yılları arasında oluşan depremlerden tablo(3.2) e göre hesaplanan  $a$  ve  $b$  parametreleri kullanılarak saptanan % risk değerleri.

M	N(M)	% Risk										$T_r$
		Zaman(Yıl)										
		10	20	30	40	50	60	70	80	90	100	
4.0	0.11235	67.48	89.42	96.56	98.88	99.63	99.88	99.96	100.00	100.00	100.00	8.9
4.1	0.09238	60.29	84.23	93.74	97.51	99.01	99.60	99.84	99.93	100.00	100.00	10.8
4.2	0.07596	53.21	78.11	89.76	95.20	97.75	98.95	99.50	99.77	99.89	99.94	13.1
4.3	0.06245	46.44	71.32	84.64	91.77	95.59	97.64	98.73	99.32	99.63	99.80	16.0
4.4	0.05135	40.16	64.19	78.57	87.17	92.32	95.40	97.25	98.35	99.01	99.41	19.4
4.5	0.04222	34.43	57.01	71.82	81.52	87.88	92.05	94.79	96.58	97.76	98.53	23.6
4.6	0.03472	29.33	50.06	64.71	75.06	82.37	87.54	91.19	93.78	95.60	96.89	28.8
4.7	0.02854	24.82	43.49	57.52	68.06	75.99	81.95	86.43	89.80	92.33	94.23	35.0
4.8	0.02347	20.91	37.46	50.54	60.89	69.07	75.54	80.65	84.70	87.90	90.43	42.6
4.9	0.01930	17.55	32.02	43.95	53.79	61.90	68.58	74.10	78.64	82.39	85.48	51.8
5.0	0.01587	14.67	27.19	37.87	46.99	54.77	61.41	67.07	71.90	76.02	79.54	63.0
5.1	0.01305	12.23	22.97	32.39	40.66	47.92	54.29	59.88	64.79	69.10	72.88	76.6
5.2	0.01072	10.16	19.29	27.50	34.87	41.49	47.43	52.78	57.58	61.89	65.76	93.2
5.3	0.00822	7.89	15.15	21.85	28.02	33.70	38.93	43.75	48.19	52.27	56.04	121.6
5.4	0.00725	6.99	13.49	19.54	25.17	30.40	35.27	39.80	44.01	47.92	51.56	137.9
5.5	0.00596	5.78	11.23	16.37	21.21	25.76	30.06	34.11	37.92	41.51	44.89	167.7
5.6	0.00490	4.78	9.33	13.67	17.79	21.72	25.47	29.03	32.42	35.66	38.73	204.0
5.7	0.00403	3.94	7.74	11.38	14.88	18.24	21.47	24.58	27.55	30.42	33.16	248.1
5.8	0.00331	3.25	6.40	9.45	12.40	15.25	18.01	20.68	23.26	25.76	28.17	302.1
5.9	0.00272	2.68	5.29	7.80	10.30	12.71	15.05	17.33	19.55	21.71	23.81	367.6
6.0	0.00224	2.21	4.38	6.49	8.57	10.59	12.57	14.51	16.40	18.25	20.06	446.4
6.1	0.00184	1.82	3.61	5.37	7.09	8.78	10.45	12.08	13.68	15.26	16.80	543.4
6.2	0.00151	1.49	2.97	4.42	5.86	7.27	8.66	10.03	11.37	12.70	14.01	662,2
6.3	0.00124	1.23	2.44	3.65	4.83	6.01	7.16	8.31	9.44	10.55	11.66	806.4
6.4	0.00102	1.01	2.01	3.01	3.99	4.97	5.93	6.89	7.83	8.77	9.69	980,3
6.5	0.00084	0.83	1.66	2.48	3.30	4.11	4.91	5.71	6.49	7.28	8.05	1190.4
6.6	0.00069	0.68	1.37	2.04	2.72	3.39	4.05	4.71	5.37	6.02	6.66	1449.2
6.7	0.00056	0.55	1.11	1.66	2.21	2.76	3.30	3.84	4.38	4.91	5.44	1785.7
6.8	0.00046	0.45	0.91	1.37	1.82	2.27	2.72	3.16	3.61	4.05	4.49	2173.9
6.9	0.00038	0.37	0.75	1.13	1.50	1.88	2.25	2.62	2.99	3.36	3.72	2631.5
7.0	0.00031	0.30	0.61	0.92	1.23	1.53	1.84	2.14	2.44	2.75	3.05	3225.8
7.1	0.00026	0.25	0.51	0.77	1.03	1.29	1.54	1.80	2.05	2.31	2.56	3846.1
7.2	0.00021	0.20	0.41	0.62	0.83	1.04	1.25	1.45	1.66	1.87	2.07	4761.9
7.3	0.00017	0.16	0.33	0.50	0.67	0.84	1.01	1.18	1.35	1.51	1.68	5882.3
7.4	0.00014	0.13	0.27	0.41	0.55	0.69	0.83	0.97	1.11	1.25	1.39	7142.8





Şekil 4.2 Yıllık ortalama deprem sayısına göre magnitüd - yıllık risk ilişkisi.

#### 4.3.1 Gumbel Extrem Değerler Metodu

Metodun esası, yıllık maksimum deprem magnitüdlerinin kullanılmasına dayanır. İncelenen zaman periyodu aralığında yıllık maksimum deprem magnitüdlerinin kümülatif dağılımından elde edilen regresyon katsayılarına göre Gumbel bağıntısı şu şekilde tanımlanmıştır.

$$G(M) = e^{-\alpha e^{-\beta M}} \quad (4.10)$$

Buradaki  $\alpha$  ve  $\beta$  ile Gutenberg - Richter tarafından verilen (3.2) bağıntısındaki  $a$  ve  $b$  parametreleri arasındaki ilişkiler aşağıda verilmiştir:

$$\alpha = 10^a \quad (4.11)$$

$$\beta = b/\log e \quad (4.12)$$

$$a = \log \alpha \quad (4.13)$$

$$b = \beta \log e \quad (4.14)$$

$N$ , magnitüdü  $M$  veya daha büyük olan depremlerin yıllık sayısı olmak üzere, Gumbel ve Gutenberg - Richter bağıntısı arasında;

$$N = \alpha e^{-\beta M} = -\ln G \quad (4.15)$$

bağıntısı mevcuttur.  $T = 1$  yıl yerine, incelenen periyod aralığında kendilerini  $T_r$  yılda tekrarlayan depremler için yapılrsa (4.15) bağıntısı aşağıdaki şekli olacaktır:

$$N = T_r \alpha e^{-\beta M} \quad (4.16)$$

$$N = -\ln G = -\ln(e^{-\alpha Tr} e^{-\beta M}) \quad (4.17)$$

Yıllık risk ise Gumbel dağılımının 1'den olan farkıdır.

$$R = 1 - G = 1 - e^{-\alpha e^{-\beta M}} \quad (4.18)$$

Yıllık riskin tersi, depremin tekrarlama peryodunu(Tr) verir. Yani  $Tr = 1/R$  dir. Eğer yıllık riskin değeri biliniyorsa, bu riske tekabül eden manyitüd değeri;

$$M = \frac{1}{\beta} \ln\left(\frac{\alpha}{-\ln(1-R)}\right) \quad (4.19)$$

bağıntısından bulunabilir. Ekonomik ömrü Te yıl olan bir yapı-nın ömrü süresince meydana gelebilecek M magnitüdü veya daha büyük depremlerin meydana gelme ihtimalini veren;

$$R = 1 - e^{-\alpha Te} e^{-\beta M} \quad (4.20)$$

bağıntısında,  $e^{\beta M} = \alpha Tr$  konursa, yıllık risk değeri ile yapı-nın ekonomik ömrü ve maksimum olusabilecek depremin tekrarlama peryodu arasında;

$$R = 1 - e^{-Te/Tr} \quad (4.21)$$

bağıntısı bulunur.(4.21) bağıntısında,  $1/Tr = R_1$  konulursa, Te yıl ekonomik ömrür için Re riski,

$$Re = 1 - e^{-TeR_1} \quad (4.22)$$

olarak yazılır. Yapı ekonomik ömrü biliniyorken, tekrarlama peryodu  $T_r$ , (4.21) bagıntısına göre;

$$T_r = \frac{-T_e}{\ln(1 + R_1)} \quad (4.23)$$

Şeklinde ifade edilir.

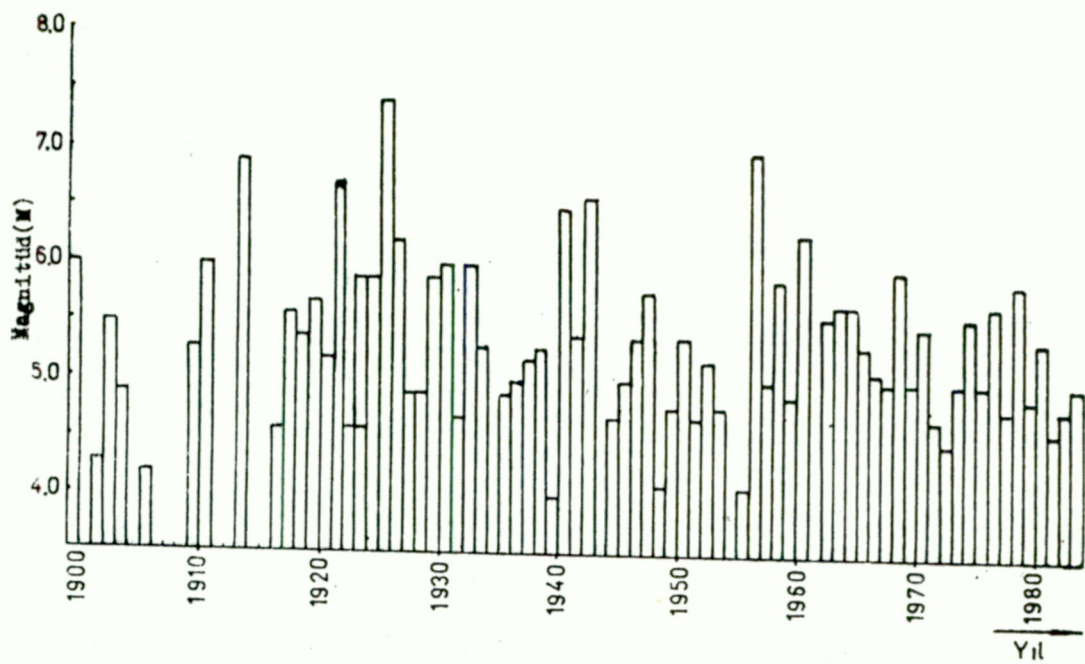
Extrem(uç) değerler metodunun bazı pratik üstünlükleriyle söyle sıralanabilir: 1) Jeofiziksel bir değişkenin uç değerleri daha iyi bilinirler ve verilen zaman yeryodundaki ortala - ma olaylardan daha doğru olarak saptanabilirler. 2) Bu yöntem, ana dağılım hakkında ayrıntılı bilgi gerektirmez. 3) Kullanılı - ması basit ve çok az sayıda varsayımlı kapsadığından belirsiz - likleri tartışmak oldukça kolaydır.

Bunun yanısıra yöntemin bazı sakıncaları da vardır. Verilerin geçerli olduğu aralığın dışına çıkmak bu yöntemin ba - şarısızlığına yol açabilir. Jeofiziksel değişkenler, sismik et - kinlikteki dalgalanmalar yüzyıllar boyunca(uzun sürede) farke - dilebilecek değişimelere maruz kalırlar.

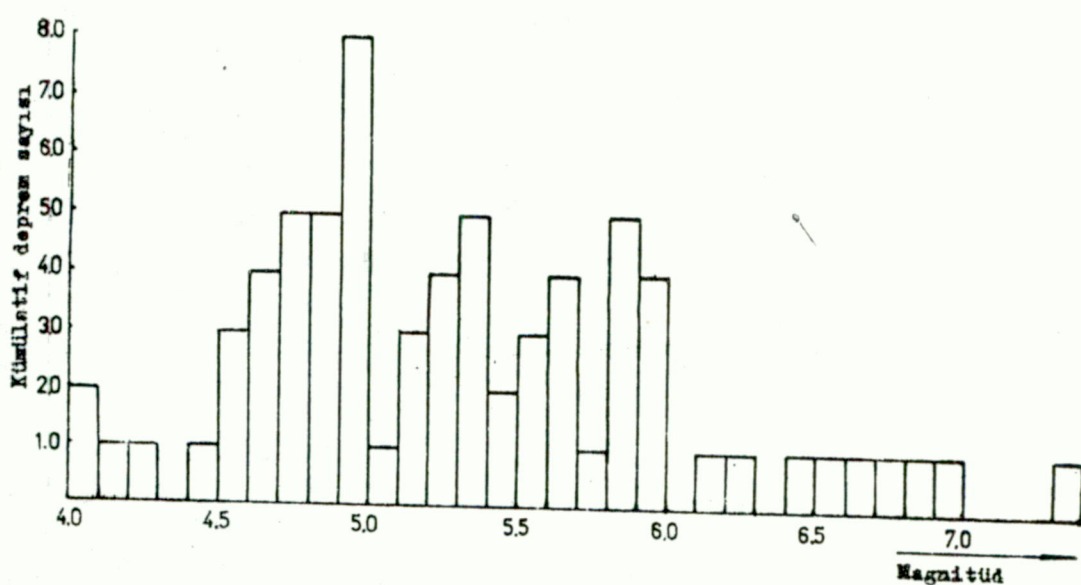
Extrem değerler metodu, deprem riski hesaplamalarında kullanılarak başarılı sonuçlar vermiştir. Lomnitz ve Epstein (1966), bu yöntemi uygulayarak Kaliforniya'nın deprem riskini hesaplamışlardır.

#### 4.3.2 Extrem Değerler Yönteminin Bölgeye Uygulanışı

Extrem(uç) değerler yönteminin uygulanışında yıllık maksimum magnitüd değerleri kullanıldığından, veri bulunmayan yıllar için  $M = 4.0$  alınmıştır. T peryodu(85 yıl) içerisinde oluşmuş depremlerin yıllık maksimum magnitüd dağılımı Şekil 4.3'de görülüyor. Kümülatif deprem dağılımı histogramında(Şe - kil 4.4), büyük magnitüdlü depremlerin fazla olmadığı, yüksıl -



**Şekil 4.3** Bölgede 1900 – 1985 yılları arasında oluşmuş depremlerin Gumbel'e göre maksimum magnitüd dağılımı.



**Şekil 4.4** Bölgede 1900 – 1985 yılları arasında oluşmuş depremlerin Gumbel'e göre kümülatif dağılımı.

manın daha çok  $4.5 \leq M \leq 6.0$  aralığında toplandığı görülür. Maksimum magnitüdler için magnitüd - frekans ilişkisinin hesaplaması şekli Tablo 4.3'de verilmiştir. Bu Tablo'daki verilere en küçük kareler yöntemi uygulanarak,  $a = 3.16$  ve  $b = 0.67$  olarak saptanmıştır. Bu değerlere göre, bölge için magnitüd - frekans ilişkisi;

$$\text{Log}N = 3.16 - 0.67M \quad (4.24)$$

şeklinde olup, maksimum magnitüd dağılımına göre bölgenin magnitüd - frekans ilişkisi Şekil 4.5'de görülmektedir. (4.11) ve (4.12) bağıntılarına göre;  $\alpha = 1445.4$  ve  $\beta = 1.55$  bulunur. Daha sonra (4.15) bağıntısı kullanılarak yıllık beklenen deprem sayısı( $N$ ) bulunmuş ve ortalama geri dönüş periyodu;

$$Tr = 1/N \quad (4.25)$$

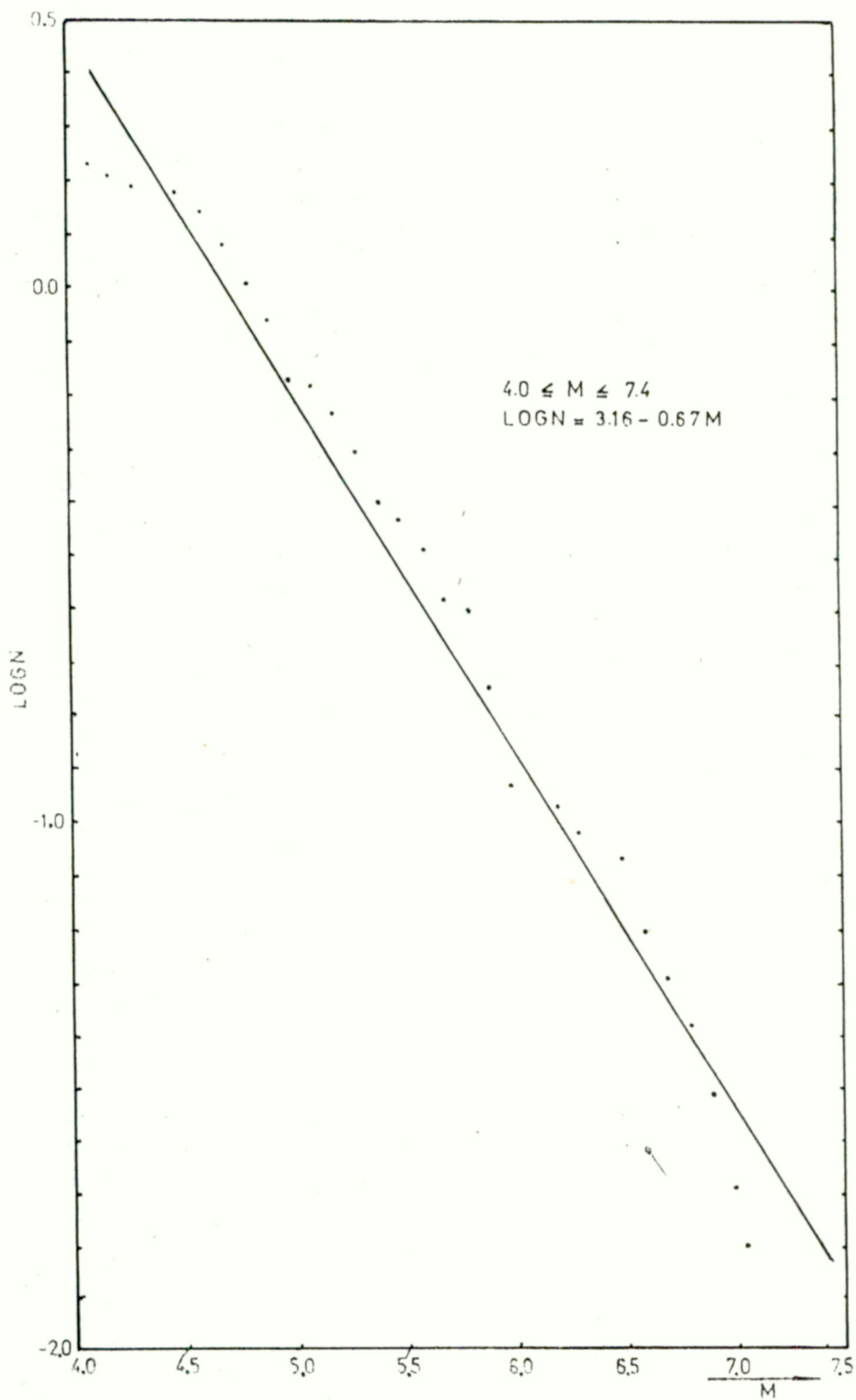
bağıntısından hesaplanmıştır. (4.17) bağıntısındaki  $Tr$ , (4.18) bağıntısında yerine konularak değişik  $Tr$  peryodlarına karşılık gelen % risk değerleri saptanarak Tablo 4.4'de verilmiştir. Yıllık sismik risk ise Gumbel dağılımının 1'den olan farkıdır. (4.18) bağıntısını kullanarak hesaplanan yıllık sismik risk değerleri Tablo 4.5'de verilmiştir. Gumbel dağılımına göre hesaplanan yıllık sismik riskin magnitüdle olan ilişkisi Şekil 4.6'da görülmektedir.

Magnitüd - Risk ilişkisi, artan magnitüd değerleriyle yaklaşık doğrusal olarak azalan yıllık riskin,  $M = 8.5$  değerinde sıfır olmadığı görülür. Veri bulunmayan yılların, incelenen zaman peryoduna oranla fazla olması,  $N/T$  oranına bağlı olarak  $G(M)$  dağılıminin hataya neden olmuştur. Bu nedenle olu-

TABLO 4.3

Bölgede 1900 - 1985 yılları arasında oluşmuş depremlerin maksimum magnitüdlerine göre dağılımı ve Magnitüd - Frekans ilişkisindeki parametrelerin E.K.K.Y. ile hesaplanması.

$\Delta M$	N	N/T	G(m)	N = -LnG	Log N	$\Delta M \log N$	$\Delta M^2$
4.0	14	0.16	0.16	1.8325	0.263	1.052	16.00
4.1	2	0.02	0.18	1.7147	0.234	0.959	16.81
4.2	1	0.01	0.19	1.6607	0.220	0.924	17.64
4.3	1	0.01	0.21	1.5606	0.193	0.830	18.49
4.5	1	0.01	0.22	1.5141	0.180	0.810	20.25
4.6	3	0.03	0.25	1.3862	0.141	0.648	21.16
4.7	4	0.04	0.30	1.2039	0.080	0.376	22.09
4.8	5	0.05	0.36	1.0216	0.009	0.043	23.04
4.9	5	0.05	0.42	0.8675	-0.061	-0.299	24.01
5.0	8	0.09	0.51	0.6733	-0.171	-0.855	25.00
5.1	1	0.01	0.52	0.6539	-0.184	-0.938	26.01
5.2	3	0.03	0.56	0.5798	-0.236	-1.227	27.04
5.3	4	0.04	0.61	0.4942	-0.306	-1.622	28.09
5.4	5	0.05	0.67	0.4004	-0.397	-2.144	29.16
5.5	2	0.02	0.69	0.3710	-0.430	-2.365	30.25
5.6	3	0.03	0.72	0.3285	-0.483	-2.705	31.36
5.7	4	0.04	0.77	0.2613	-0.582	-3.317	32.49
5.8	1	0.01	0.78	0.2484	-0.604	-3.503	33.64
5.9	5	0.05	0.84	0.1743	-0.758	-4.472	34.81
6.0	4	0.04	0.89	0.1165	-0.933	-5.599	36.00
6.2	1	0.01	0.90	0.1053	-0.977	-6.057	38.44
6.3	1	0.01	0.91	0.0943	-1.025	-6.457	39.49
6.5	1	0.01	0.92	0.0833	-1.079	-7.013	42.25
6.6	1	0.01	0.94	0.0618	-1.209	-7.979	43.56
6.7	1	0.01	0.95	0.0512	-1.290	-8.643	44.89
6.8	1	0.01	0.96	0.0408	-1.389	-9.445	46.24
6.9	1	0.01	0.97	0.0304	-1.517	-10.467	47.61
7.0	1	0.01	0.98	0.0202	-1.694	-11.858	49.00
7.4	1	0.01	0.99	0.0100	-2.000	-14.800	54.76



Şekil 4.5 Maksimum magnitüd dağılımına göre bölgenin magnitüd - frekans ilişkisi.

TABLO 4.4

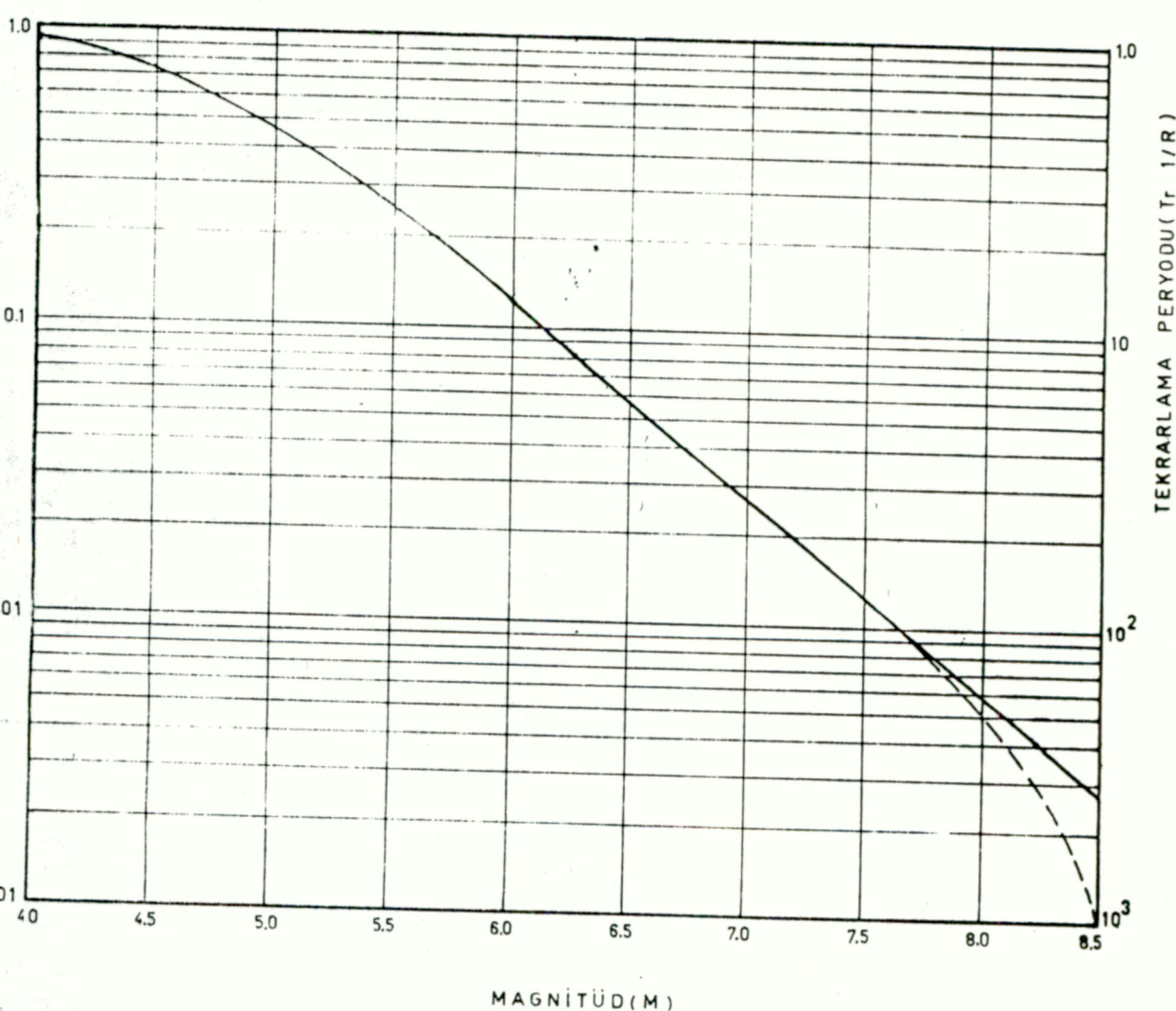
Bölgede 1900 - 1985 yılları arasında oluşan depremlerin naksınum magnitüd dağılımından saptanınca ve b değerleri kullanılarak hesaplanan sisimli risk değerleri.

Yillik beklenen M deprem sayisi		% Risk( Yillara göre)									
		10	20	30	40	50	60	70	80	90	100
4.0	2.9333	0.34	100.00								
4.5	1.3514	0.73	99.99								
5.0	0.6225	1.60	99.80	99.99							
5.5	0.2868	3.48	94.32	99.67	99.98	99.99					
6.0	0.1321	7.56	73.32	92.88	98.10	99.49	99.86	99.96	99.99		
6.5	0.0608	16.42	45.59	70.40	83.90	91.24	95.23	97.40	98.58	99.23	99.58
7.0	0.0280	35.65	24.45	42.93	56.89	67.43	75.39	81.41	85.96	89.39	91.98
7.5	0.0129	77.39	12.12	22.77	32.13	40.36	47.59	53.94	59.52	64.43	68.74
8.0	0.0059	167.98	5.77	11.22	16.35	21.18	25.74	30.03	34.07	37.88	41.47
8.5	0.0027	364.62	2.70	5.33	7.89	10.38	12.81	15.17	17.46	19.70	21.87

TABLO 4.5

Gumbel dağılımına göre hesaplanan  $a$  ve  $b$  parametelerinden yararlanılarak bulunan  $\alpha$  ve  $\beta$  değerlerinin kullanılmasıyle saptanan yıllık sismik risk değerleri.

M	<u>Yıllık Risk</u>
4.0	0.946780959
4.5	0.741122522
5.0	0.463449862
5.5	0.249362170
6.0	0.123785700
6.5	0.059063393
7.0	0.027657742
7.5	0.012838427
8.0	0.005935324
8.5	0.002738815



**Şekil 4.6** Bölgede 1900 - 1985 yılları arasında oluşmuş depremlerin yıllık maksimum magnitüd değerlerinden yararlanılarak hesaplanan yıllık risk - magnitüd ilişkisi.

şabilecek enbüyük magnitüd değeri olan  $M = 8.5$ 'de yıllık risk sıfıra gitmemektedir (Şekil: 4.6). Tekrarlama peryodu  $Tr$  yıl oylan bir depremin  $Tr$  yıl içerisindeki sayısı  $N = 1$  olacağından, (4.16) bağıntısında  $N = 1$  alınırsa;  $\propto Tr = e^{\beta M}$  olur ve buradan,

$$M_{\max} = \frac{\ln \propto Tr}{\beta} \quad (4.26)$$

şeklinde olur. Yıllık riskin tersi tekrarlama peryodu olduğu na göre, bölgede 85 yıl içerisinde oluşmuş enbüyük magnitüdlü depremin tekrarlama peryodu,

$$Tr = 1 / R = 1 / 0.0149747 = 66.7 \text{ yıl} \quad (4.27)$$

dır. (4.26) bağıntısında  $Tr$  yerine değerini yazarsak,

$$M_{\max} = \frac{\ln(1445.4 \times 66.7)}{1.55} = 7.4 \quad (4.28)$$

bulunur. Gumbel dağılımıyla elde edilen parametrelerle, probleme iyi bir yaklaşım sağlandığı görülür. Bu takdirde yukarıda sözü edilen dağılım hatası önemli olmayacağından.

#### 4.3.3 Zemin İvmesi

Herhangi bir alandaki deprem etkisi genellikle maksimum yer ivmesi ile ifade edilmektedir. Farklı uzaklıklardaki noktaların bir depremden ne şekilde etkilenebileceğinin tahmin edilmesi, bilhassa bölgeye yeni inşa edilecek yapılar bakımından büyük önem taşır. Bunun için muhtemelen olabilecek depremlerin magnitüd dağılımı yanısıra depremin yaratacağı yer ivmesinin uzaklıkla azalımı, kaynak mekanizmasının koşulları, zeminin jeolojik ve sismik özellikleri tesbit edilmelidir.

Kaynağın bir fay olması durumunda, fay boyunca ve fay'a dik yönde olan ivme azalım ilişkisi birbirinden farklı olacaktır. Fay'a dik yönde ivme süratle artar.

Maksimum zemin ivmesinin mesafe ile değişimini veren birçok empirik formül ortaya konulmuştur. Bunlardan Es-tava(1969), değişik zemin türleri için aşağıdaki bağıntıları vermiştir.

$$a = \frac{1230}{(R + 25)^2} e^{0.8M} \quad (4.29)$$

(4.29) bağıntısı, orta sıkılıktaki zeminler için (örneğin; sert kil ve kompakt konglomera) önerilmiş olup, birimi  $\text{cm/s}^2$  dir. Burada  $a$ , maksimum yer ivmesi;  $R$ , hiposantr mesafesi(km) ve  $M$ , magnitüdtür. Hiposantr mesafesi ise aşağıdaki şekilde tanımlanmıştır.

$$R^2 = (\Delta^2 + h^2 + 20^2) \quad (4.30)$$

(4.30) bağıntısındaki  $\Delta$  episandr mesafesi(km),  $h$  ise odak derinliğidir. (4.29) bağıntısının değişik  $R$  ve  $M$  değerlerine karşı olan değişimini Tablo 4.6'da verilmiştir. Yine aynı Talo-daki verilerin grafiği Şekil 4.7'de görülmeye. Sert zeminler için ise maksimum yer ivmesinin tanımı şu şekilde verilmektedir:

$$a = \frac{2000}{(R + 25)^2} e^{0.8M} \quad (4.31)$$

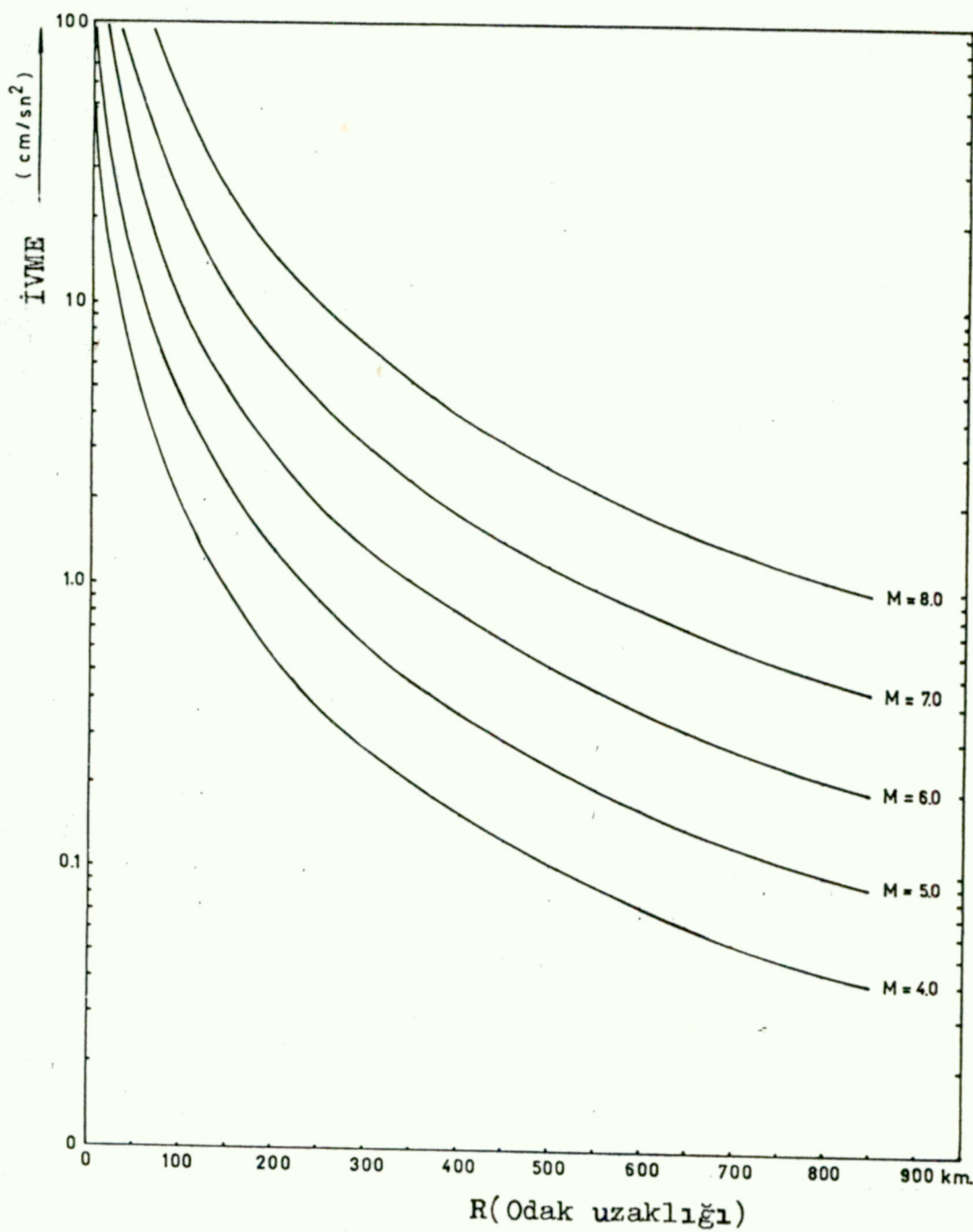
Yine aynı yazar tarafından orta sıkılıktaki zeminler için yerçekimi ivmesinin yüzdesi olarak, maksimum yer ivmesini izleyen

$$a = \frac{l \cdot 25}{(R + 25)^2} e^{0.8M} \quad (4.32)$$

TABLO 4.6

Orta sıklıkta zeminler için Estava tarafından verilen maksimum yer ivmesinin  $R'$ ye karşı değişimini

R	M = 4.0	M = 4.5	M = 5.0	M = 5.5	M = 6.0
50	53644.47E-04	80028.16E-04	11938.80E-03	17810.60E-03	26570.30E-03
100	19312.01E-04	28810.14E-04	42979.67E-04	64118.15E-04	95653.06E-04
150	98530.65E-05	14697.05E-04	21928.40E-04	32713.34E-04	48802.58E-04
200	59604.96E-05	88920.18E-05	13265.33E-04	19789.55E-04	29522.55E-04
250	39900.84E-05	59525.08E-05	88800.98E-05	13247.55E-04	19763.03E-04
300	28568.06E-05	42618.55E-05	63579.39E-05	94849.34E-05	14149.86E-04
350	21457.79E-05	32011.27E-05	47755.19E-05	71242.38E-05	10628.12E-04
400	16705.89E-05	24922.27E-05	37179.64E-05	55465.52E-05	82744.86E-05
450	13373.97E-05	19951.62E-05	29764.32E-05	44403.15E-05	66241.73E-05
500	10947.85E-05	16332.28E-05	24364.89E-05	36348.16E-05	54225.09E-05
550	91266.58E-06	13615.38E-05	20311.75E-05	38301.58E-05	45204.66E-05
600	77248.03E-06	11524.06E-05	17191.87E-05	25647.26E-05	38261.22E-05
650	66227.74E-06	98800.21E-06	14739.26E-05	21988.39E-05	32802.83E-05
700	57407.87E-06	85642.51E-06	12776.36E-05	19060.09E-05	28434.32E-05
750	50239.36E-06	74948.34E-06	11180.98E-05	16680.06E-05	24883.73E-05
800	44334.27E-06	66138.58E-06	98667.75E-06	14719.50E-05	21958.92E-05
850	39412.26E-06	58796.20E-06	87713.62E-06	13085.34E-05	19521.03E-05
900	35266.63E-06	52611.65E-06	78487.34E-06	11708.94E-05	17467.69E-05
950	31742.29E-06	47353.94E-06	70643.77E-06	10538.82E-05	15722.07E-05
1000	28721.01E-06	42846.73E-06	63919.80E-06	95357.15E-06	14225.62E-05
1050	26111.42E-06	38953.68E-06	58112.05E-06	86693.01E-06	12933.08E-05
1100	23841.98E-06	35568.07E-06	53861.32E-06	79158.21E-06	11809.02E-05
1150	21856.05E-06	32605.41E-06	48641.55E-06	72564.68E-06	10825.38E-05
1200	20108.30E-06	29998.06E-06	44751.84E-06	66761.92E-06	99597.10E-06
1250	18562.10E-06	27691.41E-06	41310.72E-06	61628.36E-06	91938.74E-06
1300	17187.62E-06	25640.92E-06	38251.75E-06	57064.92E-06	85130.89E-06
1350	15960.34E-06	23810.03E-06	35520.39E-06	52990.20E-06	79052.11E-06
1400	14859.56E-06	22168.47E-06	33071.46E-06	49336.84E-06	73601.92E-06
1450	13869.58E-06	20690.99E-06	30867.33E-06	46048.66E-06	68696.54E-06
1500	12975.01E-06	19356.45E-06	28876.42E-06	43078.58E-06	64265.70E-06
R	M = 6.5	M = 7.0	M = 7.5	M = 8.0	M = 8.5
50	39638.22E-03	59133.28E-03	88216.46E-03	13160.35E-02	19632.94E-02
100	14269.76E-03	21287.58E-03	31757.92E-03	47377.26E-03	70678.60E-03
150	72804.90E-04	10861.21E-03	16203.02E-03	24172.07E-03	36060.51E-03
200	44042.47E-04	65703.64E-04	98018.28E-04	14622.61E-03	21814.38E-03
250	29482.98E-04	43983.43E-04	65615.54E-04	97886.90E-04	14603.02E-03
300	21109.11E-04	31491.09E-04	46979.18E-04	70084.70E-04	10455.41E-03
350	15855.29E-04	23653.31E-04	35286.58E-04	52641.40E-04	78531.78E-04
400	12344.08E-04	18415.21E-04	27472.25E-04	40983.79E-04	61140.66E-04
450	98821.05E-05	14742.37E-04	21993.02E-04	32809.73E-04	48946.40E-04
500	80894.34E-05	12068.01E-04	18003.36E-04	26857.86E-04	40067.24E-04
550	67437.43E-05	10060.48E-04	15008.47E-04	22390.01E-04	33401.99E-04
600	57079.04E-05	85151.91E-05	12703.17E-04	18950.90E-04	28271.44E-04
650	48936.08E-05	73004.04E-05	10890.92E-04	16247.34E-04	24238.20E-04
700	42419.02E-05	63281.74E-05	54405.25E-05	14083.61E-04	21010.28E-04
750	37122.16E-05	55379.75E-05	62616.86E-05	12324.99E-04	18386.73E-04
800	32758.86E-05	48870.48E-05	72906.16E-05	10876.32E-04	16225.57E-04
850	29121.96E-05	43444.86E-05	64812.09E-05	96688.28E-05	14424.20E-04
900	26058.73E-05	38875.05E-05	57994.75E-05	86517.99E-05	12906.98E-04
950	23454.57E-05	34990.10E-05	52199.08E-05	77871.89E-05	11617.13E-04
1000	21222.13E-05	31659.69E-05	47230.70E-05	70459.93E-05	10511.39E-04
1050	19293.89E-05	28783.09E-05	42939.32E-05	64057.95E-05	95563.27E-05
1100	17616.99E-05	26281.46E-05	39207.31E-05	58490.44E-05	87257.53E-05
1150	16149.57E-05	24092.32E-05	35941.52E-05	53618.44E-05	79989.36E-05
1200	14858.14E-05	22165.74E-05	33067.39E-05	49330.75E-05	73592.68E-05
1250	13715.65E-05	20461.34E-05	30524.72E-05	45537.54E-05	67934.06E-05
1300	12700.04E-05	18946.22E-05	28264.44E-05	42165.59E-05	62903.70E-05
1350	11793.19E-05	17593.37E-05	26246.22E-05	39154.76E-05	58412.07E-05
1400	10980.12E-05	16380.41E-05	24436.69E-05	36455.26E-05	54384.89E-05
1450	10248.32E-05	15288.69E-05	22808.05E-05	34025.61E-05	50750.27E-05
1500	95873.15E-06	14302.59E-05	21336.95E-05	31831.00E-05	47486.29E-05



Şekil 4.7 Orta sıkılıkta zeminler için ivme - mesafe eğrileri.

şekilde tanımlanmıştır. (4.32) bağıntısından hesaplanan maksimum yer ivmesinin birimi gal'dır. Temel kaya üzerinde yaklaşık 6 m veya daha fazla kalınlıkta bir dolgu olduğu zaman;

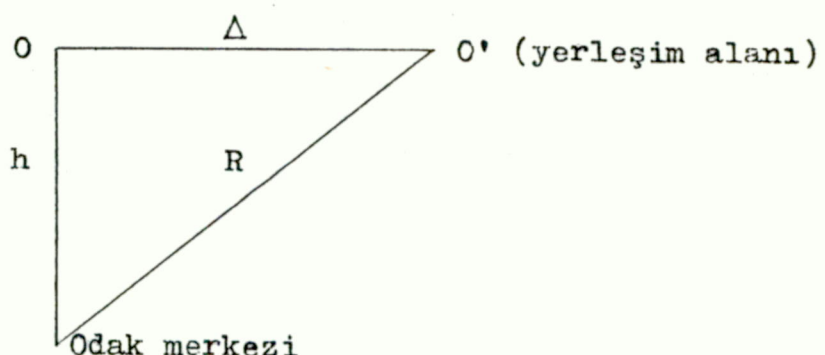
$$a = \frac{1080}{(R + 25)^{1.32}} e^{0.5M} \quad (4.33)$$

bağıntısı kullanılmaktadır. Maksimum yer ivmesinin R'ye karşı çiziminde, a'nın değişimi logaritmik, R'nin değişimi ise lineer ölçekte olmalıdır.

#### 4.3.4 Kaynak Türleri ve Aşılma Olasılığı Kavramı

##### 4.3.4.1 Nokta Kaynak

İnceleme sahası içinde bir veya birkaç kez oluşmuş ve yıkıcı özelliği olan depremlerin herhangi bir fay ile ilişkisi kurulamazsa bu takdirde bu deprem kaynağı "nokta kaynak" olarak düşünülebilir. Şekil 4.8'da görüldüğü gibi kaynak boyutlarının, kaynağın yerleşim alanına olan uzaklığa oranla çok küçük olması nedeniyle "nokta" şeklinde



Şekil 4.8 Nokta kaynağının şematik olarak gösterilmesi.

düşünebilir. Nokta kaynak ile sismik risk hesabı kolay olduğundan uygulamada, alan kaynak daha küçük alanlara, çizgi

kaynak ise daha küçük doğru parçalarına bölünerek noktaya yaklaştırılır. Bu yaklastırmadan doğan hata, özellikle yerleşim alanından uzak kaynaklar için çok küçük olacağından önemli değildir. Fakat yakın kaynaklar için dikkatli olmak gereklidir.

Belirli bir zaman peryodu aralığında magnitüdü en az  $m_0 = 4.0$  veya daha büyük olan bir depremin yıllık ortalama oluş sayısı (4.8) bağıntısıyla verilmiştir. Birim uzunluk ve birim alana sahip bir kaynaktan birim zamanda ortaya çıkacak deprem sayısı,

$$N(m) = e^{\alpha - \beta m} \quad (4.34)$$

bağıntısıyla verilir. Burada  $\alpha = a(\ln 10)$  ve  $\beta = b(\ln 10)$  şeklinde tanımlanmıştır.  $N(m_0)$ , risk analizinde kullanılacak toplam deprem sayısı olmak üzere, magnitüdü  $m'$  den büyük olan bir depremin oluşma olasılığı;

$$Pr = 1 - F_M(m) = \frac{N(m)}{N(m_0)} = \frac{e^{\alpha - \beta m}}{e^{\alpha - \beta m_0}} \quad (4.35)$$

dır. Buradan,

$$F_M(m) = 1 - e^{-\beta(m - m_0)}, \quad m \geq m_0 \quad (4.36)$$

yazılır. Burada magnitüd için alt sınırlama olmasına karşın üst sınır alınmamıştır. Dolayısıyle sonsuz enerjinin açığa çıkabileceği varsayılmıştır. Gerçekte ise bu mümkün değildir.  $m_1$  magnitüd üst sınırı olmak üzere, (4.36) bağıntısı;

$$F_M(m) = \frac{1 - e^{-\beta(m - m_0)}}{1 - e^{-\beta(m_1 - m_0)}} \quad (4.37)$$

şeklinde yazılabilir. (4.37) bağıntısını kısaltarak şu şekilde;

$$F_M(m) = k(1 - e^{-\beta(m - m_0)}) \quad m_0 \leq m \leq m_1 \quad (4.38)$$

yazılabilir. Burada  $k$ ,  $m = m_1$  değerinde 1.0 olmasını sağlayan standartlaşturma katsayısı olup,

$$k = (1 - e^{-\beta(m_1 - m_0)})^{-1} \quad (4.39)$$

şeklinde tanımlanmıştır. Magnitüd ile ilgili olasılık; (4.38) denkleminin, (4.35) denkleminde yerine konulmasıyle;

$$Pr = \left\{ 1 - k(1 - e^{-\beta(m - m_0)}) \right\} \quad (4.40)$$

elde edilir. Olasılık kavramı, magnitüde bağlı olarak bu şekilde elde edildikten sonra, yine magnitüde bağlı olarak geliştirilen azalım ilişkisindeki  $m$  değeri, (4.40) bağıntısında yeri ne konulursa;

$$Pr = \left\{ 1 - k \left\{ 1 - \exp \left[ - \frac{\beta}{b_2} \ln \left( \frac{r}{y} \right) + \beta m_0 \right] \right\} \right\} \quad (4.41)$$

veya

$$= \left\{ 1 - k \left[ 1 - r^{-\beta b_3/b_2} \left( \frac{y}{y_0} \right)^{-\beta/b_2} e^{\beta m_0} \right] \right\} \quad (4.42)$$

(4.41) ve (4.42) bağıntıları  $y_0 \leq y \leq y_1$  aralığında geçerli olup, burada  $y_0$  ve  $y_1$ ,

$$y_0 = b_1 \exp(b_2 m_0) r^{-b_3} \quad (4.43)$$

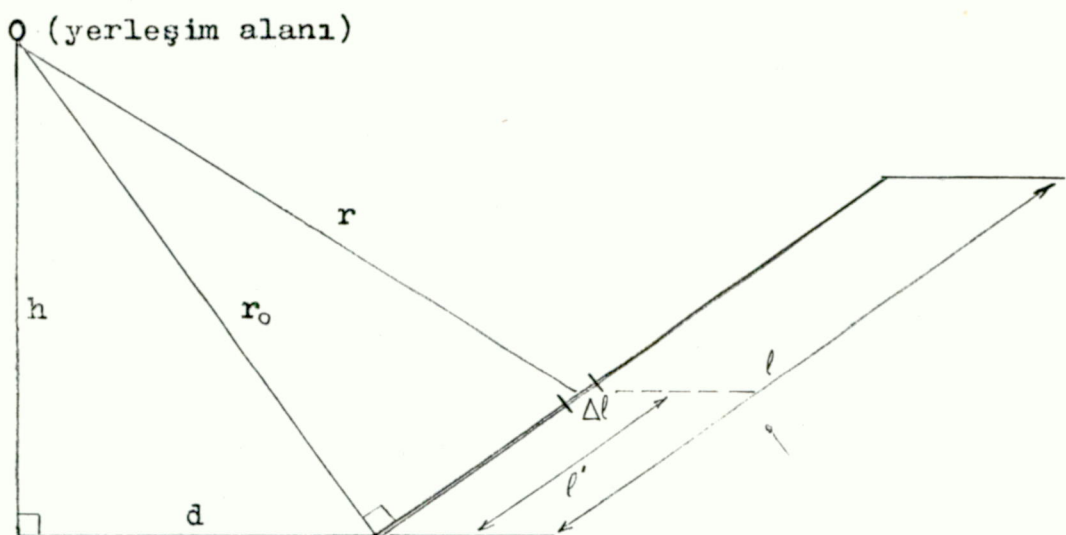
$$y_1 = b_1 \exp(b_2 m_1) r^{-b_3} \quad (4.44)$$

olarak tanımlanmıştır. (4.41) veya (4.42) bağıntısıyla herhangi bir maksimum yer ivmesinin birim zaman içerisinde % kaç ola-

silikla aşılacığını hesaplayabiliriz. Bu ifadeler birim uzun - luk, birim alan ve birim zaman intervalinde geçerlidir.

#### 4.3.4.2 Çizgi Kaynak

Çizgi kaynak esas alınarak yapılan çözümde, gelecek - te oluşacak depremlerin odaklarının çizgi olarak düşünülen fay düzleminin herhangi bir yerinde olabileceği varsayılar. Bu kaynak türünün birçok nokta kaynağın bir araya gelmesinden o - luştuğu kabul edilerek çözüme gidilir. Şekil 4.9 'da çizgi



**Sekil 4.9** Çizgi kaynağın şematik olarak gösterilmesi.

kaynak modeli şematik olarak gösterilmiştir. Yerleşim alanı olarak alınan O noktasından fay çizgisine en yakın olan uzaklık  $r_o$  mesafesidir. Fayın ortalama derinliği  $h$ , birim uzunluk olan  $\Delta\ell$  ye bağlı olarak değişen mesafe  $r$  ile gösterilmiştir. Eğer deprem  $r$  mesafesinde oluşmuşsa bu takdirde;

$$r = (t^2 + r_0^2)^{1/2} \quad (4.45)$$

buradan,

$$\ell' = (r^2 - r_o^2)^{1/2} \quad (4.46)$$

$$r_o = (d^2 + h^2)^{1/2} \quad (4.47)$$

yazılır. Fay çizgisi birçok  $\Delta\ell'$  uzunluklarından oluştuguna göre, herbir birim uzunlukta deprem olma olasılığı eşit varsa - yılırsa, olasılık;

$$f = \frac{1}{\ell} \quad (4.48)$$

olur.  $\ell$  boyunca  $r$  değişeceğinden

$$F_R = f_\ell \left| \frac{d\ell'}{dr} \right| = \frac{1}{\ell} \frac{r}{\sqrt{r^2 - r_o^2}} \quad (4.49)$$

(4.49) bağıntısı  $r_o \leq r \leq r^*$  aralığında geçerli olup, burada  $r^*$  maksimum  $r$  mesafesidir.  $r$  değeri  $\int_{r_o}^{r^*}$  değişeceğinden, nokta kaynaktan farklı olarak (4.49) bağıntısı (4.41) bağıntısına çarpan olarak katılacaktır. Bu takdirde;

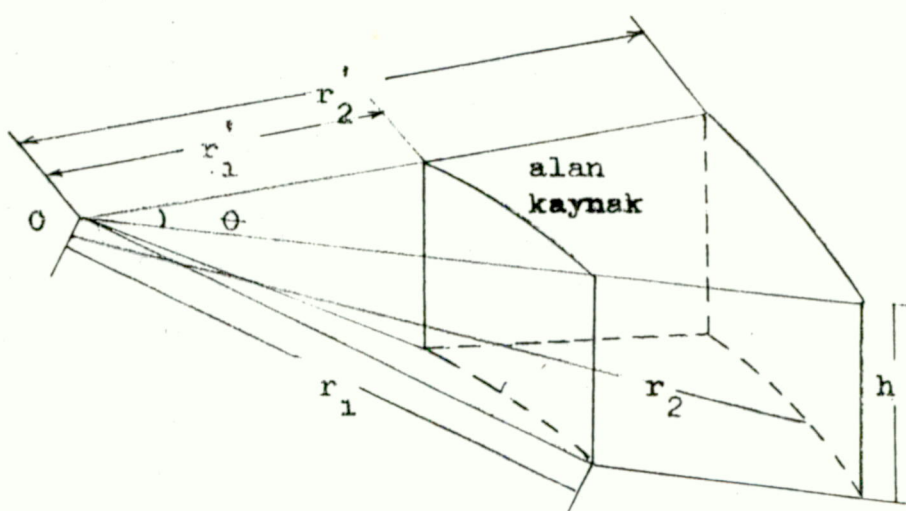
$$Pr = \int_{r_o}^{r^*} \left\{ 1 - k \left[ 1 - r^{-\beta b_3/b_2} \left( \frac{y}{b_1} \right)^{-\beta/b_2} e^{\beta M_o} \right] \right\} \frac{1}{\ell} \frac{r}{\sqrt{r^2 - r_o^2}} dr$$

$$= 1 - k + k \left[ \left( \frac{y}{b_1} \right)^{-\beta/b_2} e^{\beta M_o} \frac{1}{\ell} \right] \int_{r_o}^{r^*} \frac{r^{1 - \beta b_3/b_2}}{\sqrt{r^2 - r_o^2}} dr \quad (4.50)$$

olur.

#### 4.3.4.3 Alan Kaynak

Deprem episantılarının belirli bir fayla ilişkisinin tesbit edilemediği durumlarda depremler, değişik konumlarda bulunan faylardan ileri geldiği varsayılabılır. Bu tür kaynaklar, birer noktası olarak düşünülebilen birçok birimlerden oluştuğu kabul edildiğinde, alan kaynak için sismik risk hesaplaması kolaylaşır. Şekil 4.10'de şematik olarak gösterilen birim



Şekil 4.10 Alan kaynağının şematik olarak gösterilmesi.

alanın yerleşim alanına olan uzaklılığı,

$$r = (r'^2 + h^2)^{1/2} \quad (4.51)$$

dır. Burada  $r'$ , kaynaktan yerleşim alanına olan yüzey uzaklığıdır. Gelecekte oluşan bir depremin episentr konumu alan kaynağının herhangi bir yerinde olacaktır.  $R'$  episentr uzaklığını gösteren bir değişken ise,

$$F_{R'}(r') = (r'^2 - r_1'^2)/(r_2'^2 - r_1'^2) \quad (4.52)$$

dir.  $F_R(r')$  fonksiyonu  $r'$  ne bağlı olarak değişeceğinden olasılık yoğunluk işlevi,

$$f_R(r') = \frac{dF_R(r')}{dr'} = \frac{2r'}{r'^2 - r_1'^2}, ; r_1' \leq r' \leq r_2' \quad (4.53)$$

(4.53) bağıntısında değişken dönüştürümü yapılarak,

$$g(r) = r' = (r^2 - h^2)^{1/2} \quad (4.54)$$

alınırsa,

$$f_R(r) = f_R[g(r)] \left| \frac{dg(r)}{dr} \right| \quad (4.55)$$

olur. (4.55) bağıntısındaki  $g(r)$  yerine, değeri yazılırsa;

$$\begin{aligned} f_R(r) &= \frac{2(r^2 - h^2)^{1/2}}{r_2'^2 - r_1'^2} \cdot \frac{1}{2} \frac{2r}{(r^2 - h^2)^{1/2}} \\ &= \frac{2r}{r_2'^2 - r_1'^2} \end{aligned} \quad (4.56)$$

şeklini alır. Burada,

$$r_1' = (r_1^2 - h^2)^{1/2}, r_1 = (r_1'^2 + h^2) \quad (4.57)$$

$$r_2' = (r_2^2 - h^2)^{1/2}, r_2 = (r_2'^2 + h^2) \quad (4.58)$$

değerleri yerine konursa;

$$f_R(r) = \frac{2r}{r_2^2 - r_1^2}, r_1 \leq r \leq r_2 \quad (4.59)$$

olarak yazılır. Burada,  $r_1'$  ve  $r_2'$  yüzeyde ölçülen uzaklıklardır.

Alan kaynakta değişken olarak  $r$  olduğuna göre, bunun  $r_1$  ve  $r_2$  aralığındaki değişimini incelenecektir. Gelecekte oluşabilecek herhangi bir deprem,  $r$ 'nin yanısıra  $\theta$  açısına da bağlı olacaktır. Yukarıda geliştirilen  $f_R(r)$  fonksiyonu,  $R$ 'nin olasılık yoğunluk işlevidir.  $\theta$ 'nın olasılık yoğunluk işlevi ise,

$$f_\theta(\theta) = \frac{1}{\theta_1} \quad , \quad 0 \leq \theta \leq \theta_1 \quad (4.60)$$

dir. Tüm alan kaynağın sınırlarını belirleyen  $\theta_1$  açısının tersi, birim alana tekabül eden açıyı verecektir. Bu takdirde, alan kaynağını birçok nokta kaynaklardan oluşan bir model olarak kabul edersek, olasılık:

$$\begin{aligned} \Pr &= \iint_{r_1}^{r_2} \left\{ 1 - k \left[ 1 - r^{-\beta b_3/b_2} \left( \frac{y}{b_1} \right)^{-\beta/b_2} e^{\beta M_0} \right] \right\} \frac{2r}{r_2^2 - r_1^2} \cdot \frac{1}{\theta_1} d\theta dr \\ &= \frac{2}{(r_2^2 - r_1^2)} \int_{r_1}^{r_2} \left[ r(1 - k) + kr^{1 - \beta b_3/b_2} \left( \frac{y}{b_1} \right)^{-\beta/b_2} e^{\beta M_0} \right] dr \\ &= (1 - k) + \frac{2}{(r_2^2 - r_1^2)} k e^{\beta M_0} \left( \frac{y}{b_1} \right)^{-\beta/b_2} \left( \frac{r_2^\gamma - r_1^\gamma}{\gamma} \right) ; \quad (4.61) \end{aligned}$$

şeklini alır. Burada,  $\gamma = 2 - \frac{\beta b_3}{b_2}$  dir. Bu bağıntı,  $\beta b_3/b_2 \neq 2$  ve  $r_1 > 0$  için geçerlidir.

#### 4.3.5 Isparta - Burdur Bölgesinin Risk Analizi

Geçmişte olduğu gibi gelecekte de levha hareketlerine bağlı olarak Burdur ve civarında yıkıcı depremlerin oluşması kaçınılmazdır. Isparta - Burdur illerinin jeotektonik konumu dikkate alınarak, bu iki ilin arasında yer alan ve koordinatları  $30.50^{\circ}\text{E}$ ,  $37.75^{\circ}\text{N}$  olan merkezi noktaya göre 150 km. yarıçaplı dairesel bir alan içerisinde bulunan sismik kaynaklar için yıllık toplam risk değerleri saptanmıştır.

Sismik risk analizi, magnitüde dayalı olarak geliştirilen azalım ilişkisi bağıntısını da içermektedir. Türkiye depremleri için tesbit edilmiş bir ivme - azalım ilişkisi mevcut değildir. Dolayısıyle, Türkiye içerisinde geçerli olabilecek, mevcut bağıntılardan herhangi birisini önermek güçtür.

Yukarıda koordinatları verilen ve merkezi noktaya göre sınırları belirlenen (Şekil 3.1'de görülen dairesel alan) alan içerisinde magnitüdü  $M \geq 5.0$  veya daha büyük olan 42 adet deprem tesbit edilmiştir. Bu depremlere ait parametreler, Tablo 4.7'de verilmiştir. Tablo'da görülen R, odak uzaklığı olup, bunun hesaplanmasında (4.30) bağıntısı kullanılmıştır.

Söz konusu alan içerisinde bulunan tüm sismik kaynakların koordinatları verilen noktaya etkileyebilecekleri toplam sismik risk veya değişik düzeylerdeki maksimum yer ivmesinin aşılma olasılıkları saptanarak Tablo 4.8'de verilmiştir. Bu sonuçlara göre, saha içerisindeki tüm kaynakların 1971 Burdur depremi büyüklüğünde ( $M = 5.5$ ) eşit veya yaklaşık  $150 \text{ cm} / \text{sn}^2$  lik bir ivme yaratma olasılıkları sadece 0.015 veya % 1.5 dir. Isparta - Burdur ve civarı için hesaplanan maksimum yer ivmesi yıllık toplam risk ilişkisi Şekil 4.11'de görülmektedir.

TABLO 4.7

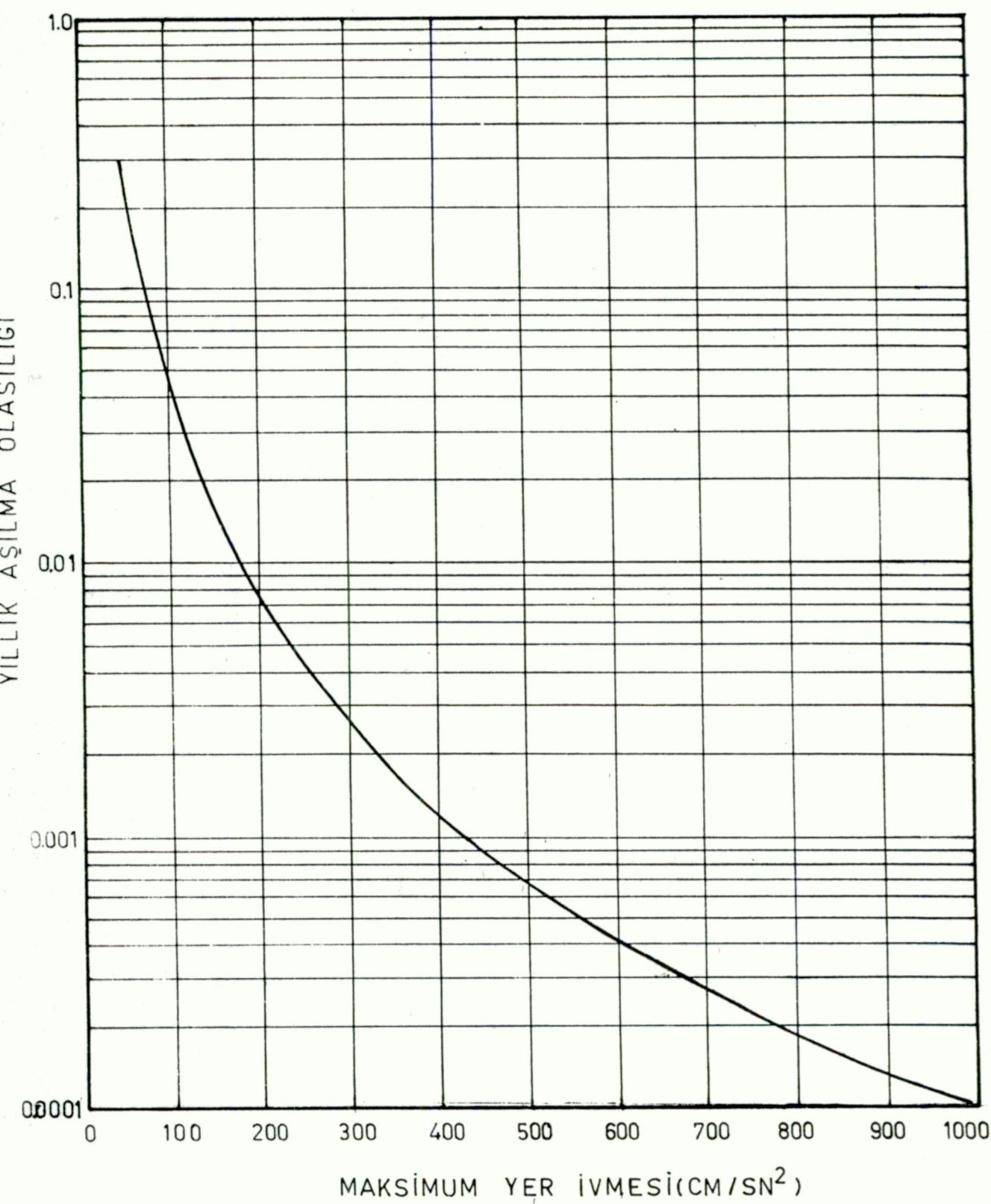
Merkezi koordinatları  $30.50^{\circ}\text{E}$ ,  $37.75^{\circ}\text{N}$  ve yarı-çapı 150 km. olan dairesel bir alan içindeki  $M \geq 5.0$  olan depremlere ait parametreler.

ENLEM	BOYLAM	$\Delta$	h	R
37700N	30600E	11.42	32	39.426
38000N	30000E	52.15	15	57.832
37400N	30500E	39.07	15	46.383
37500N	30700E	33.19	33	50.897
37500N	29000E	35.27	33	52.277
38000N	30500E	27.98	33	47.664
38000N	29500E	92.27	33	100.013
37900N	30600E	19.29	33	43.140
37000N	30500E	83.30	90	124.253
37200N	30000E	75.44	20	80.567
37000N	30900E	90.50	118	150.047
37800N	30000E	44.56	44	65.738
37238N	30270E	60.48	45	77.992
37588N	29757E	68.10	23	74.609
37526N	29725E	72.87	33	82.456
37585N	29600E	81.54	33	90.209
37300N	30235E	55.30	23	63.143
38300N	30200E	66.56	33	76.936
38400N	30400E	40.11	33	55.657
38200N	29700E	86.29	100	133.588
38400N	31800E	134.93	33	140.338
37500N	29000E	135.27	33	140.666
39000N	31000E	145.41	33	150.442
36800N	30000E	114.39	33	120.723
37800N	29100E	123.47	33	129.359
37500N	31300E	75.95	33	85.190
38500N	31900E	148.29	33	153.228
38300N	31400E	99.89	33	107.084
38300N	31900E	137.23	33	142.551
36500N	31000E	145.62	33	150.645
38900N	29800E	141.52	17	143.933
39000N	30000E	145.41	15	147.543
37400N	29100E	129.64	16	132.145
36600N	30000E	135.11	130	188.560
36900N	30200E	98.03	30	104.450
36800N	30900E	111.28	110	157.744
37800N	29300E	105.88	21	109.779
36900N	29200E	148.87	36	154.461
37300N	29100E	133.44	35	139.395
36963N	31075E	101.14	109	150.034
38965N	30112E	139.03	15	141.259
37703N	28893E	141.72	03	143.155

TABLO 4.8

Merkezi koordinatları 30.50 E, 37.75 N ve yarıçapı 150 km. olan dairesel bir alan içindeki M 5.0 depremler için maksimum yer ivmesinin yıllık aşılma olasılığı.

İvme(cm/sn <sup>2</sup> )	Toplam Risk
50.0	0.28184354E+00
100.0	0.45886796E-01
150.0	0.15868936E-01
200.0	0.74707009E-02
250.0	0.41646399E-02
300.0	0.25836024E-02
350.0	0.17254730E-02
400.0	0.12163026E-02
450.0	0.89348108E-03
500.0	0.67804335E-03
550.0	0.52827457E-03
600.0	0.42063068E-03
650.0	0.34108805E-03
700.0	0.28092018E-03
750.0	0.23448835E-03
800.0	0.19802545E-03
850.0	0.15895533E-03
900.0	0.14546727E-03
950.0	0.12626236E-03
1000.0	0.11039196E-03



Sekil 4.11 Isparta - Burdur ve civarı için hesaplanan ivme - risk ilişkisi.

## BÖLÜM 5

### BÖLGENİN LEVHA TEKTONİĞİ AÇISINDAN İNCELENMESİ

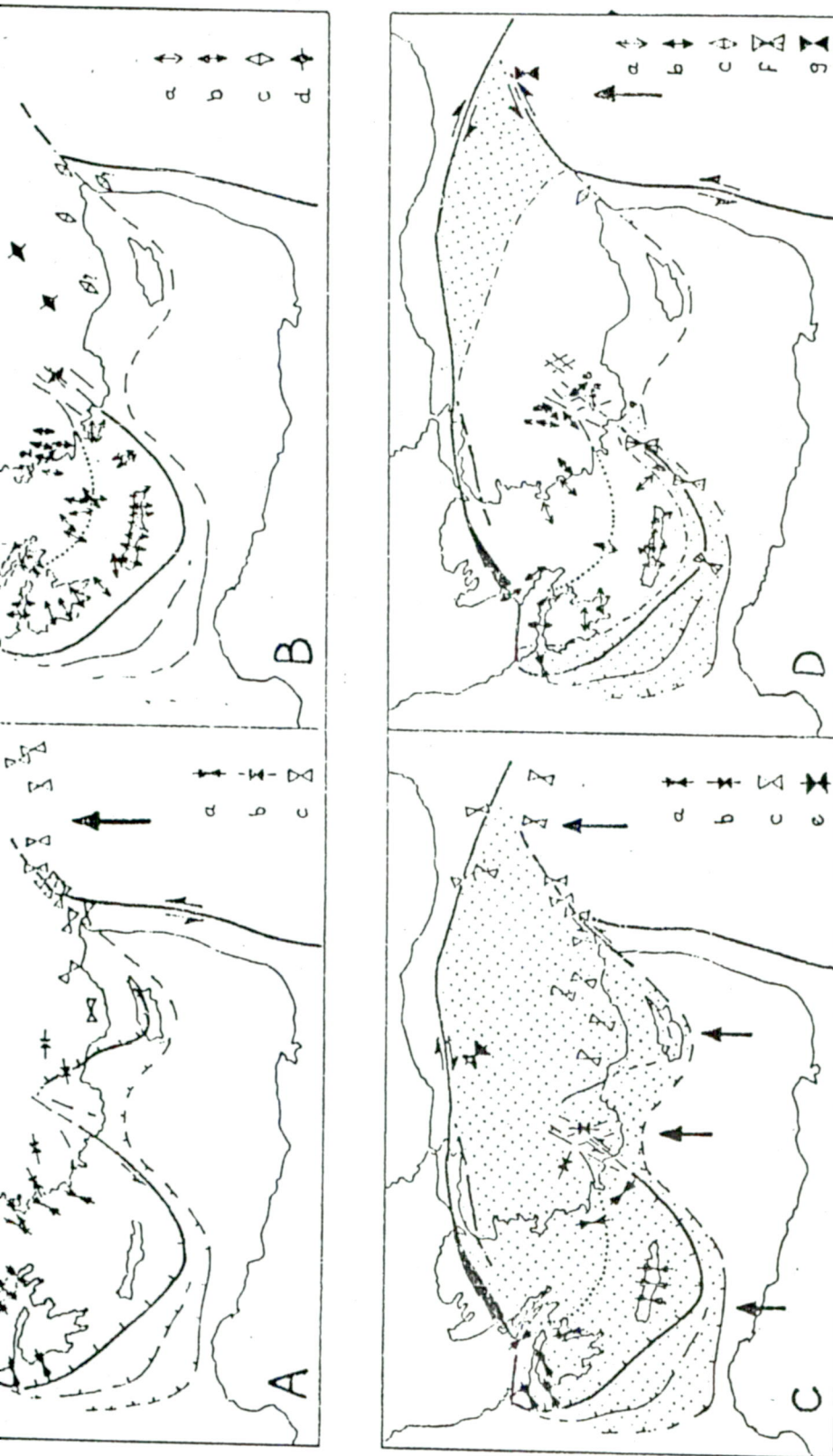
#### 5.1 Tektonik Evrim

Toroslar ve güneydoğu Anadolu'daki Miosen - Pliosen havzaları, volkanizma faaliyetleri olmayan en genç (Post orogenik) havzalardır. Geç - Jeosenkinal devresinde, Oligo - Miosen yaşlı bilhassa andezit volkanizması ve buna bağlı olarak bazı bazalt ve riyolit erüpsiyonları vukuua gelmiştir. Örneğin; Pontidler ve Toroslar'daki andezitik volkanizma olayları. Post - Jeosenkinal devre ise dikey hareketlerin etkili olduğu bir dönemdir. Günümüzdeki yeryüzü şekli ana çizgileriyle bu zamanda meydana gelmiştir. Dikey yükselmelerle dağ şeritleri büyük irtifalar almış, düşey hareketler ise bugünkü Akdeniz'i meydana getirmiştir. Çökme olayları iç zonlarda gelişmiş, Ege çukuru ve iç göller oluşmuştur (Linyit yataklarını kapsayan Neojen havzaları).

Post - Jeosenkinal hareketler Miosen sonunda (Ponsien'de) ve Pliosen - Kuaterner geçişinde olmak üzere başlıca iki dönemde oluşmuşlardır. Miosen sonunda Akdeniz çevresinde genel bir yükselme olmuş, Pliosen - Kuaterner geçiş döneminde ise günümüzdeki şeklini almıştır. Akdeniz bölgesinin önemli sismik zonları bu Post - Jeosenkinal tektonikle doğrudan ilişkilidir. Post - Jeosenkinal devrede yeni bir magmatik safha faaliyete geçmiş ve genellikle volkanik ve bazaltik cinsten lavlar yeryüzüne yayılmıştır.

Şekil:5.1 - A, Miosen sonu - Pliosen başı basınç fazını göstermektedir. Bu tektonik faz'dan bütün Ege ve Anadolu etkilenmekte ve yeni bir yapısal duruma neden olmaktadır (Poisson, 1977; Letouzey ve Ozer, 1978; Dumont, 1979). Şekil:5.1 - B'



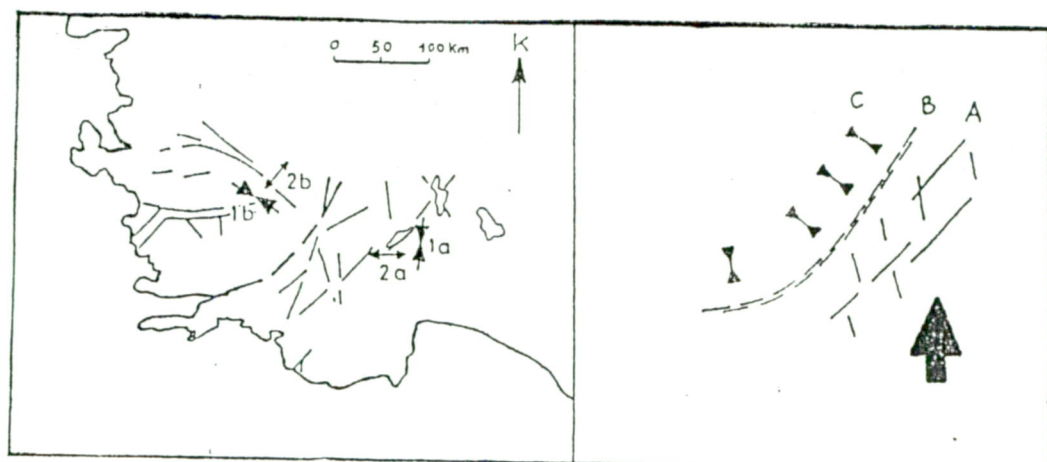


**Şek 5.1** - Türkiye'de Miyosen sonundan günümüze kadar yapılan tarihi basımcı ve kitap yayınları

deki durum ise Pliosen sonunda Batı Anadolu ve Ege'de grabenleşmenin devam ettiğini göstermektedir (Mercier, 1977; Angelier, 1977). Burdur ve Eğridir'de kuvvetli bir grabenleşme görülmektedir, buna karşın Paleocoğrafik değişiklikler bulunmaktadır (Bering, 1971).

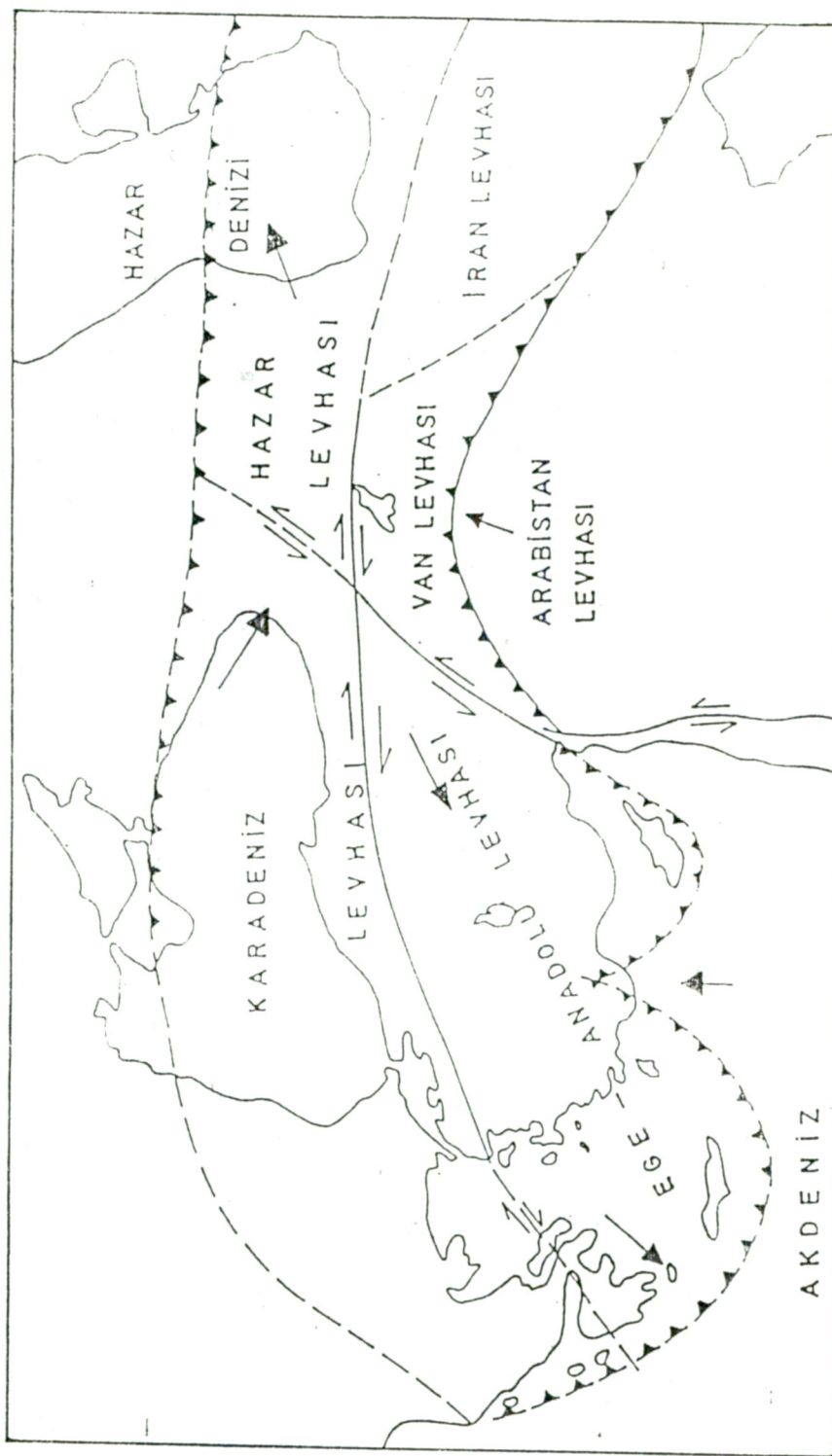
Şekil:5.1-C'de Eski Kuaterner döneminde, Orta Anadolu'dan Batı Yunanistan'a kadar bir basınç tektoniği görülmektedir. Bu tektonik evre esnasında, Arap - Avrasya ve Afrika - Avrasya arasında basınç neden olan bir yaklaşma söz konusu - dur. Şekil:5.1 D'deki durum Genç Kuaterner'de yeni bir grabenleşme tektoniğinin yer aldığı göstermektedir.

Burdur ve Sarayköy civarında basınç tektoniği saptanmıştır (Şekil:5.2). Burdur'da N - S yönlü bir basınç varken Sarayköy'de WNW - ESE yönlü bir basınç söz konusudur. Bu iki



Şekil:5.2 Soda(a) Burdur'da ve (b) Sarayköy - Sazak'ta basınç tektoniği(1) ve sonra gelen çekim tektoniği(2).

bölge, Ege volkanik yayının uzantısında Gökova Körfezi'nden Çivril Ovası'na kadar uzanan bir hat etrafında ayrılmış bulunmaktadır. Şekil:5.2'nin sağ kısmında şematik olarak A da Afrika



Sekil: 5.3 - Türkiye'nin ve komşu ülkelerin levhaları veya levhacıkları (MC KENZIE, 1972; ALPTEKİN, 1973; DEWEY ve diğ., 1973'ten esinlenerek çizimmiştir).

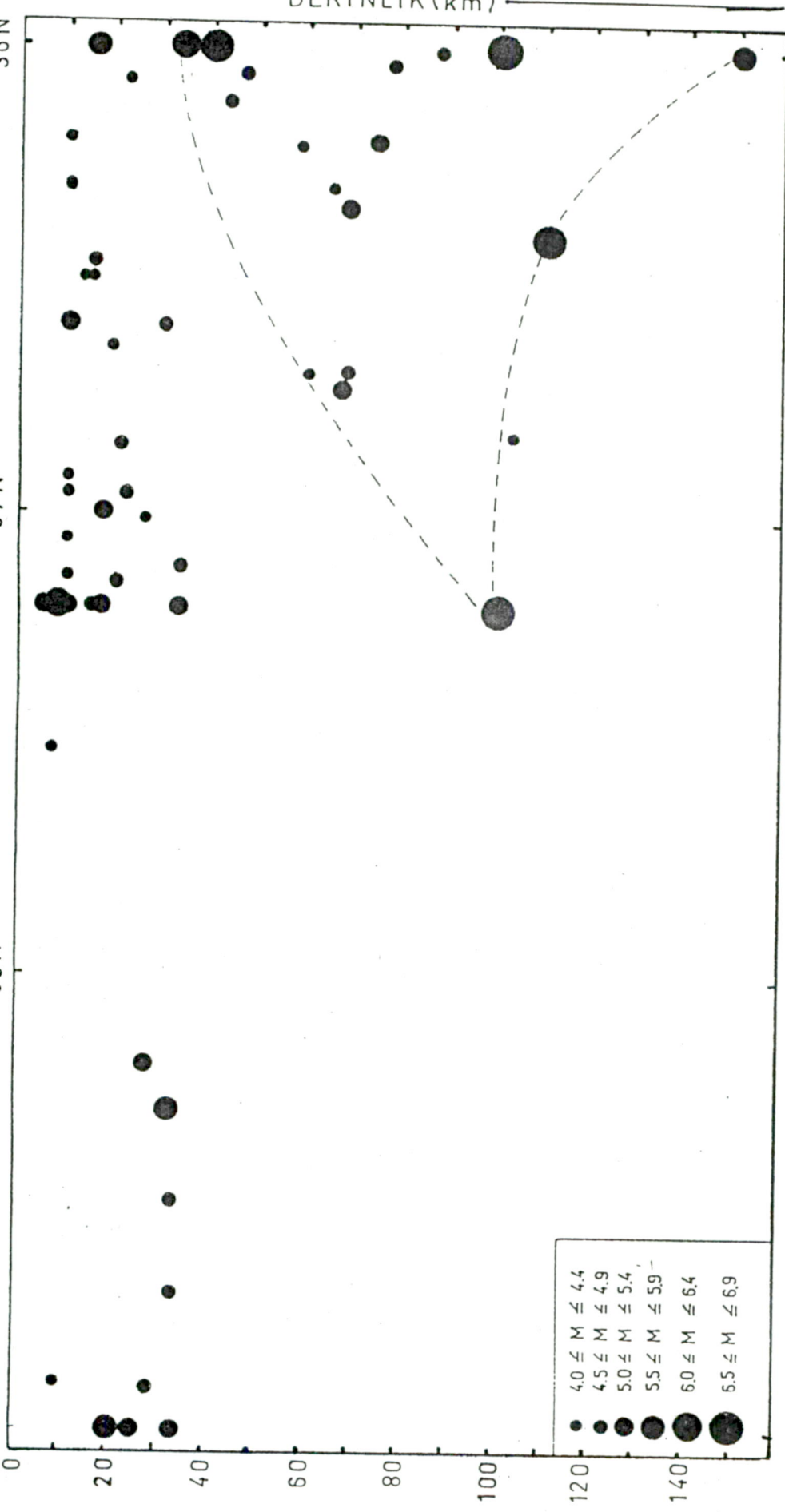
kıtاسının basınç etkisi altında kalan Burdur Bölgesi; B de Ege volkanik yayının devamı üzerinde Gökova - Açı Göl hattı ve C'de İç Ege Bölgesi görülmektedir. Basınç yönü, B hattı nedeniyle yön değiştirmekte ve bu hatta dik duruma gelmektedir. Burdur Bölgesi, Ege yayının dış bölgeleri gibi birbirine N - S yaklaşımı gösteren Afrika ve Avrasya levhalarının etkisi altında kalmaktadır (Şekil:5.3). Sarayköy'deki basınç etkisi, Gökova - Çivril ayırımı dolayısıyla Burdur Bölgesi'ne doğru bir yön değiştirmeye gösterebilmektedir. Burdur'da en önemli grabenleşme olayının Pleistosen sonu veya Holosen başında olduğu yukarıda belirtildi. Bu olay W - E yönlü bir çekim sonucudur. Saray - köy'deki NNE - SSW yönlü bir çekim ile meydana gelmiş önemli bir grabenleşme olayı da aynı zamanda yer almaktadır. Genç Kuaterner'deki bu grabenleşme günüümüze kadar süregelmektedir (Arpat ve Şaroğlu, 1975; Arpat ve Bingöl, 1969). Genç Kuaterner'i etkileyen faylar değişik çekim yönleri gösterir. Burdur'da bunlar NW - SE doğrultusundadır (Dumont ve diğ., 1980).

Güneybatı Anadolu'daki sismo - tektonik çalışmaların sonuçlarına göre, Menderes Masifi Bölgesinde NE - SW yönlü bir çekim görülmektedir (Alptekin, 1973; Ritsema, 1974; Papazachos ve Komninakis, 1977).

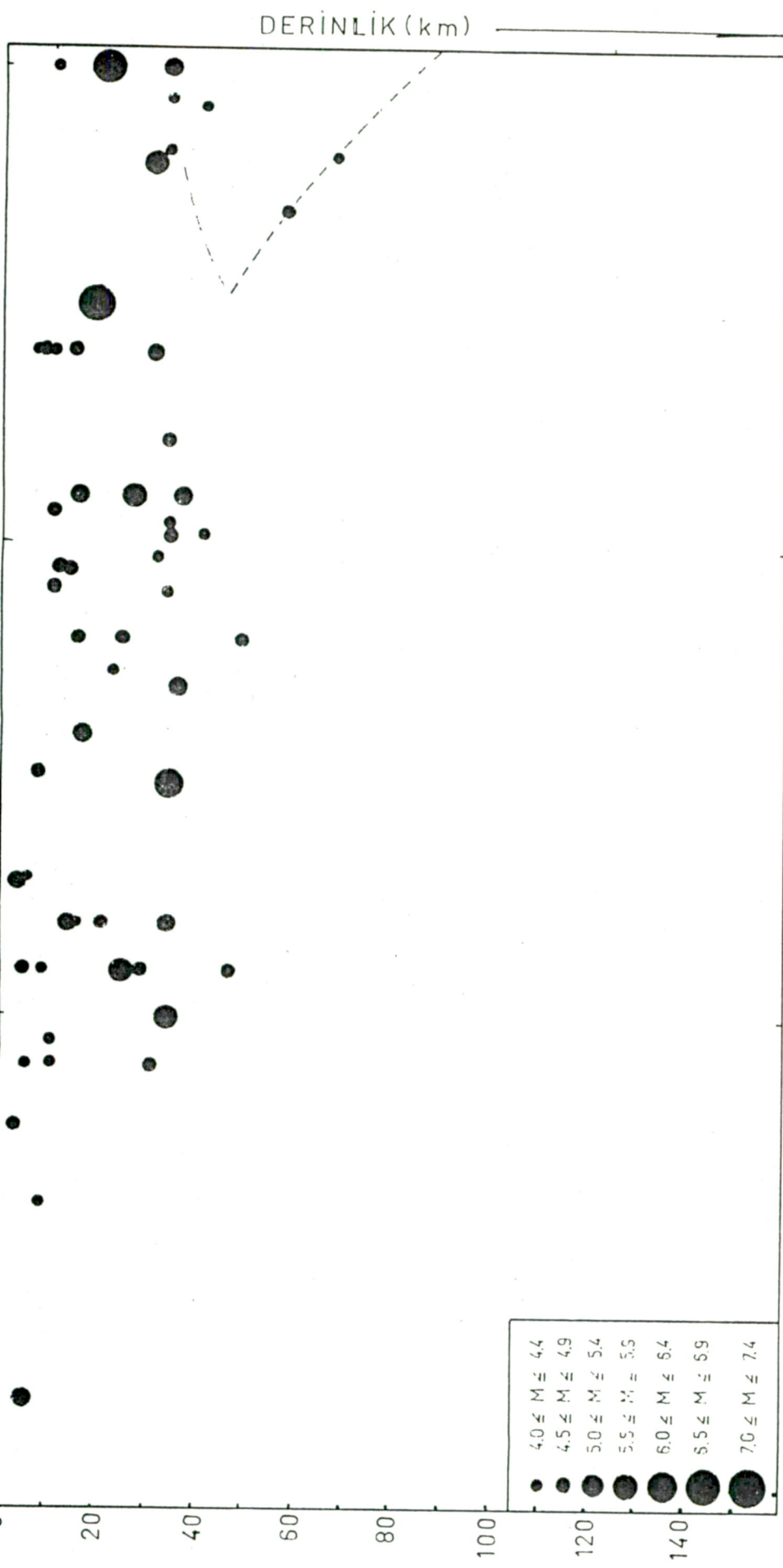
## 5.2 Derinlik Kesitleri

İncelenen bolgenin sismo - tektonik durumunu ayrıntılı olarak görebilmek için enlem ve boylam doğrultularında 0.4 derecelik alanlar için derinlik kesitleri alınmıştır. Bu kesitlerin yorumlanmasında korelasyonu sağlamak ve Afrika levhasının Anadolu levhası altına dalım şeklini ve doğrultusunu saptamak için çakıştırma yoluna gidilmiştir.

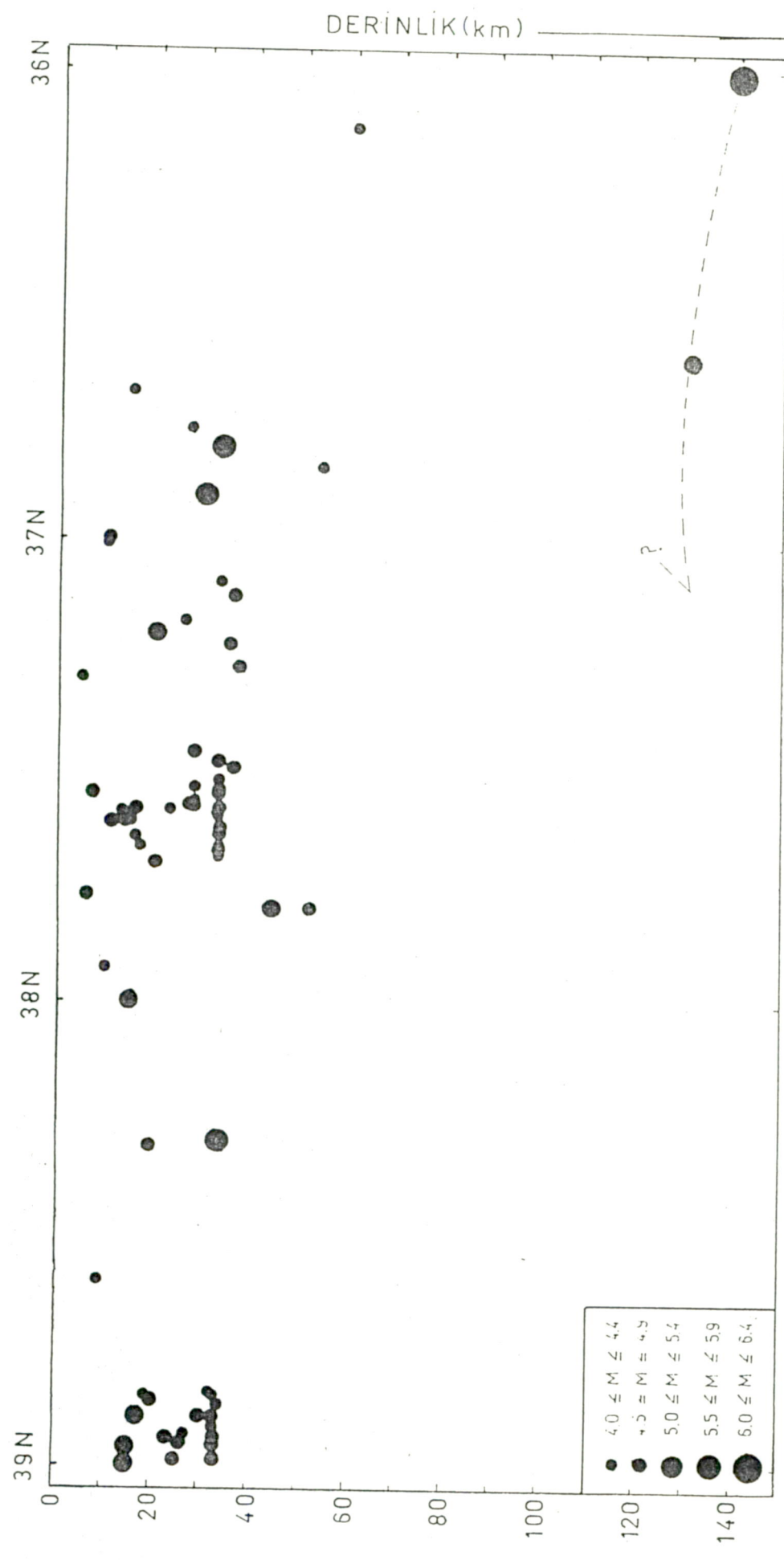
Şekil:5.4'de Afrika levhasının Anadolu levhası altına



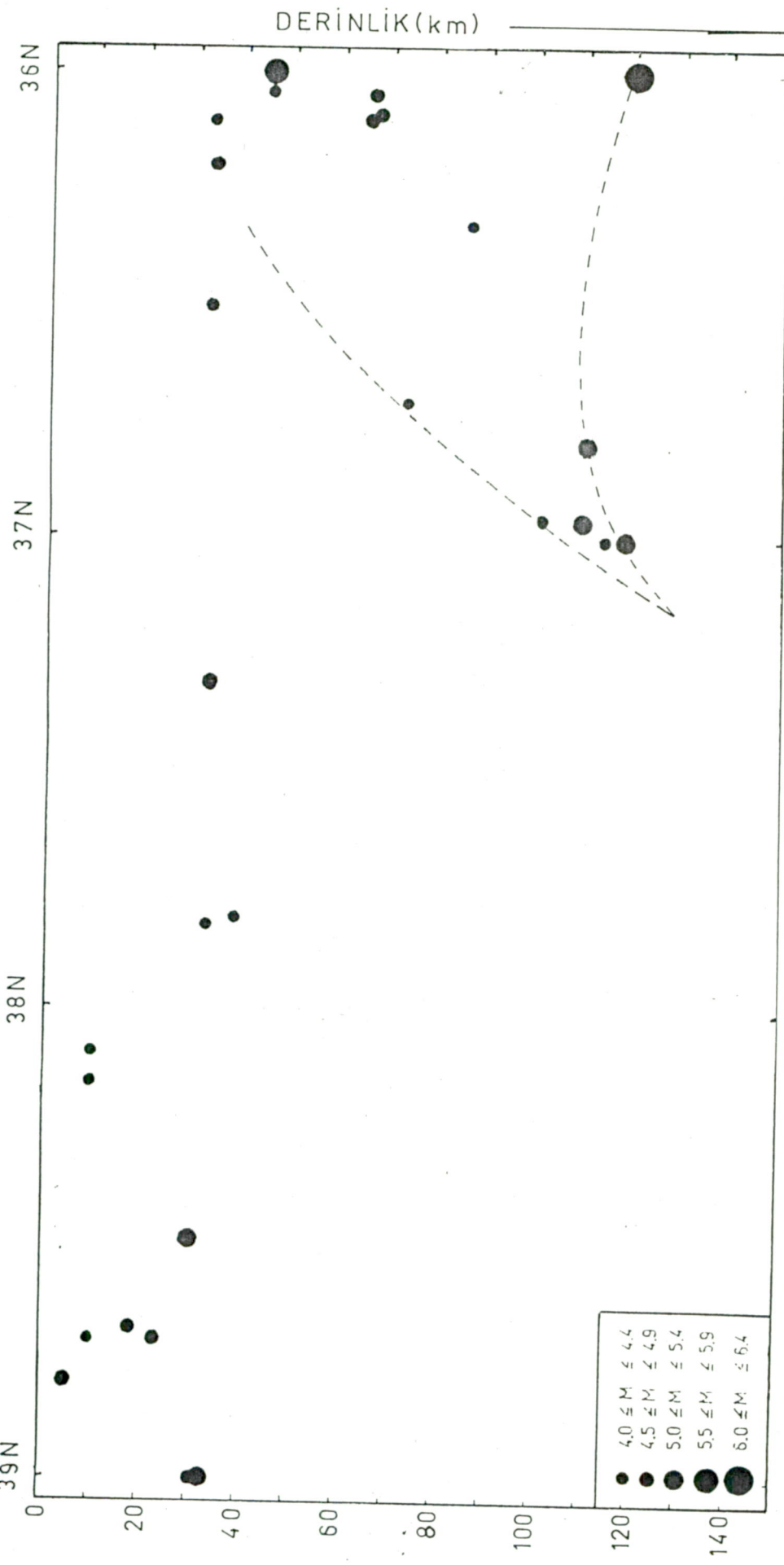
Sekil 5.4 Bölgenin  $28.0^{\circ}\text{E}$  -  $28.4^{\circ}\text{E}$  boylamında 1900 - 1985 yılları arasında oluşmuş depremlerin derinlik kesiti.



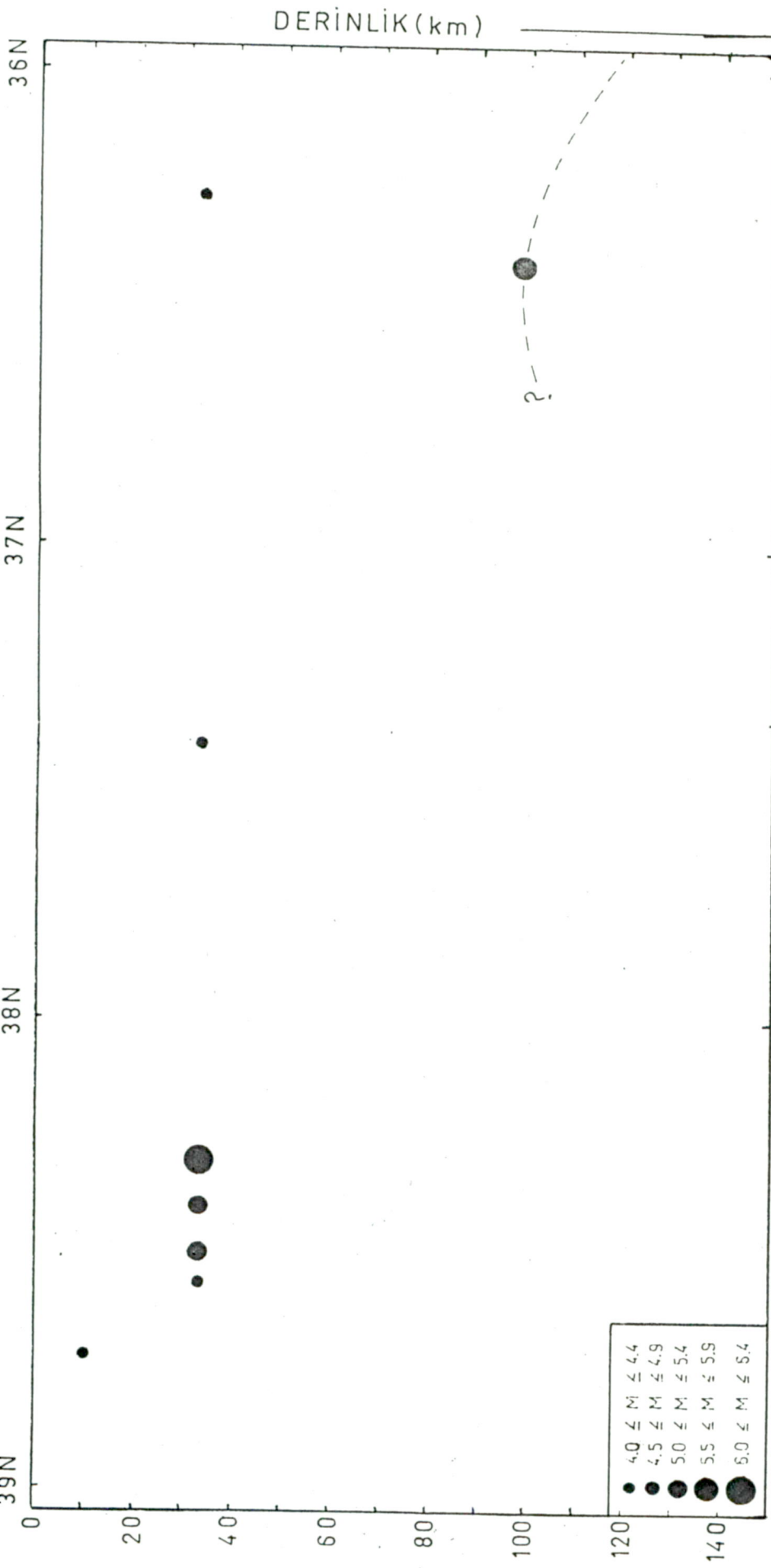
Sekil 5.5 Bölgenin  $28.8^{\circ}\text{E}$  –  $29.2^{\circ}\text{E}$  boylamında 1900 – 1985 yılları arasında oluşmuş depremle – rin derinlik kesiti.



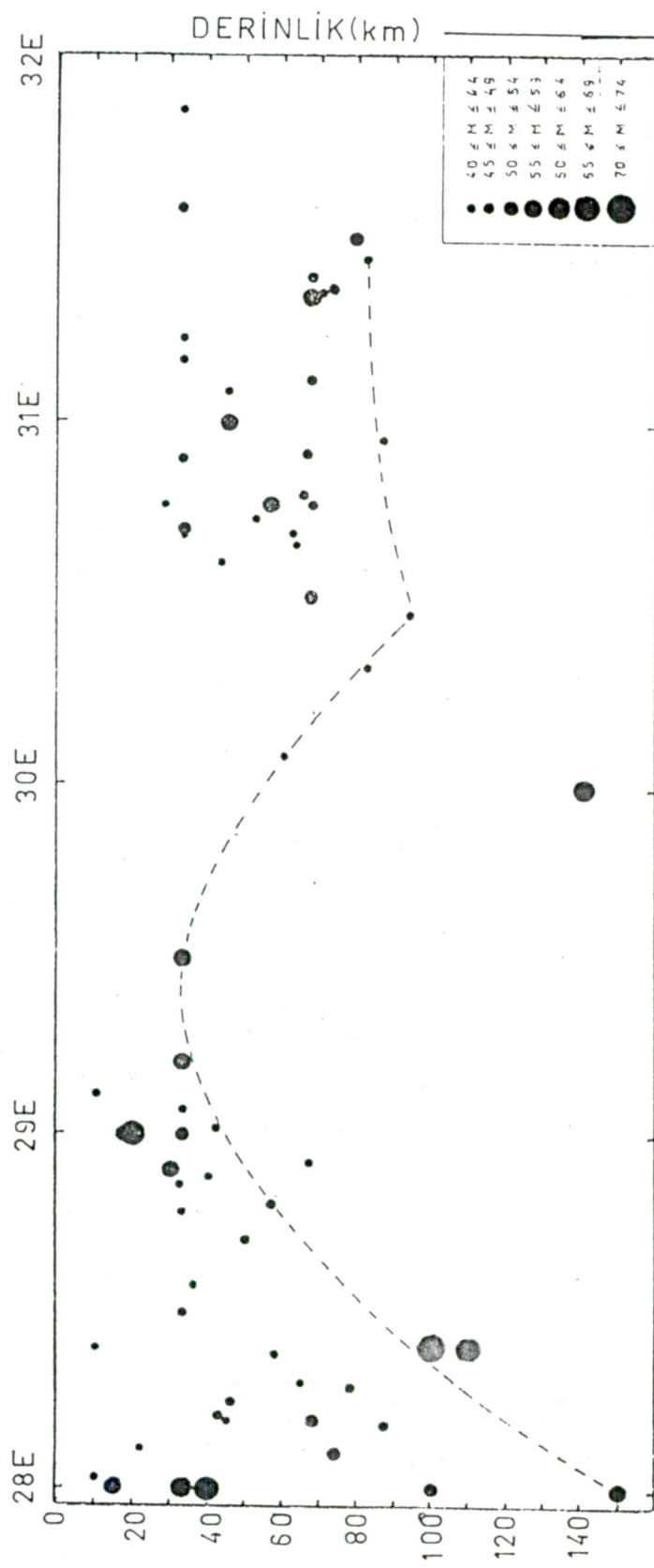
Sekil 5.6 Bölgenin  $29.8^{\circ}\text{E}$  -  $30.2^{\circ}\text{E}$  boylamında 1900 - 1985 yılları arasında oluşmuş depremlerin derinlik kesiti.



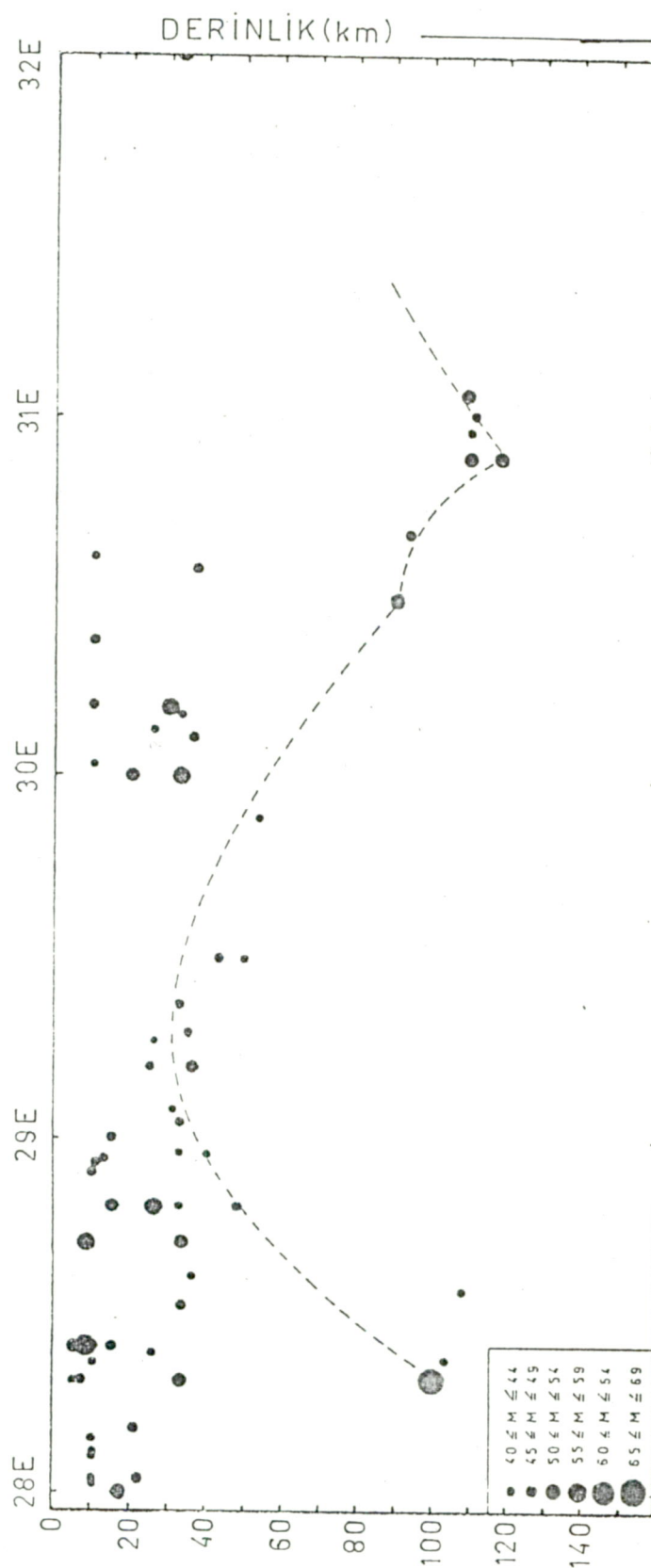
Şekil 5.7 Bölgenin  $30.8^{\circ}\text{E}$  –  $31.2^{\circ}\text{E}$  boylamında 1900 – 1985 yılları arasında oluşmuş depremle –  
rin derinlik kesiti.



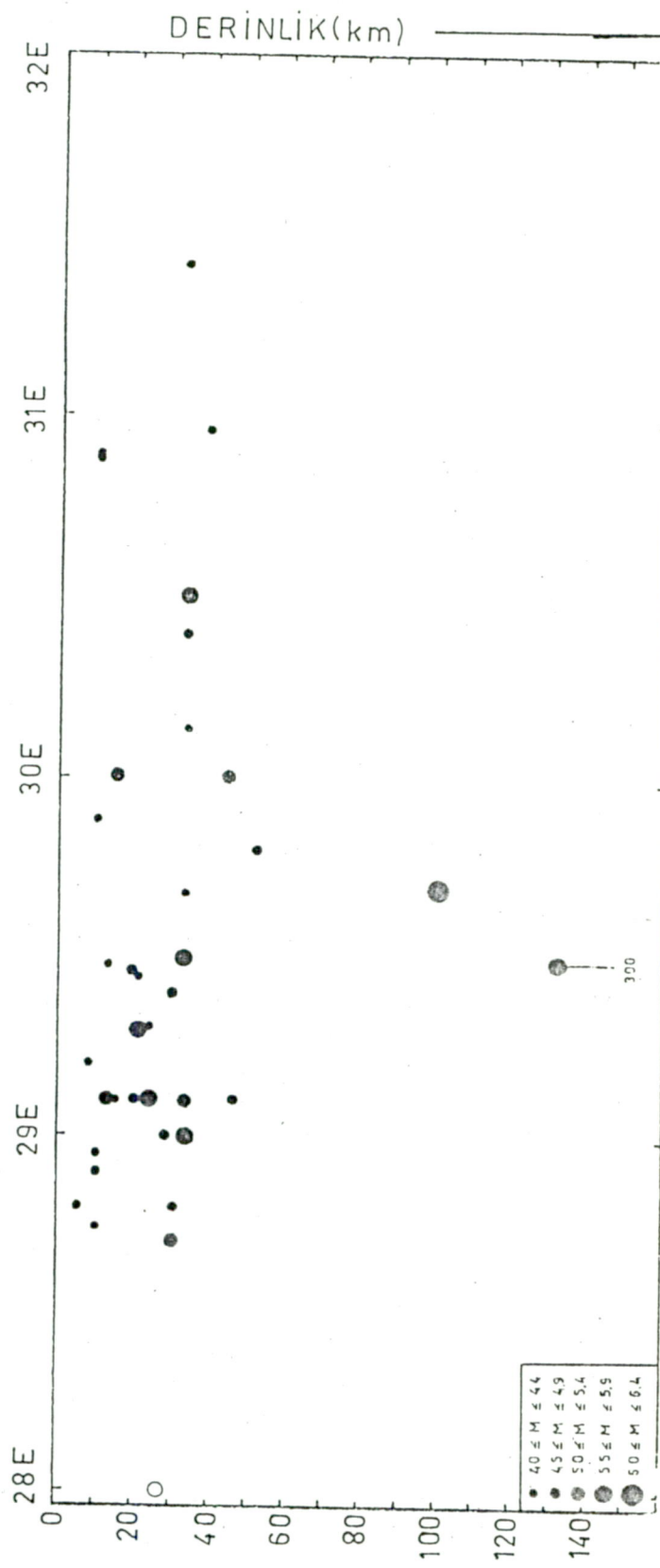
Sekil 5.8 Bölgenin  $31.6^{\circ}\text{E}$  -  $32.0^{\circ}\text{E}$  boylamında 1900 - 1985 yılları arasında oluşmuş depremlerin derinlik kesiti.



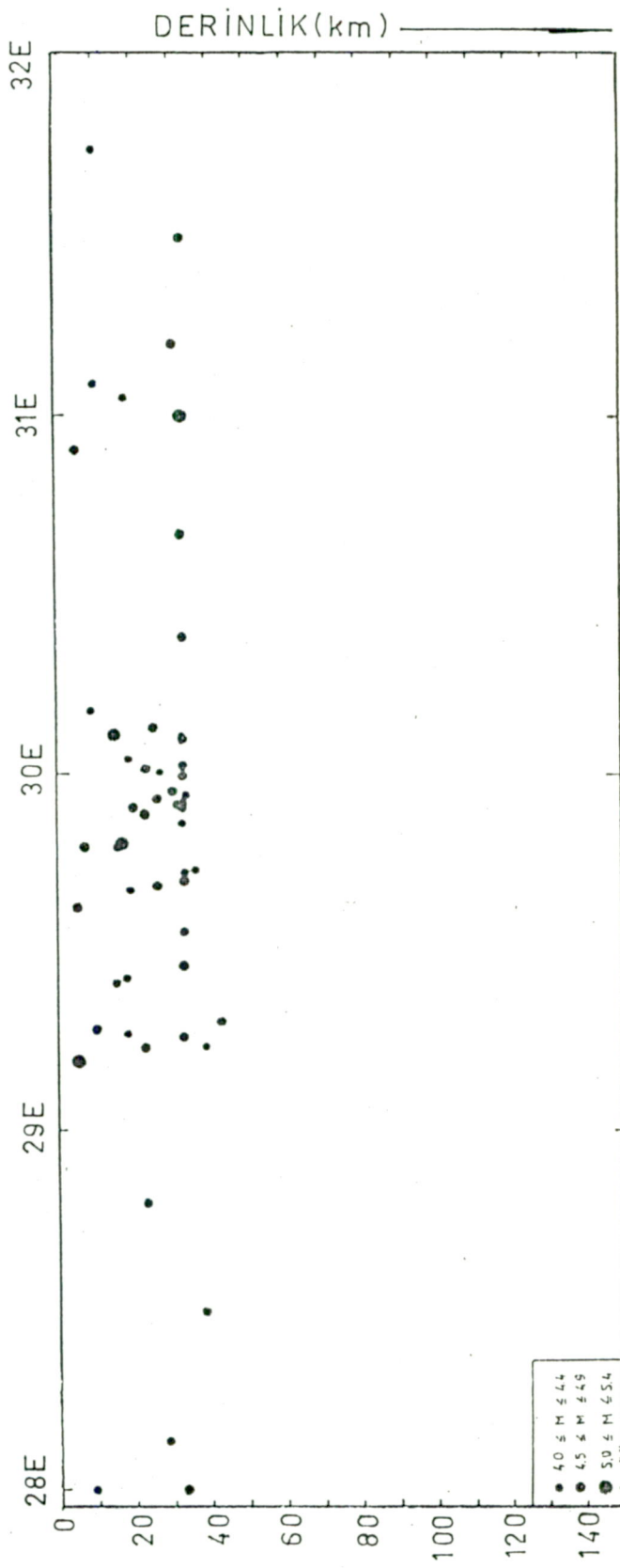
**Şekil 5.9** Bölgenin  $36.0^{\circ}\text{N}$  –  $36.4^{\circ}\text{N}$  enleminde 1900 – 1985 yılları arasında oluşmuş depremlerin derinlik kesiti.



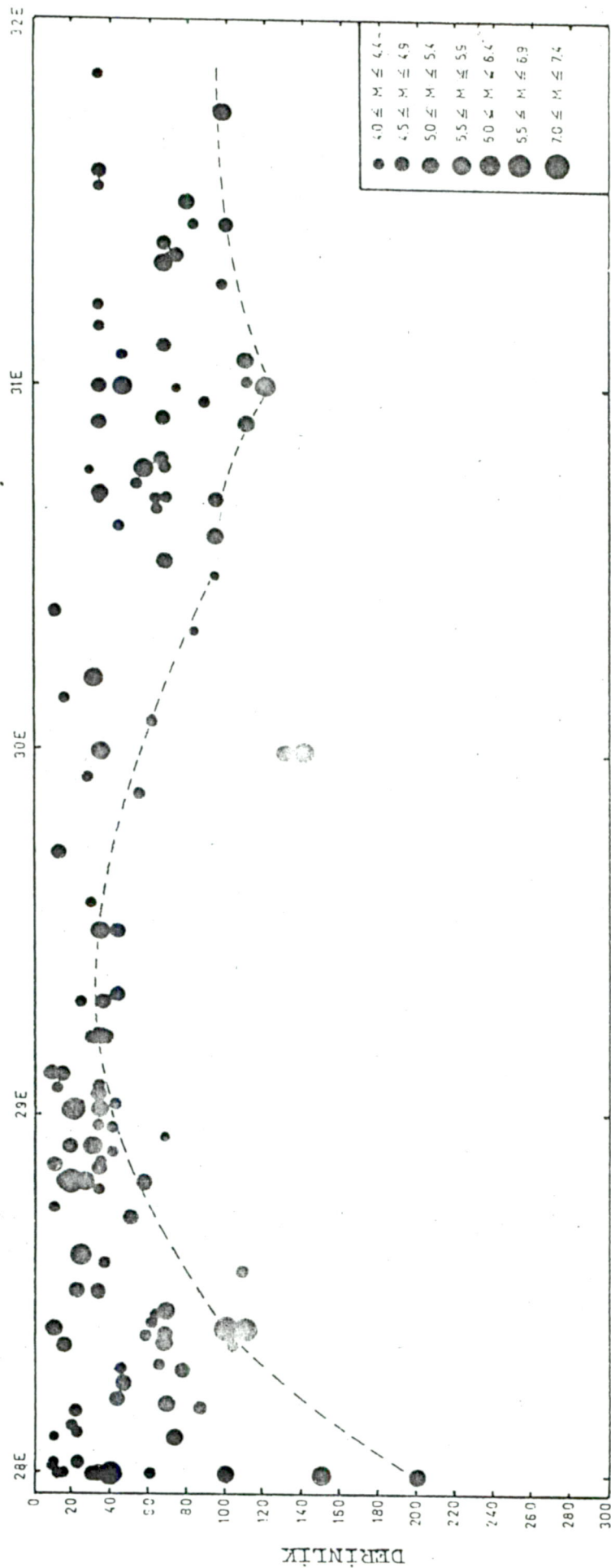
Sekil 5.10 Bölgenin  $36.8^{\circ}$ N -  $37.2^{\circ}$ N enleminde 1900 - 1985 yılları arasında oluşan muş depremlerinin derinlik kesiti.



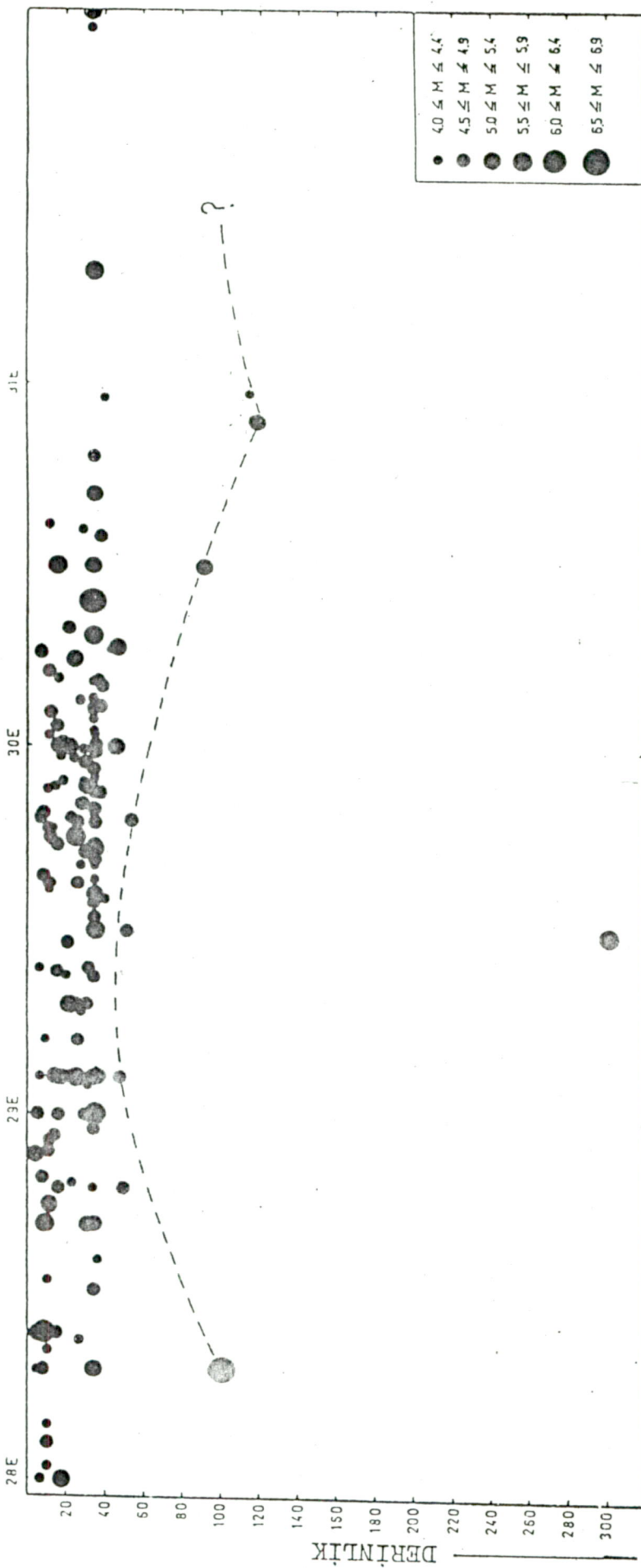
Sekil 5.11 Bölgenin  $37^{\circ}8'N - 38^{\circ}2'N$  enleminde 1900 - 1985 yılları arasında oluşan -  
mug depremlerin derinlik kesiti.



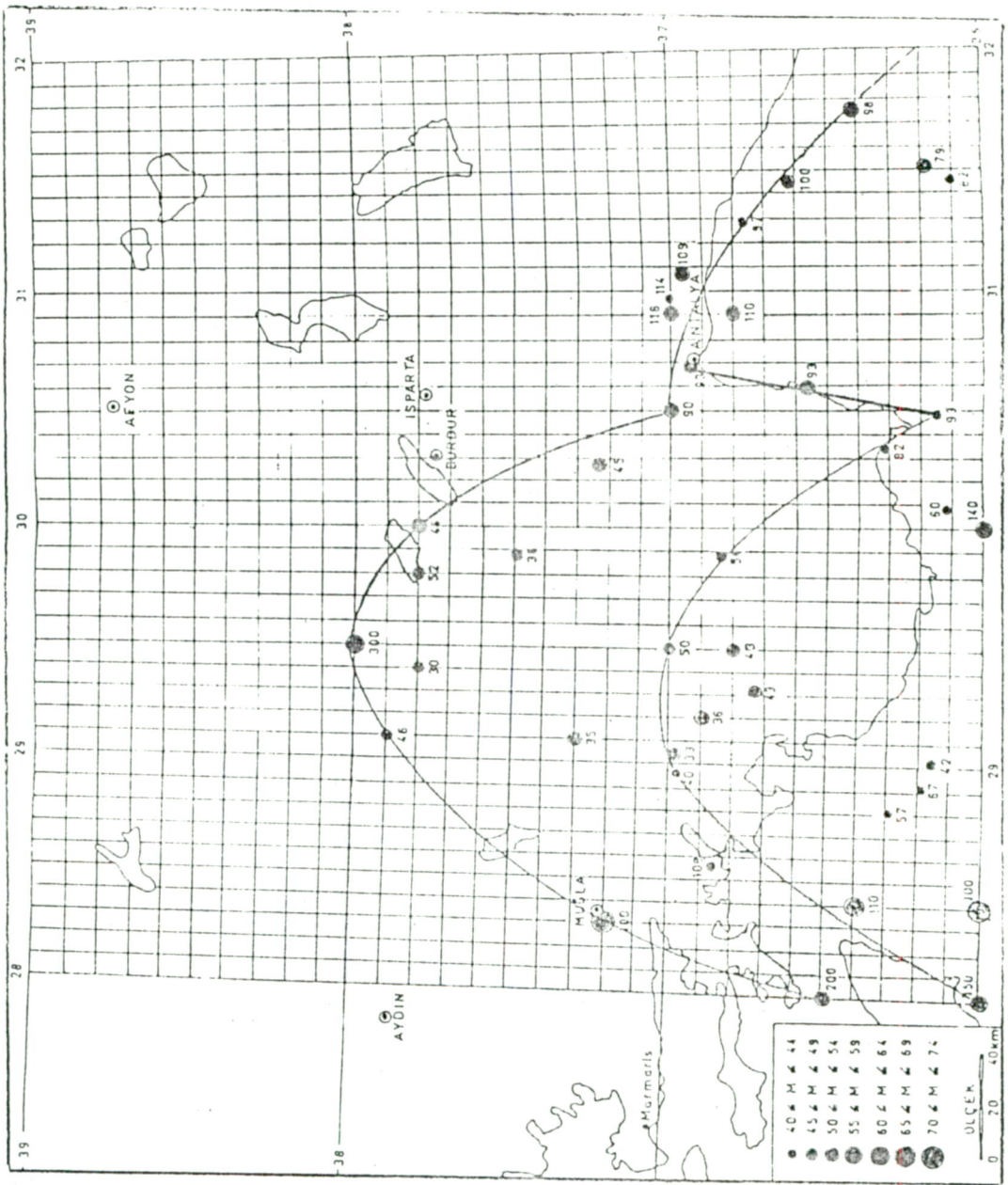
**Sekil 5.12** Bölgenin  $38.6^{\circ}\text{N}$  -  $39.0^{\circ}\text{N}$  enleminde 1900 - 1985 yılları arasında oluşmuş depremlerin derinlik kesiti.



Şekil 5.13 Bölgenin  $36^{\circ}$ N enleminde 1900 – 1985 yılları arasında oluşmuş depremlerin derinlik kesiti.



Şekil 5.14 Bölgenin  $37^{\circ}\text{N}$  enleminde 1900 – 1985 yılları arasında oluşmuş depremlerin derinlik kesiti.



**Sekil: 5.15** Bölgenin 36N ve 37N enlemine ait kesitlerde görülen kapan şekländeki yapıları oluşturan verilerin yeryüzündeki dağılımı.

yaklaşık  $40^{\circ}$  lik bir eğimle daldığı görülür. Bu dalım bir kama görünümünde olup, 28.8 E - 29.2 E boylamında sıç derinlige doğru bir kapan teşkil etmektedir(şekil:5.5). 29.8 E - 30.2 E boylamının güneyinde tekrar derin depremlerin olduğu görül - mektedir(şekil: 5.6). Bu depremler muhtemelen daha doğuda yer alan 30.8 E - 31.2 E boylamında bariz bir şekilde görülen ve yaklaşık eğimi  $50^{\circ}$  olan kama şeklindeki yapının batı kesimiyle ilgiliidir(şekil: 5.7). Doğu kısmında ise aynı yapının daha sıç derinlige doğru devam ettiği düşünülmektedir(şekil: 5.8).

36.0 N - 36.4 N enlemine ait kesit incelendiğinde, derin depremlerin batı kesiminde yer aldığı görülür(şekil: 5.9). Burada görülen yapının sınırları, depremlerin derinlikleri ya - nısırı episantr dağılımı da dikkate alınarak belirlenmiştir. 30.5 E boylamından itibaren levha sınırında bir değişim söz konusudur. 37.0 N enlemindeki durum; şekil: 5.9'da görülen yapıy - la yaklaşık aynı karakterdedir. Fakat, 30.5 E boylamından 31.0 E boylamına doğru daha derin olan depremler farklı bir yapı arzetmektedir(şekil: 5.10). Bu kesitte görülen  $h = 300$  km. ve  $h = 100$  km. derinliğindeki depremler, bölgenin güneyindeki ya - piyıyla ilgili değildir. Bölgenin kuzeyine doğru gidildikçe dep - rem olaylarının Moho süreksızlığıne kadar olan kabuk içerisinde - de kaldığı görülür. Enlemlere paralel olarak alınan kesitlerin bir nevi birleştirilmesiyle şekil(5.13) ve şekil(5.14)'de gö - rülen yapı kesitleri ortaya çıkmaktadır.

Enlemlere paralel olarak alınan kesitlerin gösterdiği tektonik yapıyı oluşturan sismik verilerin yeryüzündeki dağı - limi bölgenin kuzeyine doğru bir dalım gösterir(şekil: 5.15). Hiposantır'ları Moho süreksızlığından daha derin olan deprem - ler 38.0 N enleminden daha kuzeye geçmemektedir. Bu bölümde sunulan ve daha önce yapılan çalışmalarda belirtildiği gibi

Ege ve Kıbrıs yay kuşakları Burdur civarında kesişirler. İki yay kuşağı arasında görülen sıç odaklı depremler, derinlik kesitlerinde sınırları belirlenen kapan şeklindeki yapının sırtını teşkil etmektedir. Yine derinlik kesitleri ve yüzeydeki episantr dağılımı incelendiğinde; Yardımcı burnu ile Antalya arasında bir fay olduğu görülür. Bunun, levha hareketlerine bağlı olarak gelişen doğrultu atımlı bir fay olduğu düşünülmektedir.

Afrika levhasının Anadolu yarımadası altına dalımı, Antalya'nın doğusunda ve batısında farklı eğim ve hız'da gelişmektedir. Doğu'da daha sıç derinlikte olan dalımın eğimi fazla olmasına karşın batıda derine doğru inen levhanın dalım eğimi daha azdır.

## BÖLÜM 6

### SONUÇLAR

Bölgelenin depremselliğini incelemek amacıyla yapılan bu çalışmada, depremsellik yanında, sismolojik veriler özellikle levha tektoniği açısından değerlendirilmeye çalışılmıştır.

Bölgede meydana gelmiş tarihsel ve aletsel dönemlere ait depremler araştırılıp, incelenerek başlıca şu sonuçlar elde edilmiştir.

1. Gölleler Bölgesinde meydana gelen depremler genellikle sıç odaklı olup, güneye, Akdeniz'e doğru gidildikçe odak derinlikleri artmaktadır 100 - 150 km ye kadar ulaşmaktadır.

2. Isparta ve Burdur illerinin kuzeyinde ve güneydoğusunda deprem oluşumu itibariyle sakin alanlar bulunmaktadır.

3. Gölleler Bölgesinin frekans - magnitüd bağıntısı  $M \geq 4.0$  için;

$$\log N = 6.31 - 0.85$$

olarak bulunmuştur. Daha önce yapılan çalışmalara oranla a ve b değerlerinde bir artış görülmüştür. a parametresi, gözlem peryodunun ve sismik aktivitenin artmasıyla artmıştır. Bölgede, son senelerde oluşan depremlerin genellikle sıç odaklı olması ve incelenen zaman peryodunun genişlemesiyle b de de artış meydana gelmiştir.

4. Bölgelenin sismotektonik durumunu incelemek amacıyla enlem ve boylamlar boyunca  $0.4^{\circ}$  lik alanlar için derinlik kesitleri hazırlanmıştır. Bu kesitler şu şekilde yorumlanabilir.

a) Bölgelenin güneybatısında Afrika levhası, Anadolu

levhasının altına yaklaşık  $40^{\circ}$  lik bir eğimle dalmaktadır. Bu zon'da görülen 100 - 150 km derilikteki deprem odakları doğuya doğru sıçラşmakta,  $30^{\circ}$ E boylamından itibaren tekrar derinleşmektedir.

b) Buna göre, Afrika levhası kuzeye doğru kubbemsi bir yapı oluşturarak Anadolu levhası altına dalmaktadır (Şe-kil 5.13 ve 5.14). Bu dalmış zaman itibariyle oldukça gençtir. Afrika levhasının, Anadolu levhası altına dalımı, Antalya'nın doğusunda ve batısında farklı eğim ve hızda gelişmektedir. Doğu da daha sıçラş derinlikte olan dalının eğimi fazla olmasına karşın, batıda, derine doğru inen levhanın eğimi daha azdır.

Bölge için genel olarak hesaplanan ve yıllık ortalama oluşumlara dayanan sismik risk hesabında  $M \geq 5.0$  olan bir depremin geri dönüş peryodu 63 yıldır. 12.5.1971 Burdur depremi büyüklüğünə karşı gelen yaklaşık  $150 \text{ cm} / \text{sn}^2$  lik bir ivme degerinin, Burdur ve civarı için aşılma olasılığı % 1.58 olarak bulunmuştur.

#### ÖNERİLER:

Bölge depremsellik ve tektonik yönleriyle araştırılma-ya değer nitelikte ve önemdedir. Bölgede kurulacak yerel sis-mografi örücü (şebekе) bu amaçlar için gerekli verileri sağlaya-caktır. 1 derece deprem bölgesi olan bu alan için böyle bir sistemin kurulup çalıştırılması günümüz teknolojisi açısından gerekli ve zorunlu olmaktadır.

EK 1

## ÇALIŞMADA KULLANILAN DEPREM PARAMETRELERİ



YIL	AY	GU	SA	DA	SEC	ENLEM	BOYOLAM	MAG	h
1940	1	4	0	0	0.0	37700N	29100E	3.9	05
1941	5	23	19	51	0.0	37200N	28400E	6.0	08
1941	5	23	19	25	0.0	37200N	28400E	4.5	10
1941	5	23	20	34	0.0	37200N	28400E	5.3	10
1941	5	23	23	0	0.0	37200N	28400E	5.2	10
1941	6	7	19	52	0.0	37200N	28300E	4.4	05
1941	6	23	8	0	0.0	37200N	28300E	4.9	07
1941	9	21	22	40	0.0	37200N	28300E	5.2	33
1941	10	14	0	0	0.0	37200N	28400E	4.6	15
1941	12	13	6	15	0.0	37200N	28300E	6.5	100
1942	2	5	1	15	0.0	38900N	29800E	5.4	17
1943	1	1	0	0	0.0	37200N	28400E	5.1	05
1943	1	8	23	56	0.0	37000N	28000E	5.2	17
1943	10	16	13	8	0.0	36400N	28400E	6.6	110
1943	11	15	11	43	0.0	36900N	28800E	5.2	15
1943	11	20	10	1	0.0	36900N	28800E	5.6	26
1945	12	21	18	35	0.0	37900N	29000E	4.7	04
1946	4	12	7	36	0.0	38200N	28000E	5.0	27
1946	7	16	19	45	0.0	38500N	31000E	5.2	30
1947	1	27	3	31	0.0	37700N	30600E	5.4	--
1947	5	3	4	14	0.0	39000N	30000E	5.3	15
1948	1	13	14	30	0.0	38100N	28800E	4.8	30
1948	4	30	14	50	0.0	36000N	31000E	5.8	45
1948	8	10	13	26	0.0	38400N	29400E	4.9	25
1948	8	20	0	0	0.0	38100N	28800E	3.9	05
1949	5	8	9	36	0.0	38400N	29000E	4.1	08
1950	1	2	13	43	0.0	38000N	30000E	4.1	15
1950	6	4	14	11	0.0	36500N	28500E	4.8	22
1951	2	2	23	59	0.0	37000N	30500E	5.4	90
1951	11	11	13	43	0.0	36000N	29000E	4.5	--
1952	9	23	20	30	0.0	36900N	29300E	4.7	35
1953	1	12	9	31	0.0	36000N	28000E	4.3	--
1953	7	22	15	9	0.0	39000N	28400E	5.2	25
1954	4	8	4	18	0.0	37200N	29200E	4.8	25
1956	5	5	20	42	0.0	37000N	28200E	4.1	--
1956	5	5	22	29	0.0	37000N	28200E	4.1	--
1957	2	5	17	20	0.0	36200N	28400E	4.3	10
1957	4	24	19	10	0.0	36000N	29000E	6.7	20
1957	4	25	2	25	0.0	36500N	28800E	7.0	18
1957	4	25	7	52	0.0	36500N	28900E	4.5	18
1957	4	26	6	33	0.0	36200N	28900E	5.9	30
1957	4	26	16	9	0.0	36300N	29100E	4.1	--
1958	5	23	19	49	0.0	36500N	28000E	4.1	13
1958	12	9	8	54	0.0	36500N	28000E	4.3	15
1958	12	19	3	27	0.0	37400N	29100E	5.0	16
1959	1	6	18	29	0.0	36800N	29200E	4.3	--
1959	1	6	19	59	0.0	36800N	28000E	4.1	--

YIL	AY	GU	SA	DA	SEC	ENLEM	BOYOLAM	MAG	h
1959	1	7	22	21	0.0	36600N	29100E	4.4	07
1959	1	9	18	9	0.0	37000N	29100E	4.3	--
1959	1	11	4	27	0.0	36600N	29100E	4.5	14
1959	1	17	2	53	0.0	36700N	29100E	4.3	--
1959	1	20	11	15	0.0	36500N	29000E	4.3	--
1959	1	20	20	41	0.0	36700N	28700E	4.2	--
1959	1	26	11	38	0.0	37000N	29500E	4.8	50
1959	1	26	16	15	0.0	36700N	29000E	4.3	--
1959	3	1	19	56	0.0	37000N	29000E	4.3	--
1959	4	25	0	26	0.0	37000N	28700E	5.9	08
1959	4	25	1	5	0.0	36600N	28400E	5.2	10
1959	6	9	11	21	0.0	36500N	28700E	4.3	--
1959	6	10	6	42	0.0	36800N	29100E	4.3	--
1959	12	8	9	35	0.0	37200N	28800E	4.8	--
1960	1	9	3	58	0.0	37200N	29000E	4.8	15
1960	1	15	10	41	0.0	37200N	29000E	4.2	--
1960	1	17	21	45	0.0	37200N	29000E	4.2	--
1960	1	19	0	5	0.0	36900N	28800E	4.2	--
1960	1	19	21	27	0.0	36700N	28800E	4.3	--
1960	1	20	18	11	0.0	36700N	28800E	4.3	--
1960	1	21	11	6	0.0	36700N	28800E	4.3	--
1960	1	21	11	30	0.0	36700N	28800E	4.3	--
1960	1	21	19	52	0.0	36500N	28200E	4.2	--
1960	1	26	3	12	0.0	36500N	28500E	4.2	--
1960	1	26	13	5	0.0	36600N	29100E	4.9	08
1960	1	26	13	13	0.0	36800N	28800E	4.3	--
1960	1	26	13	34	0.0	36800N	28800E	4.3	--
1960	1	26	20	7	0.0	36600N	28700E	4.3	--
1960	1	27	2	28	0.0	36600N	28700E	4.3	--
1960	1	28	4	31	0.0	36600N	29100E	4.1	--
1960	1	29	16	44	0.0	36800N	28800E	4.3	--
1960	1	31	23	6	0.0	36800N	29000E	4.1	--
1960	2	6	22	21	0.0	36000N	28500E	4.3	--
1960	4	8	2	45	0.0	36200N	28200E	4.2	--
1961	3	25	2	45	0.0	37400N	29400E	4.0	05
1961	5	23	2	45	0.0	36500N	28600E	6.3	24
1961	6	21	16	12	0.0	37800N	29100E	5.0	13
1963	2	16	6	21	0.0	36700N	28000E	4.1	60
1963	3	11	7	27	0.0	37900N	29100E	5.6	24
1963	5	23	10	14	0.0	36600N	30000E	5.4	130
1963	7	8	16	2	0.0	36600N	28000E	4.7	30
1963	7	26	16	12	0.0	37200N	29100E	4.3	--
1963	7	26	19	47	0.0	36800N	28900E	4.1	--
1963	7	30	4	23	0.0	36500N	28500E	3.9	--
1963	9	29	13	35	0.0	36600N	29200E	4.6	30
1963	11	22	20	26	0.0	37300N	29800E	4.4	05
1963	11	22	21	41	0.0	37200N	30000E	5.1	20

YIL	AY	GU	SA	DA	SEC	ENLEM	BOYLM	MAG	h
1964	1	29	22	29	0.0	36400N	28900E	3.9	--
1964	1	30	17	45	0.0	36900N	30200E	5.7	30
1964	3	31	9	33	0.0	36300N	28800E	4.7	57
1964	4	25	1	11	0.0	37800N	29800E	4.5	52
1964	6	8	16	49	0.0	36300N	28300E	4.4	65
1964	7	16	17	40	0.0	36100N	30800E	4.6	65
1964	8	25	11	11	0.0	36100N	28700E	4.9	50
1964	8	27	19	32	0.0	36000N	29000E	5.4	18
1964	10	13	10	30	0.0	36900N	28300E	4.4	--
1965	1	29	7	29	0.0	37000N	28000E	4.5	--
1965	3	2	22	0	0.0	38300N	28100E	5.5	32
1965	3	3	1	37	0.0	38300N	28500E	4.5	42
1965	3	26	20	29	0.0	36800N	30900E	5.3	110
1965	6	13	20	1	0.0	37800N	29300E	5.7	21
1965	6	17	2	58	0.0	37800N	29400E	4.7	30
1965	0	12	9	51	0.0	37600N	29300E	4.6	23
1965	9	19	14	3	0.0	38900N	28000E	4.3	09
1965	10	4	1	50	0.0	37900N	29200E	4.2	08
1965	12	2	6	45	0.0	37700N	29300E	4.6	29
1966	1	13	1	44	12.6	38400N	28500E	4.4	33
1966	1	22	0	23	42.1	37700N	30000E	4.9	20
1966	2	8	13	16	21.3	36200N	28100E	5.3	74
1966	3	25	23	17	0.0	39000N	29300E	4.7	43
1966	3	29	2	36	0.0	38000N	28800E	4.0	--
1966	3	29	23	22	0.0	38300N	29100E	3.9	--
1966	4	1	13	15	0.0	38700N	28500E	4.7	38
1966	5	9	3	51	8.0	37000N	30900E	5.0	118
1966	5	22	7	37	28.5	38700N	28000E	4.6	33
1966	8	16	21	1	46.6	37200N	28800E	4.6	48
1966	9	25	3	10	0.0	37800N	30000E	5.1	44
1966	11	3	13	17	50.8	38800N	30900E	4.6	05
1966	12	29	7	41	18.7	36200N	30900E	4.6	33
1967	5	22	19	46	1.4	36734N	29320E	4.5	43
1967	6	1	10	39	22.8	36900N	29200E	5.0	36
1967	6	13	12	54	10.0	39000N	31200E	4.5	31
1967	6	18	15	28	54.1	36800N	29500E	4.8	43
1967	6	30	4	24	1.2	37700N	30600E	4.4	28
1967	7	1	3	24	42.1	36100N	31400E	4.5	67
1967	7	19	9	6	19.0	37900N	29000E	4.7	28
1967	8	9	0	33	11.8	37100N	28800E	4.2	33
1967	8	26	14	17	57.4	37300N	30800E	4.5	33
1967	9	5	8	31	1.1	36700N	29300E	4.4	24
1967	10	26	4	55	58.3	37300N	29100E	5.1	35
1967	11	13	6	50	3.3	37600N	29100E	4.6	46
1968	7	4	2	27	54.0	36880N	28554E	4.4	108
1968	11	3	18	39	58.8	38819N	29190E	5.0	05
1968	11	3	18	44	2.1	36610N	29720E	4.6	12

YIL	AY	GU	SA	DA	SEC	ENLEM	BOYLM	MAG	h
1969	1	8	3	4	49.1	37817N	31130E	4.3	33
1969	1	14	23	12	7.9	38175N	29203E	5.5	33
1969	3	4	1	47	25.5	36963N	31075E	5.0	109
1969	3	12	14	54	5.3	36767N	31287E	4.3	97
1969	3	25	13	28	49.8	38746N	28417E	4.8	40
1969	3	25	14	40	19.9	38506N	29326E	4.7	25
1969	3	28	1	48	30.4	38587N	28449E	6.0	09
1969	3	28	5	40	10.0	38231N	28968E	4.6	03
1969	4	21	20	57	39.6	36381N	28576E	4.4	36
1969	4	23	21	19	28.6	38565N	31980E	4.2	33
1969	4	24	14	45	48.0	38358N	28671E	4.7	48
1969	4	26	8	25	14.5	36659N	28491E	4.3	33
1969	4	27	10	58	22.0	36463N	28353E	4.7	15
1969	7	11	1	45	25.1	36174N	28854E	4.4	33
1969	9	6	20	30	39.6	36732N	28358E	5.1	67
1969	11	3	13	17	0.0	39000N	31100E	4.6	--
1969	11	15	2	54	37.4	37771N	29809E	4.6	06
1969	12	21	22	1	6.7	36694N	28385E	4.7	68
1970	3	28	21	41	18.6	38987N	29256E	4.6	33
1970	3	28	22	5	27.8	38780N	29789E	4.6	07
1970	3	29	2	40	34.0	38949N	29458E	4.5	33
1970	3	30	6	46	24.4	38970N	28798E	4.5	23
1970	3	30	20	38	0.9	38977N	29620E	4.5	05
1970	3	31	11	57	58.0	38981N	29679E	4.7	26
1970	4	1	17	55	11.2	38958N	29224E	4.5	23
1970	4	3	23	19	38.6	38067N	29479E	4.3	13
1970	4	4	16	48	0.0	38900N	29900E	4.6	33
1970	4	5	5	47	24.8	38872N	29789E	4.5	16
1970	4	10	1	14	0.0	38700N	28400E	4.2	--
1970	4	12	19	55	25.0	38902N	29411E	4.3	15
1970	4	17	20	27	0.0	38900N	29700E	4.0	--
1970	4	18	5	37	0.0	38200N	29400E	4.3	--
1970	4	18	12	31	9.2	38823N	29695E	4.6	33
1970	4	18	23	6	0.0	38800N	29900E	4.1	--
1970	4	19	22	5	54.1	38902N	29909E	4.5	33
1970	4	20	2	23	26.7	38961N	30101E	4.5	33
1970	4	20	18	0	34.0	38832N	29720E	4.4	33
1970	4	20	18	33	13.3	38899N	30656E	4.5	33
1970	4	21	1	33	1.3	38920N	30374E	4.5	33
1970	4	21	18	4	10.3	38976N	29552E	4.3	33
1970	4	23	7	18	29.2	38965N	30112E	5.0	15
1970	4	24	14	37	19.2	36783N	28835E	4.6	33
1970	4	26	23	15	2.7	38854N	29907E	4.4	33
1970	4	27	1	54	10.5	38989N	30129E	4.6	25
1970	4	27	9	34	34.2	38991N	30023E	4.5	33
1970	5	6	21	2	0.0	38900N	29900E	4.2	--

YIL	AY	GU	SA	DA	SEC	ENLEM	BOYLM	MAG	h
1970	5	8	2	49	15.6	38903N	29948E	4.7	30
1970	5	8	6	58	59.1	38875N	29935E	4.4	34
1970	5	8	14	0	39.8	38939N	30005E	4.3	27
1970	5	11	16	28	30.8	38922N	30110E	4.3	33
1970	5	14	21	34	4.8	38856N	30039E	4.2	19
1970	5	28	2	52	17.1	38908N	29728E	4.4	36
1970	5	29	23	38	50.8	38120N	29304E	4.3	24
1970	6	20	6	4	24.8	38954N	29924E	4.5	26
1970	9	21	19	8	2.3	38848N	29908E	4.2	32
1970	9	28	19	54	9.4	37102N	28602E	4.2	36
1970	10	19	1	32	27.6	36986N	29042E	4.6	33
1970	10	24	19	34	10.9	37029N	29078E	4.1	31
1970	11	11	20	58	13.2	36121N	28208E	4.9	43
1970	11	17	0	24	36.8	36678N	29581E	4.4	29
1970	11	21	2	13	51.3	36958N	28955E	4.3	33
1970	12	28	3	42	15.5	37050N	28928E	4.5	11
1970	12	28	17	0	47.9	36057N	28250E	4.5	46
1971	1	2	3	25	39.4	36981N	28952E	4.3	40
1971	1	3	12	46	8.6	37268N	28813E	4.4	22
1971	1	31	5	37	31.1	37156N	30579E	4.6	37
1971	2	1	1	12	26.8	37228N	30177E	4.5	35
1971	2	7	4	59	44.5	36073N	28112E	4.2	22
1971	2	20	7	15	20.4	37840N	29465E	4.6	19
1971	2	22	14	27	44.7	37238N	30270E	5.0	45
1971	2	24	2	14	41.6	37092N	28900E	4.5	10
1971	2	25	4	46	55.0	37054N	28943E	4.5	13
1971	2	26	11	54	42.1	37478N	29829E	4.8	33
1971	2	28	23	11	48.5	37389N	29680E	4.2	26
1971	3	8	22	44	47.3	37515N	29736E	4.7	21
1971	4	10	13	21	55.0	38918N	28131E	4.7	28
1971	5	12	6	25	13.0	37588N	29757E	5.5	23
1971	5	12	6	44	9.7	37607N	30184E	4.4	15
1971	5	12	8	26	33.6	37599N	29813E	4.3	33
1971	5	12	10	10	24.9	37490N	29693E	4.8	33
1971	5	12	10	10	37.2	37526N	29725E	5.5	33
1971	5	12	12	57	24.8	37585N	29600E	5.4	33
1971	5	12	14	23	35.4	37553N	29614E	4.3	33
1971	5	12	15	11	51.7	37521N	29973E	4.3	33
1971	5	12	17	12	25.4	37576N	29957E	4.7	28
1971	5	12	17	48	3.0	37441N	29640E	4.4	33
1971	5	12	19	2	25.6	37512N	29796E	4.5	33
1971	5	12	20	13	8.1	37495N	29876E	4.8	36
1971	5	13	4	7	21.3	37583N	29965E	4.4	23
1971	5	13	4	45	27.5	37463N	29735E	4.8	14
1971	5	13	8	14	33.0	37609N	30053E	4.6	14
1971	5	13	8	30	25.0	37684N	30048E	4.4	33

YIL	AY	GU	SA	DA	SEC	ENLEM	BOYLAM	MAG	h
1971	5	13	13	28	39.5	37635N	29932E	4.7	33
1971	5	13	22	47	7.3	37662N	29905E	4.4	17
1971	5	13	23	32	54.9	37591N	29917E	4.4	33
1971	5	14	4	18	30.2	37660N	30077E	4.4	33
1971	5	14	22	18	23.0	37673N	30005E	4.5	33
1971	5	14	22	51	10.7	37410N	29534E	4.7	33
1971	5	15	12	19	56.9	37483N	29906E	4.3	33
1971	5	16	5	27	51.0	37621N	30103E	4.6	33
1971	5	16	8	39	34.1	37538N	29910E	4.5	33
1971	5	16	9	25	1.4	37569N	29736E	4.9	33
1971	5	17	14	16	17.9	37666N	29878E	4.8	33
1971	5	18	2	3	55.1	37526N	29795E	4.5	33
1971	5	20	1	14	37.4	37599N	29882E	4.4	33
1971	5	20	3	6	45.3	37580N	29984E	4.8	33
1971	5	21	9	41	12.2	37511N	29651E	4.9	07
1971	5	23	1	2	54.7	37594N	30100E	4.4	33
1971	5	23	2	36	35.2	37553N	29580E	4.3	33
1971	5	23	4	26	6.3	37638N	29971E	4.3	16
1971	5	23	5	19	8.1	37611N	30095E	4.5	11
1971	5	23	20	11	21.6	37550N	29904E	4.7	33
1971	5	24	11	17	49.6	37521N	30031E	4.4	33
1971	6	4	15	6	12.1	37572N	29846E	4.6	27
1971	6	8	16	59	24.8	37523N	29774E	4.7	10
1971	6	8	23	42	55.2	37555N	29715E	4.8	28
1971	6	9	2	57	25.5	37574N	29744E	4.4	12
1971	6	15	22	55	45.5	37053N	28960E	4.6	33
1971	6	19	0	27	15.7	37116N	29373E	4.7	33
1971	6	28	23	37	39.9	37548N	29819E	4.9	07
1971	6	29	4	26	31.2	37458N	29889E	4.9	28
1971	7	8	6	35	22.1	37031N	29273E	4.3	26
1971	8	7	17	7	24.2	38868N	29900E	4.5	20
1971	8	9	4	40	46.5	37550N	29755E	4.8	11
1971	8	9	11	32	31.0	37563N	29991E	4.4	28
1971	9	5	12	19	56.9	37263N	30322E	4.5	20
1971	9	8	17	1	9.2	37278N	30253E	4.8	06
1971	9	9	15	10	3.4	37300N	30235E	5.3	23
1971	9	21	16	48	51.6	37274N	30165E	4.8	37
1971	9	28	5	10	24.8	37119N	30109E	4.7	36
1971	9	30	8	45	58.0	37681N	30098E	4.5	33
1971	10	3	7	44	26.9	38947N	29869E	4.7	23
1971	10	3	17	18	53.7	36757N	29925E	4.4	27
1971	10	6	1	46	38.3	38312N	30154E	4.6	19
1971	10	9	22	29	16.0	37275N	30241E	4.5	33
1971	10	10	2	10	51.4	37173N	30127E	4.3	26
1971	10	16	9	45	36.0	36601N	28447E	4.8	61
1971	10	21	7	11	36.9	38009N	30395E	4.6	33

YIL	AY	GU	SA	DA	SEC	ENLEM	BOYLM	MAG	h
1971	11	26	16	22	30.0	36068N	29065E	4.4	33
1971	12	7	0	51	18.3	37560N	29777E	4.2	12
1972	1	22	17	17	31.4	37587N	29890E	4.4	13
1972	5	28	3	14	36.3	38947N	29992E	4.7	33
1972	6	28	9	9	38.5	38942N	29669E	4.0	19
1972	7	31	23	55	11.7	36043N	31593E	4.5	33
1973	2	7	20	8	23.0	37760N	29706E	4.4	35
1973	2	25	14	55	21.1	38844N	29425E	4.1	18
1973	2	27	17	10	10.6	38852N	29854E	4.2	33
1973	3	12	8	31	14.0	37535N	29905E	4.4	28
1973	3	21	8	16	23.5	37090N	30173E	4.3	33
1973	4	22	22	20	58.6	37285N	30265E	4.3	42
1973	6	9	19	9	33.1	36215N	28379E	4.1	58
1973	7	28	18	55	10.8	36081N	31358E	4.4	70
1973	7	29	15	1	20.6	37017N	28379E	4.1	26
1973	9	18	8	47	40.5	36680N	30141E	4.4	15
1973	10	30	19	40	3.8	37748N	29383E	4.3	19
1973	11	10	18	26	13.1	37803N	30961E	4.4	39
1973	11	30	6	47	49.2	37320N	29630E	4.5	25
1973	12	8	19	40	5.3	37363N	29489E	4.5	14
1974	1	26	5	19	16.6	37404N	29756E	4.4	25
1974	2	5	18	23	26.2	37309N	29583E	4.4	39
1974	2	10	4	12	0.4	37333N	29572E	4.6	33
1974	4	28	0	55	32.8	36269N	31854E	4.2	33
1974	7	9	2	32	17.6	36652N	28449E	5.0	69
1974	8	29	8	2	29.6	38830N	29268E	4.2	18
1974	11	23	21	47	33.9	37721N	31952E	4.3	33
1974	12	24	10	27	42.8	37521N	29796E	4.6	25
1975	4	30	4	28	56.9	36184N	30772E	5.6	56
1975	5	31	5	36	52.9	36162N	29015E	4.0	42
1975	5	31	12	41	23.9	36642N	28131E	4.0	19
1975	6	10	8	42	27.8	36153N	30659E	4.2	63
1975	6	21	16	19	29.9	36105N	31169E	4.2	33
1975	8	30	17	5	53.0	38600N	30175E	4.1	09
1975	9	20	5	40	19.6	36161N	30684E	4.1	33
1975	10	28	23	41	40.2	38711N	31014E	4.5	23
1975	11	12	9	3	49.5	36346N	28193E	5.2	68
1976	2	15	23	36	34.9	36083N	28877E	4.4	40
1976	2	15	23	36	42.2	36870N	28640E	4.2	--
1976	3	28	0	55	25.0	36260N	30670E	4.0	--
1976	5	3	9	46	41.8	37100N	28690E	4.1	--
1976	5	14	1	23	13.0	37836N	29444E	4.1	21
1976	5	27	1	55	17.1	36870N	29120E	4.0	--
1976	7	23	6	44	48.0	38200N	31420E	4.1	33
1976	8	14	10	15	40.9	36103N	31229E	4.0	33
1976	8	19	1	12	36.7	37703N	28893E	5.0	03

YIL	AY	GU	SA	DA	SEC	ENLEM	BOYLM	MAG	H
1976	8	19	1	12	39.2	37960N	28800E	4.6	--
1976	9	7	21	17	3.8	38270N	30880E	4.0	--
1976	9	16	6	54	26.5	37530N	29460E	4.0	--
1976	9	24	13	40	6.9	36540N	31550E	4.0	33
1977	1	23	6	58	4.2	37890N	29680E	4.0	33
1977	3	8	3	1	36.7	36543N	28439E	4.1	63
1977	4	11	16	23	1.9	36932N	30685E	4.6	93
1977	4	18	2	4	14.5	36400N	28970E	4.0	--
1977	4	21	3	25	50.7	38770N	31540E	4.0	--
1977	5	3	17	51	50.9	36670N	31140E	4.1	--
1977	6	1	12	54	49.2	36243N	31344E	5.7	67
1977	6	8	4	49	53.8	36207N	28774E	4.0	33
1977	6	13	8	59	35.3	37260N	29180E	4.0	--
1977	6	15	11	16	22.5	36120N	31120E	4.0	--
1977	7	2	22	1	50.1	36049N	30915E	4.5	66
1977	9	10	6	56	34.6	37900N	28450E	4.2	--
1977	9	25	19	56	56.7	38689N	31050E	4.3	18
1977	10	14	14	11	0.2	37418N	31996E	4.2	33
1977	11	28	2	59	13.9	36300N	28030E	5.0	--
1977	12	16	7	40	47.6	38490N	28020E	4.4	--
1977	12	22	8	34	15.2	37120N	29730E	4.2	--
1978	1	11	3	57	45.4	37482N	28828E	4.5	87
1978	3	21	2	38	27.1	37000N	30969E	4.2	114
1978	4	14	8	59	40.7	36900N	29120E	4.0	--
1978	4	26	14	1	36.0	38760N	31490E	4.1	--
1978	4	27	5	14	11.5	38720N	31740E	4.1	10
1978	6	17	20	40	38.1	37493N	28748E	4.8	11
1978	7	29	4	34	41.9	37580N	30009E	4.6	16
1978	8	20	16	11	23.0	36600N	29060E	4.3	10
1978	8	30	23	52	8.5	37130N	30610E	4.1	10
1978	9	18	17	34	54.5	36600N	29060E	4.2	10
1978	10	3	9	55	6.7	37670N	29390E	4.1	--
1978	12	22	3	53	18.4	36300N	28030E	4.3	10
1979	1	19	4	3	38.5	36043N	31088E	4.2	45
1979	1	28	3	17	58.3	36833N	28354E	4.1	103
1979	4	4	21	17	3.4	36017N	30689E	4.3	62
1979	4	21	9	40	21.2	36000N	29110E	4.0	10
1979	5	28	9	27	32.4	36400N	31751E	5.9	98
1979	6	22	10	34	53.1	36734N	28727E	4.1	10
1979	6	25	19	45	37.2	36140N	29070E	4.4	--
1979	8	22	11	47	29.6	38097N	28945E	4.0	10
1979	8	23	17	35	10.5	38050N	28900E	4.2	10
1979	9	8	15	9	38.6	36840N	29880E	4.2	54
1979	9	14	15	39	21.0	37010N	30030E	4.2	10
1979	9	14	17	26	46.7	37002N	30201E	4.6	10
1979	11	17	1	53	50.9	36800N	28980E	4.1	--

YIL	AY	GU	SA	DA	SEC	ENLEM	BOYLM	MAG	h
1979	12	31	6	21	34.3	36184N	31510E	5.3	79
1979	12	31	8	25	4.3	36100N	31450E	4.1	82
1980	1	22	9	47	4.3	36430N	31350E	4.0	--
1980	3	29	3	58	6.5	36038N	28287E	4.7	77
1980	4	29	21	19	9.4	37039N	28516E	4.5	33
1980	7	11	12	24	29.6	38830N	28950E	4.1	--
1980	8	12	6	25	4.1	36610N	28230E	4.1	--
1980	10	2	23	8	11.4	38099N	30892E	4.4	10
1980	10	4	15	12	3.8	36937N	28847E	4.9	10
1980	11	11	1	22	29.8	36750N	28530E	4.1	--
1980	11	11	1	45	55.7	36670N	28540E	4.1	--
1980	11	30	1	8	37.1	36063N	31365E	4.7	73
1981	1	29	7	24	16.7	36110N	30770E	4.9	67
1981	1	29	23	0	18.1	36150N	30480E	4.3	93
1981	4	26	14	13	32.7	36570N	30590E	5.4	93
1981	4	27	10	23	57.0	36190N	28920E	4.1	67
1981	5	3	19	54	43.9	36330N	30770E	4.3	28
1981	5	11	19	15	27.2	36860N	28170E	4.9	21
1981	8	10	5	21	27.5	36120N	30080E	4.0	60
1981	8	15	5	46	32.2	37240N	29610E	4.4	10
1981	10	11	10	29	23.0	36250N	30520E	5.0	67
1981	11	11	10	29	25.6	36320N	30330E	4.3	82
1982	3	14	15	9	12.2	38710N	31090E	4.4	10
1982	5	25	14	55	31.2	36960N	28100E	4.0	10
1982	6	7	0	31	29.1	36960N	28030E	4.6	22
1982	6	28	9	29	52.3	37060N	28140E	4.4	10
1982	6	29	6	57	42.6	36930N	28020E	4.4	10
1983	6	24	14	47	51.0	37360N	29630E	4.8	10
1983	10	11	12	8	19.9	38860N	29280E	4.7	10
1984	1	23	14	42	34.1	36710N	31000E	4.4	73
1984	1	31	15	51	35.7	37140N	28030E	4.0	10
1984	2	5	0	20	19.3	37230N	28750E	5.0	10
1984	2	5	21	7	47.5	37280N	28540E	4.1	10
1984	2	6	4	3	27.2	37150N	28090E	4.5	10
1984	2	11	8	12	32.0	36880N	30380E	4.5	10
1984	3	25	15	52	38.2	37920N	28740E	4.1	10
1984	4	20	14	21	10.4	36010N	28180E	4.1	10
1984	4	26	0	28	49.6	37190N	28350E	4.7	87
1984	5	4	1	35	3.6	37930N	29880E	4.2	10
1984	5	7	6	15	39.5	36620N	31450E	4.1	10
1984	8	22	12	49	35.9	38450N	30520E	4.6	100
1984	9	8	20	22	29.9	38170N	30880E	4.0	10
1984	11	14	10	1	35.4	36090N	31120E	4.4	10
1985	1	31	1	25	50.1	37460N	30860E	4.6	67
1985	3	3	7	29	25.9	38730N	31080E	4.6	21
1985	3	14	15	6	25.6	36920N	31660E	4.1	10

## DEĞİNİLEN KAYNAKLAR

- Abdüsseleamoğlu, Ş., 1977, Gediz ve yakın çevresinin jeoloji - si ve yapısal özellikleri: Hacettepe Univ. Yerbi - limleri, 1, 1 - 6
- Allen, C, R.; Nordquist, J, M., Richter, C. F ve Amand, P. St, 1965, Relationship Between Seismicity and Geo - logic Structure in the Southern California Re - gion: Bulletin of Seismological Society of A - merica. Vol.55
- Alptekin, Ö, 1973, Focal mechanisms of earthquakes in Western Turkey and their tectonic implications: phD the - sis, Socorro, New Mexico Institute of Mining and Tecnology, 189 p, yayımlanmamış.
- Alptekin, Ö, 1978, Türkiye ve Çevresindeki Depremlerde Manyi - tud Frekans Bağıntıları ve Deformasyon Boşalımı (Doçentlik Tezi). K.T.U - TRABZON
- Bune, V, I, 1961, Some results of a detailed study of seismic Conditions in the Stalinabad region in 1955- 1959 Bull(Izv) Acad, Sci. U.S.S.R., Geophys. Ser., 3: 237 - 242(English translation).
- Dumont, J, F.; Uysal, Ş., Şimşek, Ş., Karamenderesi, İ. H, ve Letouzey, J., 1980, Güneybatı Anadolu'daki gre - benlerin oluşumu: Maden Tetkik ve Arama Enst. Derg., 92, 7 - 17.
- Erentöz, C, Pamir, H, N, 1963, Türkiye Jeoloji Haritası Konya Paftası. M.T.A - ANKARA
- Erentöz, C; Pamir, H, N; Dubertret, L, 1973, Türkiye Jeoloji Haritası İzmir Paftası. M.T.A - ANKARA

- Erentöz, C; Pamir, H, N, 1974, Türkiye Jeoloji Haritası Denizli Paftası. M.T.A - ANKARA
- Erentöz, C; Pamir, H, N, 1975, Türkiye Jeoloji Haritası Ankara Paftası. M.T.A - ANKARA
- Erguvanlı, A; Özaydin, K, 1978, Deprem Risk Analizindeki Belirsizlikler Hakkında. Deprem Araştırma Enstitüsü Bülteni Sayı: 22.
- Ergünay, O; O, Yurdatapan, 1973, Sismisite Çalışmaları ve Kibrıs'ın Sismisitesi Hakkında bir inceleme. Türkiye Jeofizikçiler Birliği yayınları. Sayı: 2. ANKARA
- Estava, L, 1970, Seismic Risk and Seismic Design Decisions in Seismic Design for Nuclear Power Plants: The M.I.T. Press, Cambridge, Mass.
- Evernden, J, F, 1970, Study of regional seismicity and Associated Problems. Bull. Seismol. Soc. Am., 60: 393 - 446.
- Gumbel, E, J., 1958, Statistics of Extremes. Colombia Univ. press, New York.
- Gutenberg, B, and Richter, C, F, 1954, Seismicity of the Earth. Princeton Univ. Press, Princeton, N, J, 2nd ed., 273 pp.
- Gutenberg, B, and Richter, C, F, 1956, Magnitude and Energy of Earthquakes. Ann. Geofis(Rome), 9: 1 - 15.
- Harsh, K, Gupta, 1976, Dams and Earthquakes. Elsevier Scientific Publishing Com. Amsterdam - Oxford - New York.
- Ishimoto, M, and Iida, K, 1939, Observations sur les Séismes enregistres par le microsismographe construit dernièrement. Bull. Earthquake Res, Inst, 17: 443 - 478.
- Isacks, B, and Oliver, J, 1964, Seismic Waves with Frequencies from 1 to 100 cycles per second recorded in a deep mine in northern New Jersey, Bull. Seismol. Soc. Am, 54: 1941 - 1979.

- Kaptan, C; E, Ada; S, Karabiber, 1984, Çataltepe Baraj Yeri Deprem Risk Analizi. T.C Enerji ve Tabii Kaynaklar Bakanlığı - Devlet Su İşleri Genel Müd. Jeoteknik Hizmetler ve Yeraltı Suları Dairesi Başkanlığı - ANKARA.
- Karnik, V, 1969, Seismicity of the European Area. Part. 1 D, Reidel Publ. Co, Dordrecht - Holland.
- Ketin, I, 1960, Türkiye Tektonik Haritası Hakkında Açıklama. M.T.A Dergisi - ANKARA.
- Ketin, I; Canitez, M, 1979, Yapısal Jeoloji. ITU Kütüphanesi. Sayı : 1143 - İSTANBUL.
- Ketin, I, 1983, Türkiye Jeolojisine Genel Bir Bakış. İTÜ Küütüphanesi. Sayı : 1259 - İSTANBUL.
- Knopoff, L, 1969, The statistics of earthquakes in Southern California. Bull. Seism. Soc. Am. 54 : 1871 - 1873.
- Koçyiğit, A, 1980, Hoyran Gölü Yöresinin Stratigrafik ve Tektonik Özellikleri. Doç. Tezi, Ankara Univ. Fen Fak. Sayı : 1725.
- Koçyiğit, A, 1984, Güneybatı Türkiye ve Yakın Dolayında Levha İçi Yeni Tektonik Gelişim. TJKB, c : 27, sayı : 1
- Lahn, E, 1948, Denizli - Sarayköy - Buldan Bölgesinin Deprem Faaliyeti Hakkında. TJKB, 1, 2, 39 - 45.
- Lahn, E; Pınar, N, 1952, Türkiye Depremleri İzahlı Kataloğu. T.C İmar ve İskan Bakanlığı - Yapı İşleri Genel Müd. yayını. Seri : 6, sayı : 36.
- Mc Kenzie, D, P, 1977, Can Plate tectonics describe continental deformation; Biju - Duval, B and Montadert L, Structural History of the Mediterranean basin de : Editions Techniq, Paris, 189 -196.
- Miyamura, S, 1962, Magnitude - Frequency relation of eartqua - kes and its bearing on geotectonics. Proc. Japan Acad, 38 : 27 - 30.

- Mogi, K, 1962, Study of elastic shocks caused by the heterogeneous materials and its relations to earthquake phenomena. Bull. Earthq. Res. Inst., 40 : 125 -174.
- Mogi, K, 1967, Regional variations in magnitude - Frequency relation of earthquakes. Bull. Earthq. Res. Inst., 45 : 313 - 325.
- Monod, O, 1978, Güzelsu - Akseki Bölgesindeki Antalya Napları Üzerine açıklama. TJKB, c : 21.
- Numanoğlu, A, B, 1978, Batı Anadolu'nun Deprem Riski Analizi. Deprem Araştırma Enstitüsü Bülteni. Sayı : 21.
- Papazachos, B; Delibasis, N; Liapis, N; Moumoulidis, G, and Purcasu, G, 1967, Aftershock sequences of some large earthquakes in the region Greece. Ann. Geofis.(Rome), 20 : 1 - 93.
- Pınar, N, Lahn, E, 1952, Türkiye Depremleri İzahlı Kataloğu. T.C Bayındırlık Bakanlığı - Yapı ve İmar İşleri Reisi. Yayın no : 6. ANKARA.
- Purcaru, G, 1975, A new quantitative measure of **seismicity** and some related Problems, Veröff. Zentralinst. Physikd. Erde Nr. 31. Teil 1, 185 - 204.
- Reid, H, F, 1911, The elastic rebound theory of earthquakes. Univ. of California, Departmen of Geology. Bull, 6,
- Richter, C, F, 1958, Elementary Seismology. W, H, Freeman nd Co., San Francisco.
- Rosenblueth, E, 1973, Analysis of Risk. 5th World Congerence on Earthquake Engineering, invited paper, Rome -Italy.
- Scholz, C, H, 1968, The frequency - magnitude relation of microfracturing in rock and its relation to earthquakes, Bull. Seism. Soc. Am. 58, 399 - 415.

- Tezcan, S; Acar, Y; Çivi, A, 1979, İstanbul İçin Deprem Riski Analizi. Deprem Araştırma Enstitüsü Bült. Sayı : 26.
- Utsu, T, 1965, A method for determining the value of b in the formula  $\log N = a - bM$ , Showing the magnitude - frequency relation for earthquakes. Geophys. Bull. Hokkaido Univ, 13 : 99 - 103.
- Yücemen, M, S, 1982, Sismik Risk Analizi. ODTÜ İdari İlimler Fakültesi. Yayın no : 41.